

Kode/Nama Rumpun Ilmu :774/Pendidikan  
Kimia

## LAPORAN AKHIR

### PENELITIAN DESENTRALISASI PENELITIAN DASAR UNGGULAN PERGURUAN TINGGI



#### MODIFIKASI DAN KARAKTERISASI KATALIS TITANIA YANG DIDUKUNG KARBON MESOPORI DARI TULANG IKAN UNTUK OKSIDASI STIRENA DENGAN HIDROGEN PEROKSIDA SEBAGAI OKSIDAN

#### TIM PENGUSUL

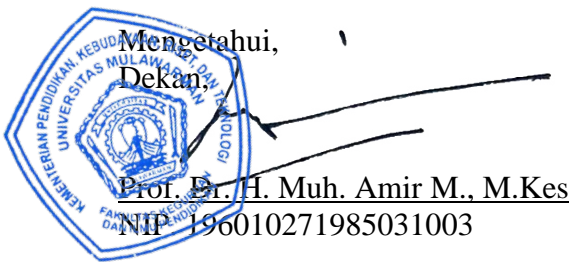
Ketua : Dr. Mukhamad Nurhadi, M.Si  
Anggota : 1. Dr. Teguh Wirawan, M.Si  
              2. Ratna Kusumawardani, S. Si, M. Pd

**UNIVERSITAS MULAWARMAN**  
**November 2021**

### HALAMAN PENGESAHAN

<b>Judul Penelitian</b>	: MODIFIKASI DAN KARAKTERISASI KATALIS TITANIA YANG DIDUKUNG KARBON MESOPORI DARI TULANG IKAN UNTUK OKSIDASI STIRENA DENGAN HIDROGEN PEROKSIDA SEBAGAI OKSIDAN
<b>Kode/Nama Rumpun Ilmu</b>	: 774 / Pendidikan Kimia
<b>Ketua Peneliti</b> a. Nama Lengkap b. NIDN c. Jabatan Fungsional d. Program Studi e. No. Hp f. Alamat surel (e-mail)	: Prof. Dr. Mukhamad Nurhadi, M.Si : 0015046903 : Guru Besar : Pendidikan Kimia : 081520935028 : <a href="mailto:nurhadi1969@yahoo.co.id">nurhadi1969@yahoo.co.id</a>
<b>Anggota Peneliti (1)</b> a. Nama Lengkap b. NIDN c. Perguruan tinggi	: Dr. Teguh Wirawan, M.Si : 0020026903 : Universitas Mulawarman
<b>Anggota Peneliti (2)</b> a. Nama Lengkap b. NIDN c. Perguruan tinggi	: Ratna Kusumawardani, S.Si, M.Pd : 0022028306 : Universitas Mulawarman
<b>Lama Penelitian</b> <b>Penelitian tahun ke</b> <b>Biaya Tahun Berjalan ke 1</b>	: 2 Tahun : 1 : Rp. 170.810.000,-

Samarinda, November 2021



Ketua Peneliti,  
Prof. Dr. Mukhamad Nurhadi, M.Si  
NIP. 196904151994121002



**DAFTAR ISI**

<b>Halaman Judul .....</b>	i
<b>Halaman Pengesahan .....</b>	ii
<b>DAFTAR ISI .....</b>	iii
<b>ABSTRAK .....</b>	iv
<b>BAB 1. LATAR BELAKANG .....</b>	<b>1</b>
1.1 Latar Belakang Masalah .....	1
1.2 Rumusan Masalah .....	2
1.3 Tujuan Penelitian .....	2
1.4 Urgensi Penelitian .....	2
<b>BAB 2. TINJAUAN PUSTAKA .....</b>	<b>3</b>
2.1 Amplang .....	3
2.2 Limbah Tulang Ikan .....	4
2.3 Katalis.....	4
2.4 Pengoksidaan Stirena .....	5
<b>BAB 3. METODE PENELITIAN .....</b>	<b>7</b>
3.1 Rancangan Penelitian .....	7
3.2 Rancangan Tahun Pertama .....	7
3.3 Rancangan Tahun Kedua .....	10
<b>BAB 4. KINERJA KATALITIK TiO<sub>2</sub> – KARBON MESOPORI BERASAL DARI TULANG IKAN UNTUK OKSIDASI STIRENA DENGAN HIDROGEN PEROKSIDA SEBAGAI OKSIDATOR.....</b>	<b>14</b>
<b>BAB 5. STUDI KINETIK OKSIDASI STIRENA YANG DIKATALISIS OLEH TITANIA-KARBON TERSULFONASI TURUNAN TULANG IKAN.....</b>	<b>30</b>
<b>PUSTAKA .....</b>	<b>47</b>

## ABSTRAK

Kalimantan Timur adalah salah satu provinsi di Indonesia yang memiliki garis pantai terpanjang serta memiliki potensi hasil tangkapan ikan yang terbesar. Industri olahan ikan banyak terdapat di propinsi ini khususnya di Samarinda dan Bontang. Dampak adanya industri olahan ikan adalah munculnya limbah tulang ikan yang jumlahnya sangat besar. Limbah tulang ikan belum termanfaatkan secara optimal. Penelitian ini bertujuan untuk merekayasa limbah tulang ikan sebagai sumber karbon mesopori untuk pendukung katalis titania dalam reaksi oksidasi stirena dengan hidrogen peroksida sebagai oksidan. Rekayasa tulang ikan menjadi karbon mesopori untuk mendukung katalis titania meliputi proses karbonasi, sulfonasi, dan impregnasi. Karakterisasi katalis dilakukan menggunakan FTIR, XRD, SEM-EDX, dan BET. Pengujian aktivitas dan selektifitas produk dari semua katalis dilakukan menggunakan reaksi pengoksidan stirena dengan hydrogen peroksida sebagai oksidan. Aktivitas katalis dilihat dari besarnya konversi stirena dan selektifitas produk. Ditahun pertama difokuskan untuk membandingkan katalis  $\text{TiO}_2/\text{CFB}$ ,  $\text{Fe}_2\text{O}_3/\text{CFB}$  dan  $\text{CuO}/\text{CFB}$ . Ditahun kedua membandingkan katalis titania dari segi pengaruh sulfonasi, variasi suhu karbonasi dan variasi jumlah titanium yang diimpregkan. Luaran wajib dari penelitian ini adalah mempublikasi artikel di jurnal Scopus Q3 dengan capaian TKT 3.

**Kata Kunci:** Titania; Tulang Ikan; Karbon; Mesopori; Stirena.

## **BAB I**

### **LATAR BELAKANG**

Reaksi oksidasi senyawa stirena berkatalisikan titania ( $TiO_2$ ) yang didukung berbagai bahan pendukung untuk mendapatkan hasil senyawa epoksida telah menjadi fokus penelitian ditingkat penelitian dasar maupun diproses industri modern. Senyawa epoksida adalah salah satu hasil dari reaksi oksidasi stirena yang sangat berperan dalam membangun senyawa organik baru melalui sintesis senyawa organik. Beberapa produk komersial yang dapat dibuat dari senyawa epoksida sebagai bahan antaranya adalah parfum, obat-obatan, resin, pemanis, pestisida dan cat [1-4].

Beberapa penelitian tentang oksidasi stirena dengan hidrogen peroksida sebagai oksidan menggunakan katalis titania yang didukung berbagai bahan pendukung telah dilakukan. Beberapa katalis titania yang telah digunakan dalam penelitian oksidasi stirena diantaranya TS-1[5-6], Ti-beta [7], Ti-MCM-41[8-9], Ti-LHMS-3 [10], V-Ti-MCM-41 dan Nb-Ti-MCM-41 [11] dan Ti-TUD-1 [12]. Katalis katalis diatas mempunyai aktivitas dan selektifitas produk yang baik dalam oksidasi stirena, namun harga katalis-katalis ini sangat mahal.

Karbon adalah material yang umum digunakan sebagai bahan pendukung katalis karena memiliki sifat yang khas diantaranya murah, inert dan stabil. penelitian ini mengusulkan bahan pendukung baru untuk katalis titania yaitu karbon mesopori dari tulang ikan. Penggunaan karbon mesopori dari tulang ikan sebagai bahan pendukung katalis dapat meningkatkan situs aktif, mengontrol struktur pori, meningkatkan kekuatan mekanik katalis, dan mencegah sintering. Karbon mesopori dari tulang ikan dapat direkayasa dari limbah tulang ikan yang berharga murah dan memiliki kelimpahan yang banyak di Kalimantan Timur khususnya di Samarinda dan Bontang sebagai daerah sentra industri makanan ringan dari olahan ikan.

#### 1.1 Tujuan dan Sasaran

Terdapat empat tujuan penelitian, yaitu:

- Merekayasa limbah tulang ikan menjadi karbon mesopori yang dapat mendukung katalis titania ( $TiO_2$ )

- Membuat katalis titania ( $TiO_2$ ) yang didukung karbon mesopori tulang ikan melalui proses impregnasi.
- Mengkarakterisasi katalis menggunakan FTIR, XRD, SEM-EDX, dan Adsorpsi-desorpsi gas nitrogen.
- Memanfaatkan katalis titania ( $TiO_2$ ) yang didukung karbon mesopori dari tulang ikan dalam reaksi oksidasi stirena dengan hidrogen peroksida sebagai oksidan.

## 1.2 Kebaharuan dan Terobosan Teknologi

Material yang memiliki pori-pori dengan ukuran mesopori sangat penting diperlukan dalam katalis heterogen. Kebaharuan yang diusulkan dalam penelitian ini adalah bagaimana merekayasa limbah tulang ikan menjadi karbon mesopori yang dapat mendukung katalis titania ( $TiO_2$ ) dalam reaksi oksidasi stirena dengan hidrogen peroksida sebagai oksidan. Pemakaian karbon mesopori dari tulang ikan sebagai pendukung katalis titania ( $TiO_2$ ) mempunyai tujuan agar konversi dan selektivitas produk tinggi.

Terobosan teknologi yang ditawarkan dalam penelitian ini adalah bagaimana dengan metode sederhana dalam proses karbonisasi serbuk tulang ikan dapat direkayasa menjadi karbon yang pori-porinya berukuran mesopori. Proses karbonisasi serbuk tulang ikan dilakukan pada berbagai temperatur yaitu 500, 600 dan 700 °C. Pembuktian keberhasilan terbentuknya karbon tulang ikan yang pori-porinya berukuran meso dapat dikarakterisasi menggunakan nitrogen adsorpsi-desorpsi.

## 1.3 Uraian tentang spesifikasi khusus terkait dengan skema

Usulan penelitian telah relevan dengan skim Penelitian Dasar Unggulan Perguruan Tinggi (PDUPT), bidang unggulan, tema, dan topik Renstra Penelitian PT. Kelompok makro riset adalah kelompok riset maju berbasis sumberdaya alam. Dengan bidang fokus material maju. Luaran wajib dari penelitian ini adalah artikel terbit di Jurnal Scopus Q3. Tingkat Kesiapterapan Teknologi (TKT) yang ingin dicapai adalah TKT 3.

## **BAB II**

### **TINJAUAN PUSTAKA**

#### 2.1 Telaah Literatur

##### a. Limbah Tulang Ikan

Limbah industri pangan dapat menimbulkan masalah dalam penanganannya karena mengandung sejumlah besar karbohidrat, protein dan lemak, garam garam mineral dan sisa-sisa bahan kimia yang digunakan dalam pengolahan dan pembersihan. Tulang ikan merupakan salah satu limbah dari industri perikanan yang belum dimanfaatkan dengan baik. Salah satu unit usaha produksi perikanan yang menghasilkan limbah tulang ikan adalah unit usaha amplang yang ada di Samarinda. Tulang ikan terdiri dari senyawa organik dan senyawa anorganik (mineral). Menurut Jung *et al.* (2005), tulang ikan hoki (*Johnius belengerii*) mengandung bahan organik sekitar 30,54% (bk) yang terdiri dari protein 28,04%, lipid 1,94% dan karbohidrat 0,56%, sedangkan bahan mineral anorganiknya sekitar 69,46% (bk) terutama terdiri dari 59,69% kalsium (Ca) dan 35,81% fosfor (P).

Dari aspek pangan dan gizi, tulang ikan sangat kaya akan kalsium yang dibutuhkan manusia. Kalsium diketahui menjadi elemen penting yang diperlukan untuk berbagai fungsi di dalam tubuh kita termasuk penguatan gigi dan tulang, fungsi saraf dan banyak reaksi enzimatik yang membutuhkan kalsium sebagai kofaktor (Widya Karya Pangan dan Gizi LIPI 1998). Selain itu pada bidang pangan dan industri pertanian, kalsium digunakan sebagai bahan makanan antiseptik untuk mencegah pembusukan buah-buahan dan sayuran dan membantu proses pembuatan keju.

##### b. Katalis

Konsep asal mengenai katalis telah diungkapkan oleh Berzelius pada 1836. Katalis didefinisikan sebagai bahan yang mempercepat suatu reaksi tetapi bahan katalis tidak mengalami perubahan diakhir reaksi kimia. Perkataan "katalisator" digunakan untuk menggambarkan peningkatan hasil reaksi yang disebabkan oleh penyertaan bahan yang disebut sebagai katalis [13-15].

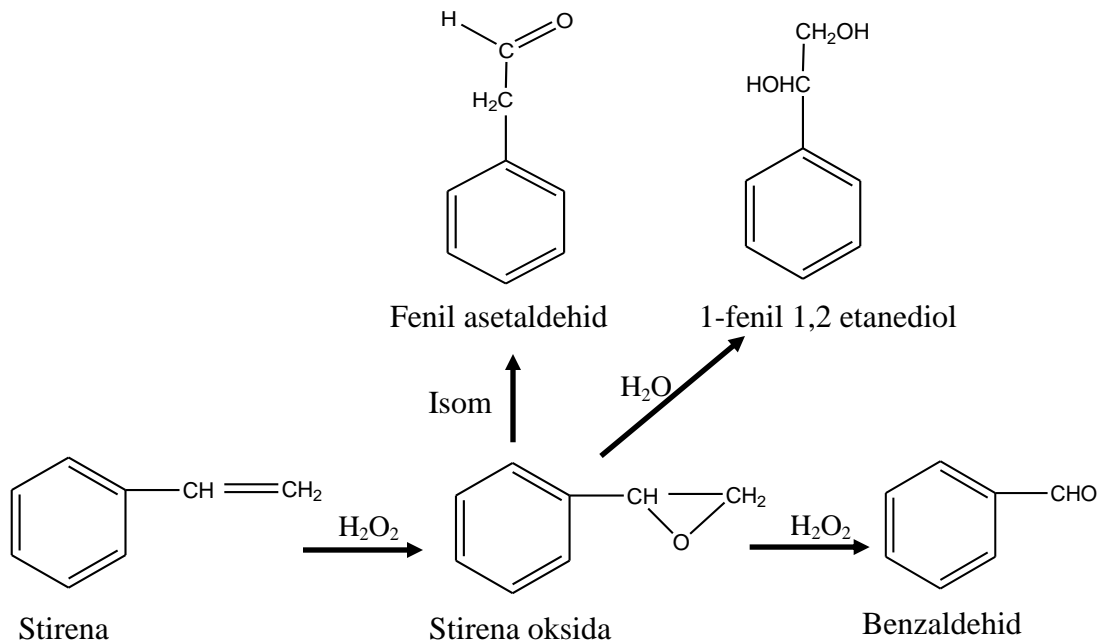
Definisi yang lain mengenai katalis adalah bahan yang mengubah rute reaksi kimia yang terjadi dengan energi yang lebih rendah daripada energi pengaktifan dari

reaksi kimia tanpa menggunakan katalis. Katalis adalah merupakan bahan yang menukar bahan yang direaksikan menjadi hasil reaksi atau produk, melalui rute reaksi dengan energi peaktifan serendah mungkin. Hanya sejumlah kecil katalis diperlukan dalam reaksi kimia tetapi dapat memberi hasil reaksi yang besar. Katalis dapat mengubah kinetik dari reaksi kimia, tetapi tidak mengubah secara termodinamik [16-18].

c. Oksidasi Stirena

Terdapat beberapa konsep mengenai reaksi oksidasi: konsep pertama disebut konsep oksigen. Perkataan oksidasi dimaksudkan sebagai reaksi kimia dengan oksigen untuk membentuk oksida, sementara gas oksigen sebut sebagai agen reaksi oksidasi atau oksidan yang pertama kali dikenal. Untuk seterusnya oksidan bukan saja gas oksigen tetapi juga molekul lain dapat digunakan sebagai oksidan seperti  $\text{H}_2\text{O}_2$ ,  $\text{NaClO}_4$ ,  $\text{H}_2\text{SO}_4$ ,  $\text{KMnO}_4$ , dan lain-lain. Konsep kedua dikenal sebagai konsep hidrogen, reaksi oksidasi sering dikaitkan dengan penghilangan atom hidrogen dari molekul atau ion molekul. Perkataan oksidasi dianalogikan dengan penerimaan proton atau pelepasan proton. Konsep ketiga juga sering disebut sebagai konsep elektron atau bilangan oksidasi, reaksi oksidasi adalah kehilangan elektron (*deelectronation*) atau peningkatan bilangan oksidasi dari molekul, atom atau ion, contoh:  $\text{Fe} \rightarrow \text{Fe}^{2+} + 2e^-$ . Reaksi oksidasi reduksi terjadi dalam waktu yang sama dalam satu set yang berpadanan, reaksi oksidasi tidak dapat terjadi tanpa reaksi reduksi. Reaksi reduksi adalah kebalikan dari reaksi oksidasi.

Reaksi oksidasi stirena berkatalis mempunyai manfaat tinggi untuk bidang akademik dan komersial dengan sebuah tujuan untuk mensintesis oksida stirena, yang merupakan senyawa antara yang penting untuk pelbagai besar bahan kimia dan farmasi seperti minyak wangi dan obat-obatan. Dalam proses konvensional, oksidasi stirena telah dilakukan dengan menggunakan senyawa asam sebagai agen oksigen. Walau bagaimanapun, senyawa asam dan katalis homogen yang lain dalam reaksi oksidasi tidak disarankan karena aktivitas katalis rendah, selektifitas produk rendah, mahal, dan berbahaya kepada lingkungan. Oleh karena itu, katalis alternatif yang digunakan untuk reaksi oksidasi adalah katalis heterogen karena lebih mudah dalam pemisahan antara produk dan katalis, dapat digunakan kembali dan lebih ekonomi.

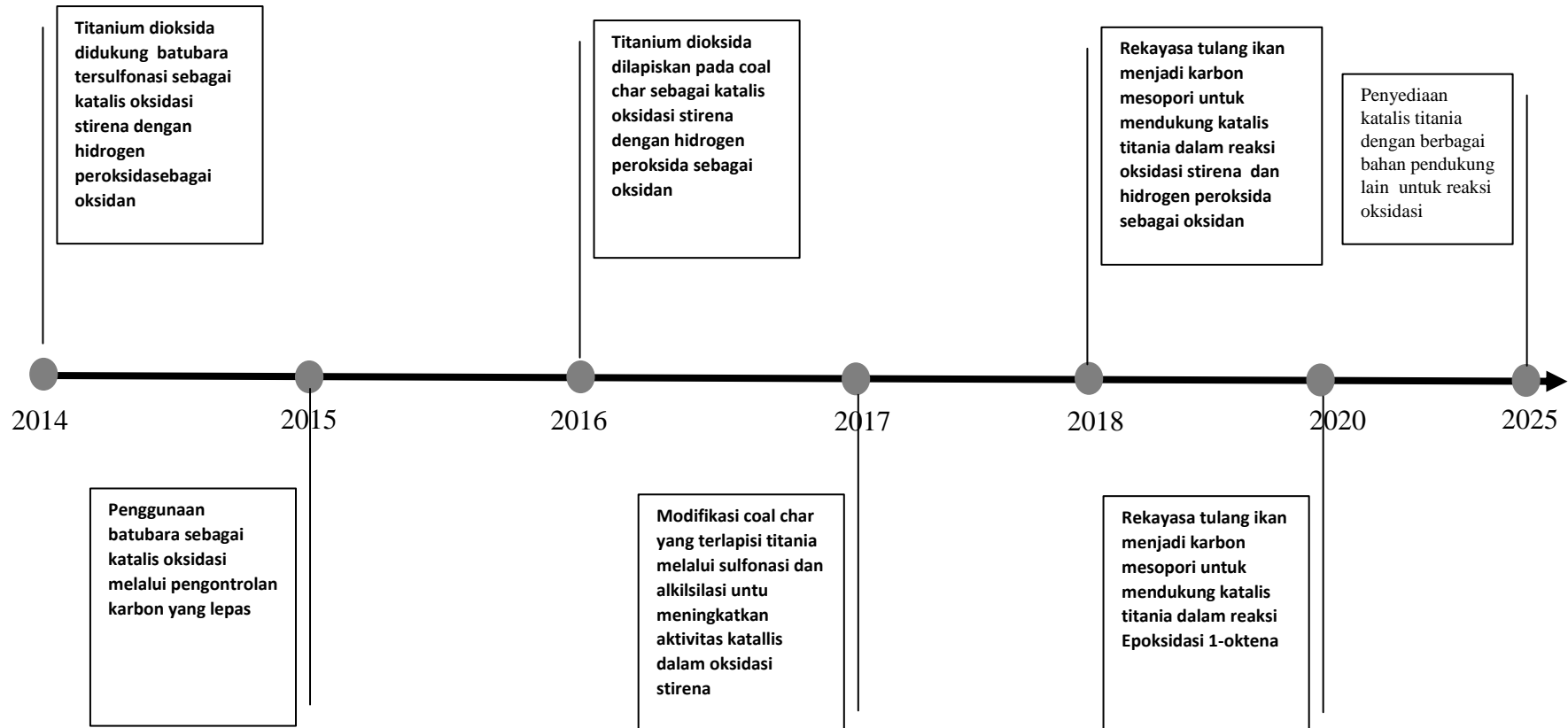


**Gambar 2.1** Mekanisme reaksi oksidasi stirena dengan  $H_2O_2$ , menggunakan asetonitril [5].

Oksidasi stirena dengan hidrogen peroksida sebagai oksidan akan menghasilkan stirena oksida sebagai produk utama yang dihasilkan dari oksidasi ikatan rangkap rantai samping stirena. Produk lain fenil asetaldehid, dibentuk dengan penataan ulang oksida stirena, 1-fenil, 1,2-atanediol (diol) terbentuk dari stirena oksida ditambah dengan air, dan benzaldehid dibentuk melewati pembelahan C-C [19-21]. Mekanisme reaksi oksidasi stirena selengkapnya digambarkan pada Gambar 2.1.

## 2.2 Road Map Penelitian

Road map penelitian yang telah dan akan peneliti lakukan tergambar dalam Gambar 2.2.



**Gambar 2.2** Road map Penelitian

## **BAB III**

### **METODE PENELITIAN**

#### **3.1 Peta Rencana Penelitian**

Penelitian ini direncanakan akan dilaksanakan selama 2 tahun di laboratorium Kimia Fakultas Keguruan dan Ilmu Pendidikan (FKIP) dan MIPA, Universitas Mulawarman. Secara lengkap peta rencana penelitian dapat dilihat pada Gambar 2.3.

##### **3.3.1 Rancangan Tahun Pertama**

Secara garis besar rancangan penelitian tahun pertama meliputi beberapa step: Penyiapan bahan mentah dan pembuatan serbuk tulang ikan, Sulfonasi, Impregnasi, kalsinasi dan Karakterisasi. Luaran penelitian tahun pertama adalah mengikuti conference dan menerbitkan artikel ilmiah.

###### **3.3.1.1 Penyiapan bahan mentah dan pembuatan serbuk tulang ikan**

Tulang ikan dikumpulkan dari salah satu perusahaan olahan ikan (amplang) terbesar di Samarinda yaitu UD Harmas, Jl. Imam Bonjol Samarinda dan perusahaan olahan ikan (Mpek-mpek) di Bontang. Limbah tulang ikan direndam dengan air panas untuk memisahkan daging yang masih menempel dengan tulangnya. Tulang ikan yang sudah bersih dikeringkan dibawah sinar matahari atau dioven pada suhu 110 °C selama 8 jam. Tulang ikan kering ditumbuk dan serbuknya diayak.

###### **3.3.1.2 Karbonisasi**

Serbuk tulang ikan yang sudah dikarbonisasi dengan variasi suhu 500 °C dalam durasi 2 jam. Karbonisasi dilakukan menggunakan muffle furnace merk VULCAN<sub>TM</sub> 3–550.

###### **3.3.1.3 Sulfonasi**

Proses sulfonasi pada serbuk tulang ikan dilakukan dengan menambah asam sulfat pekat (6 mL, 98%, JT Baker) bagi setiap gram serbuk tulang ikan. Campuran distirer selama 6 jam. Selanjutnya, campuran dicuci dengan akuades untuk mengeluarkan sisa asam yang tidak terikat atau terikat lemah. Kemudian sampel dikeringkan di oven semalam pada 110 °C [3, 22-23].

###### **3.3.1.4 Impregnasi**

Setiap 1 gram daripada sampel karbon tulang ikan yang sudah disulfonasi diimpregnasi dalam 10 mL akuades yang mengandungi (2.4 wt%) dari titanium(IV) isopropoksida atau besi (III) nitrat atau tembaga nitrat dan distirer sehingga keseluruhan akuades teruapkan dan selanjutnya dikeringkan pada 110 °C di oven selama semalam.

### 3.3.1.5 Karakterisasi

Sampel katalis yang sudah selesai direkayasa, selanjutnya dikarakterisasi menggunakan spektroskopi inframerah transformasi Fourier (FTIR), difraktometer sinar-X (XRD), mikroskopi pengimbas electron (SEM-EDX), dan Isoterma adsorpsi desorpsi nitrogen diukur pada 77 K menggunakan alat Micromaritics ASAP 2020 V4.00.

Spektroskopi inframerah transformasi Fourier (FTIR) adalah cara mudah untuk mengenal pasti kehadiran gugus fungsi tertentu dalam molekul. Dalam penelitian ini, FTIR menggunakan teknik KBr dengan resolusi spektrum  $2\text{ cm}^{-1}$ , pengimbasan 10 s, pada 20 °C.

Kristalinitas daripada sampel katalis dianalisis menggunakan Bruker AXS Advance D8 sinar-X difractometer (XRD) dengan sinaran Cu K $\alpha$  ( $\lambda = 1,5406\text{ \AA}$ ) sebagai sinar monokromatik yang dibelaukan pada 40 kV dan 40 mA. Corak XRD ini dipindai dalam kisaran  $2\theta$ , dari  $2^\circ$  sampai  $60^\circ$  pada kenaikan secara berangsur-angsur  $0.05^\circ$  dan tempoh masa 1 detik.

Pengukuran menggunakan mikroskop pemindai elektron (SEM) dilakukan untuk menentukan ukuran, bentuk dan morfologi daripada sampel. Morfologi permukaan daripada sampel dicerap dibawah vakum rendah mikroskop pemindaian elektron (LVSEM). Gambar mikroskopi pemindai elektron diatas zarah sampel diperolehi dengan menggunakan instrumen JEOL JSM-6390LV dengan potensial 15 kV.

Isoterma adsorpsi-desorpsi nitrogen diukur pada 77 K menggunakan alat Micromaritics ASAP 2020 V4.00. Luas permukaan ditentukan daripada data adsorpsi nitrogen, menurut persamaan Brunauer-Emmett-Teller, dengan menggunakan rentang data tekanan relatif ( $p/p_0$ ) dari 0.01 – 0.2. Volume pori total diperoleh daripada jumlah N<sub>2</sub> teradsorpsi pada tekanan relatif 0.976, volume mikropori ditentukan menggunakan kaedah t-Plot. Distribusi ukuran pori (PDS) diukur menggunakan model Barrett-Joyner-Halenda (BJH) yaitu menggunakan BJH desorpsi Dv(d). Sampel dinyahgas pada 150 °C selama 12 jam sebelum analisis.

### 3.3.1.6 Pengoksidaan Stirena

Pengujian katalis dilakukan pada pengoksidaan stirena menggunakan H<sub>2</sub>O<sub>2</sub> akueus (30%, Merck) sebagai pengoksida. Stirena (5 mmol, Aldrich), H<sub>2</sub>O<sub>2</sub> akueus (5 mmol, 30%,

Merck), asetonitril (4.5 mL, Merck) dan katalis (100 mg) dicampur dalam botol sampel dan diaduk pada suhu kamar selama 20 jam. Pengujian ini merujuk penelitian sebelumnya [1, 4, 24]. Semua hasil kemudian dipisahkan dari katalis menggunakan sentrifuge. Konsentrasi hasil ditentukan dengan alat kromatografi gas GC-2014 Shimadzu dengan menggunakan kolom BPX5, (nomor seri: 1286043), suhu maksimum kolom: 360 °C panjang kolom: 30 m, diameter dalaman kolom: 0.25 mm dan ketebalan filem: 0.25 µm. Suhu injeksi dan pengesan masing-masing diprogramkan 250 °C dan 260 °C. Suhu kolom oven diprogramkan sebagai; 80 °C (1 min), 110 °C (0.5 min), 150 °C (0.5 min) dengan laju pemanasan 10 °C/min. Gas pembawa yang dialirkan didalam kolom adalah gas nitrogen dengan laju alir 3 mL menit<sup>-1</sup>. Dua parameter, yaitu konversi stirena (%) dan selektifitas produk (%) dihitung dengan merujuk pada penelitian sebelumnya [25-26].

$$\text{Konversi stirena (\%)} = \frac{(\text{mol awal} - \text{mol akhir})}{(\text{mol awal})} \times 100\%$$

$$\text{Selektifitas produk (\%)} = \frac{(\text{GC luas puncak dari hasil})}{(\text{GC luas puncak seluruh hasil})} \times 100\%$$

### **3.3.2 Penelitian lanjutan**

#### **3.3.2.1 Penyiapan bahan mentah dan pembuatan serbuk tulang ikan**

Bahan dan perlakuannya untuk di tahun kedua sama dengan di tahun pertama.

#### **3.3.2.2 Karbonisasi**

Serbuk tulang ikan yang sudah dikarbonisasi dengan variasi suhu 500, 600 dan 700 °C dalam durasi 2 jam. Karbonisasi dilakukan menggunakan muffle furnace merk VULCAN<sub>TM</sub> 3–550.

#### **3.3.2.3 Sulfonasi**

Proses sulfonasi pada serbuk tulang ikan yang dilakukan pada tahun kedua sama dengan di tahun pertama.

#### **3.3.2.4 Impregnasi**

Setiap 1 gram daripada sampel karbon tulang ikan yang sudah disulfonasi diimpregnasi dalam 10 mL akuades yang mengandungi (500, 1000 dan 1500 µmol) dari titanium(IV) isopropoksida dan distirer sehingga keseluruhan akuades teruapkan dan selanjutnya dikeringkan pada 110 °C di oven selama semalam.

### 3.3.2.5 Karakterisasi

Sampel katalis yang sudah selesai direkayasa, selanjutnya dikarakterisasi menggunakan spektroskopi inframerah transformasi Fourier (FTIR), difraktometer sinar-X (XRD), mikroskopi pengimbas electron (SEM-EDX), dan Isoterma adsorpsi desorpsi nitrogen diukur pada 77 K menggunakan alat Micromaritics ASAP 2020 V4.00. perlakuan karakterisasi sama dengan yang dilakukan ditahun pertama.

### 3.3.2.1 Pengoksidaan Stirena

Pengujian semua katalis yang dibuat di tahun kedua sama dengan yang dilakukan di tahun pertama. Semua katalis diaplikasikan pada pengoksidaan stirena menggunakan H<sub>2</sub>O<sub>2</sub> akueus (30%, Merck) sebagai pengoksida. Stirena (5 mmol, Aldrich), H<sub>2</sub>O<sub>2</sub> akueus (5 mmol, 30%, Merck), asetonitril (4.5 mL, Merck) dan katalis (100 mg) dicampur dalam botol sampel dan diaduk pada suhu kamar selama 20 jam [1].

## 3.3.3 Rancangan Tahun ke dua

Berdasarkan data penelitian yang telah dilakukan ternyata karbon tulang ikan yang dudukung besi dan karbon tulang ikan yang didukung titania memberikan conversi oksidasi stirena yang bagus, maka untuk di tahun ke-2 direncanakan akan memodifikasi karbon tulang ikan yang didukung bimetal (besi dan Titania) dengan roadmap dan prosedur sebagai berikut:

### 3.3.3.1. Karbonisasi

Serbuk tulang ikan yang sudah dikarbonisasi dengan variasi suhu 500 °C dalam durasi 2 jam. Karbonisasi dilakukan menggunakan muffle furnace merk VULCAN<sub>TM</sub> 3–550.

### 3.3.3.2. Sulfonasi

Proses sulfonasi pada serbuk tulang ikan dilakukan dengan menambah asam sulfat pekat (6 mL, 98%, JT Baker) bagi setiap gram serbuk tulang ikan. Campuran distirer selama 6 jam. Selanjutnya, campuran dicuci dengan akuades untuk mengeluarkan sisa asam yang tidak terikat atau terikat lemah. Kemudian sampel dikeringkan di oven semalam pada 110 °C [3, 22-23].

### 3.3.3.3. Impregnasi Bimetal (Fe dan Ti)

Setiap 1 gram daripada sampel karbon tulang ikan yang sudah disulfonasi diimpregnasi dalam 10 mL akuades yang mengandungi besi (500 µmol) dan distirer sehingga keseluruhan akuades teruapkan dan selanjutnya dikeringkan pada 110 °C di oven selama semalam. Selanjutnya diimpregnasi dalam 10 mL aceton yang mengandung Titanium (500 µmol) dan distirer sehingga keseluruhan aceton teruapkan, selanjutnya dicuci dengan ethanol

untuk menghilangkan acetone yang tersisa sebanyak 3 kali pencucian. Katalis dikeringkan dalam oven pada suhu 110 °C selama semalam. Sebagai pembanding dibuat katalis karbon tulang ikan yang hanya diimpreg Ti saja dan Fe saja.

### **3.3.3.4. Karakterisasi**

Sampel katalis yang sudah selesai direkayasa, selanjutnya dikarakterisasi menggunakan spektroskopi inframerah transformasi Fourier (FTIR), difraktometer sinar-X (XRD), mikroskopi pengimbas electron (SEM-EDX), dan Isoterma adsorpsi desorpsi nitrogen diukur pada 77 K menggunakan alat Micromaritics ASAP 2020 V4.00.

Spektroskopi inframerah transformasi Fourier (FTIR) adalah cara mudah untuk mengenal pasti kehadiran gugus fungsi tertentu dalam molekul. Dalam penelitian ini, FTIR menggunakan teknik KBr dengan resolusi spektrum 2 cm<sup>-1</sup>, pengimbasan 10 s, pada 20 °C.

Kristalinitas daripada sampel katalis dianalisis menggunakan Bruker AXS Advance D8 sinar-X difractometer (XRD) dengan sinaran Cu K $\alpha$  ( $\lambda = 1,5406 \text{ \AA}$ ) sebagai sinar monokromatik yang dibelaikan pada 40 kV dan 40 mA. Corak XRD ini dipindai dalam kisaran 2 $\theta$ , dari 2° sampai 60° pada kenaikan secara berangsur-angsur 0.05° dan tempoh masa 1 detik.

Pengukuran menggunakan mikroskop pemindai elektron (SEM) dilakukan untuk menentukan ukuran, bentuk dan morfologi daripada sampel. Morfologi permukaan daripada sampel dicerap dibawah vakum rendah mikroskop pemindaian elektron (LVSEM). Gambar mikroskopi pemindai elektron diatas zarah sampel diperolehi dengan menggunakan instrumen JEOL JSM-6390LV dengan potensial 15 kV.

Isoferma adsorpsi-desorpsi nitrogen diukur pada 77 K menggunakan alat Micromaritics ASAP 2020 V4.00. Luas permukaan ditentukan daripada data adsorpsi nitrogen, menurut persamaan Brunauer-Emmett-Teller, dengan menggunakan rentang data tekanan relatif ( $p/p_0$ ) dari 0.01 – 0.2. Volume pori total diperoleh daripada jumlah N<sub>2</sub> teradsorpsi pada tekanan relatif 0.976, volume mikropori ditentukan menggunakan kaedah t-Plot. Distribusi ukuran pori (PDS) diukur menggunakan model Barrett-Joyner-Halenda (BJH) yaitu menggunakan BJH desorpsi Dv(d). Sampel dinyahgas pada 150 °C selama 12 jam sebelum analisis.

### **3.3.3.5. Pengoksidaan Stirena**

Pengujian katalis dilakukan pada pengoksidaan stirena menggunakan H<sub>2</sub>O<sub>2</sub> akueus (30%, Merck) sebagai pengoksida. Stirena (5 mmol, Aldrich), H<sub>2</sub>O<sub>2</sub> akueus (5 mmol, 30%, Merck), asetonitril (4.5 mL, Merck) dan katalis (100 mg) dicampur dalam botol sampel dan diaduk pada suhu kamar selama 20 jam. Pengujian ini merujuk penelitian sebelumnya [1, 4,

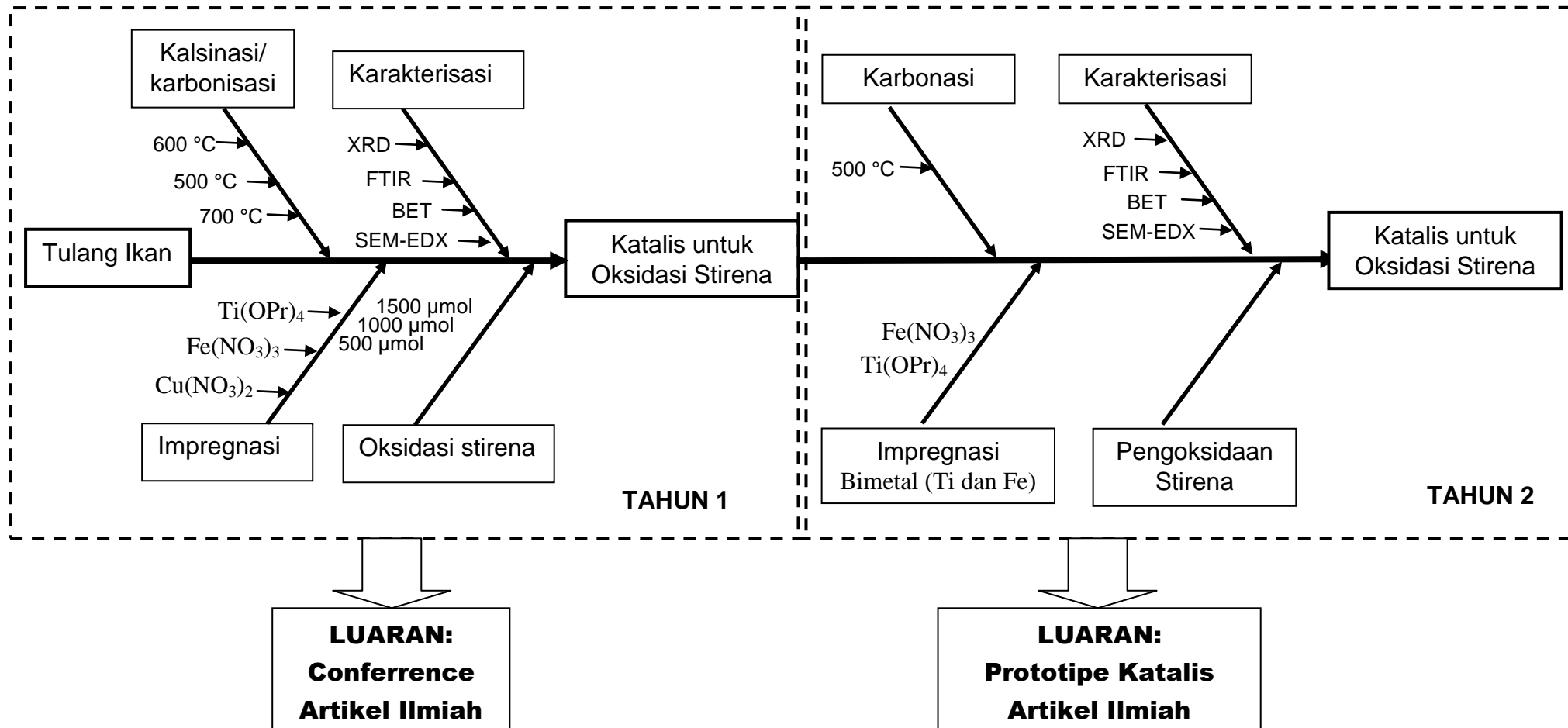
24]. Semua hasil kemudian dipisahkan dari katalis menggunakan sentrifuge. Konsentrasi hasil ditentukan dengan alat kromatografi gas GC-2014 Shimadzu dengan menggunakan kolom BPX5, (nomor seri: 1286043), suhu maksimum kolom: 360 °C panjang kolom: 30 m, diameter dalaman kolom: 0.25 mm dan ketebalan filem: 0.25 µm. Suhu injeksi dan pengesan masing-masing diprogramkan 250 °C dan 260 °C. Suhu kolom oven diprogramkan sebagai; 80 °C (1 min), 110 °C (0.5 min), 150 °C (0.5 min) dengan laju pemanasan 10 °C/min. Gas pembawa yang dialirkan didalam kolom adalah gas nitrogen dengan laju alir 3 mL menit<sup>-1</sup>. Dua parameter, yaitu konversi stirena (%) dan selektifitas produk (%) dihitung dengan merujuk pada penelitian sebelumnya [25-26].

$$\text{Konversi stirena (\%)} = \frac{\text{(mol awal} - \text{mol akhir})}{(\text{mol awal})} \times 100\%$$

$$\text{Selektifitas produk (\%)} = \frac{(\text{GC luas puncak dari hasil})}{(\text{GC luas puncak seluruh hasil})} \times 100\%$$

### **3.3.3.6. Uji kinetika**

Data kinetika reaksi diperoleh dengan melakukan reaksi oksidasi stirena dengan variasi temperatur.



Gambar 2.3 Peta Rencana Penelitian

## BAB IV

### KINERJA KATALITIK TiO<sub>2</sub> – KARBON MESOPORI BERASAL DARI TULANG IKAN UNTUK OKSIDASI STIRENA DENGAN HIDROGEN PEROKSIDA SEBAGAI OKSIDATOR

#### 4.1 Pendahuluan

Oksidasi stirena adalah salah satu reaksi penting dalam oksidasi olefin untuk produksi berbagai bahan kimia halus, seperti benzaldehida, fenil asetaldehida dan stirena epoksida. Benzaldehida yang dihasilkan dalam reaksi ini telah menarik minat karena senyawa ini digunakan untuk produksi parfum, obat-obatan, dan agrokimia [1]. Oksidasi stirena dengan hidrogen peroksida sebagai oksidan sangat dianjurkan karena memiliki keunggulan seperti ramah lingkungan, ekonomi atom tinggi, dan hanya air sebagai produk sampingannya. Banyak katalis heterogen telah dikembangkan untuk meningkatkan produk hasil dalam oksidasi stirena dengan H<sub>2</sub>O<sub>2</sub>. Berbagai upaya telah dilakukan, antara lain bahan mesopori penyangga logam [2-6], bahan karbon penyangga logam [7, 8] dan oksida logam komponen tunggal seperti Fe<sub>2</sub>O<sub>3</sub> [9] dan Fe<sub>3</sub>O<sub>4</sub> [10]. Namun, katalis tersebut pada umumnya melibatkan metode preparasi yang rumit, biaya produksi yang tinggi, dan tidak ramah lingkungan.

Titanium dioksida (TiO<sub>2</sub>) atau titania adalah katalis bahan yang diteliti dengan sangat baik yang menunjukkan efisiensi tinggi dalam reaksi oksidasi karena stabilitas struktur kimia, biokompatibilitas, sifat fisik, optik dan listriknya. Di alam, titania dapat ditemukan dalam empat bentuk mineral polimorf seperti rutil, anatase, dan brookite dan titanium dioksida (B) atau TiO<sub>2</sub>(B) [11, 12]. Anatase dan rutil umumnya digunakan dalam reaksi oksidasi karena ketersediaan komersial, sejumlah besar spesies oksigen reaktif seperti radikal hidroksil (•OH), radikal hidroperoksi (•OOH) dan anion radikal superoksida (•O<sup>2-</sup>) ke permukaan TiO<sub>2</sub> [1]. Namun, titania memiliki produk hasil yang rendah jika digunakan tanpa didukung oleh dukungan katalis [13, 14].

Pendukung atau pembawa adalah zat inert yang disediakan untuk menyebarkan bahan katalis yang mahal untuk penggunaan yang paling efektif. Karbon dapat dianggap sebagai pendukung katalis potensial. Pendukung karbon dapat digunakan untuk reaksi katalis, tetapi penyangga itu

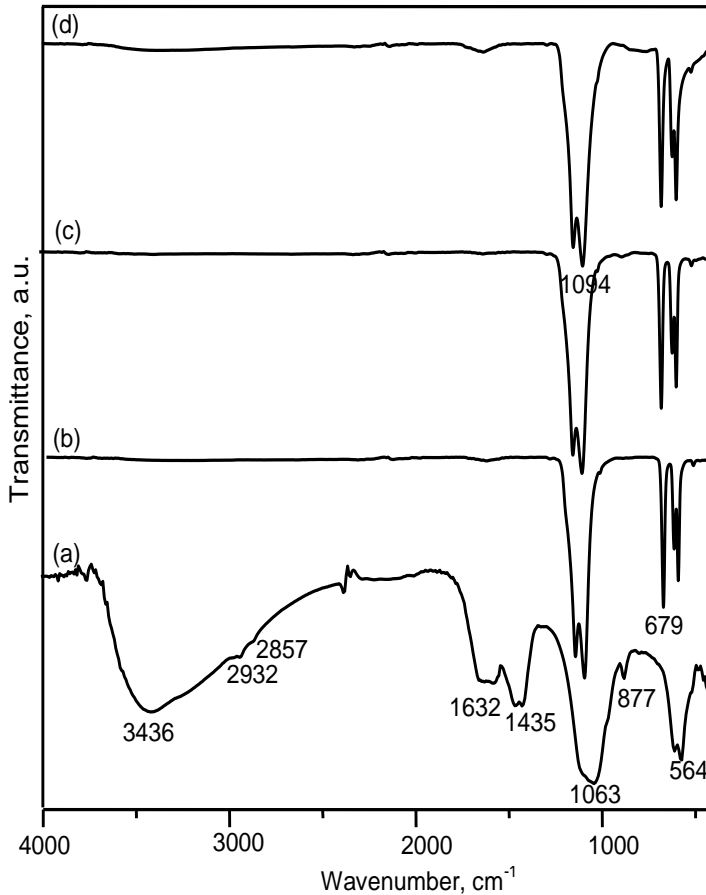
sendiri tidak reaktif [6]. Limbah tulang ikan dapat digunakan sebagai alternatif prekursor tertentu untuk menghasilkan karbon mesopori dengan metode langsung [15].

Di sini, kami telah mengembangkan katalis oksidasi heterogen, kombinasi titania sebagai situs katalitik aktif dan tulang ikan yang diturunkan dari mesopori karbon sebagai pendukung katalis. Sistem katalis ini, titania didukung tulang ikan yang diturunkan dari mesopori karbon, memiliki keunggulan seperti lebih murah, tidak beracun, dan ramah lingkungan. Kinerja katalitik sistem ini dibandingkan dengan logam transisi lain yang didukung tulang ikan yang berasal dari karbon seperti besi ( $\text{Fe}_2\text{O}_3$ ) dan tembaga. Oksidasi stirena dengan  $\text{H}_2\text{O}_2$  berair sebagai oksidan digunakan sebagai model reaksi.

## 4.2. Hasil dan Pembahasan

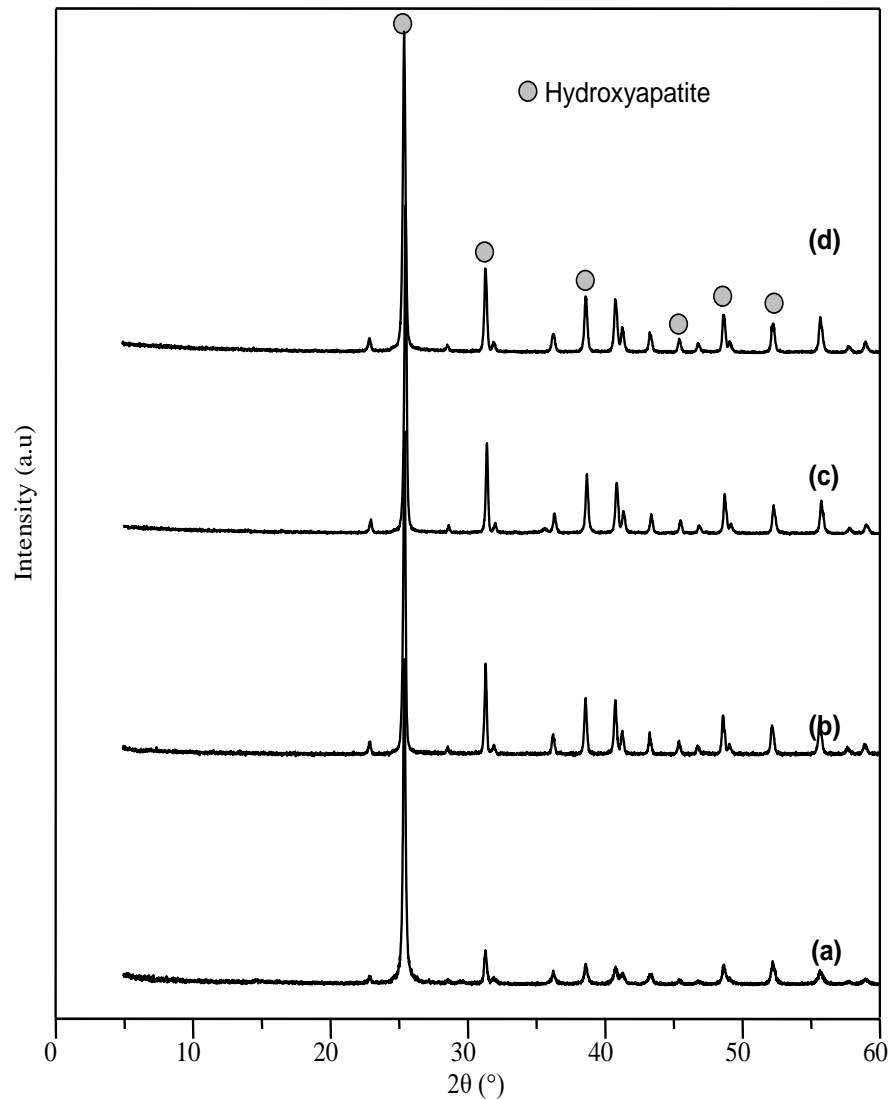
### 4. 2.1 Sifat-sifat fisik

Gambar 1 menunjukkan spektrum FTIR dari (a) CFB, (b)  $\text{Fe}_2\text{O}_3/\text{CFB}$ , (c)  $\text{CuO}/\text{CFB}$  dan (d)  $\text{TiO}_2/\text{CFB}$ . Spektrum IR CFB menunjukkan puncak adsorpsi pada  $3436 \text{ cm}^{-1}$ , dan  $1632 \text{ cm}^{-1}$  menunjukkan peregangan O-H. Vibrasi ulur C–O, yang berkorelasi dengan substitusi ion karbonat ( $\text{CO}_3^{2-}$ ) dalam kisi kristal, diselidiki oleh pita serapan pada  $1435 \text{ cm}^{-1}$  dan  $877 \text{ cm}^{-1}$ . Pita serapan pada  $1063 \text{ cm}^{-1}$  dan  $564 \text{ cm}^{-1}$  ditetapkan pada vibrasi ulur P–O dalam gugus ion fosfat ( $\text{PO}_4^{3-}$ ). Munculnya gugus ion karbonat ( $\text{CO}_3^{2-}$ ) dan ion fosfat ( $\text{PO}_4^{3-}$ ) merupakan bukti adanya hidroksiapatit. Pada katalis  $\text{Fe}_2\text{O}_3/\text{CFB}$ ,  $\text{CuO}/\text{CFB}$ , dan  $\text{TiO}_2/\text{CFB}$ , hidroksiapatit ditetapkan oleh pita serapan  $1094 \text{ cm}^{-1}$  dan  $591 \text{ cm}^{-1}$ , yang mengindikasikan adanya vibrasi ulur P–O pada gugus ion fosfat ( $\text{PO}_4^{3-}$ ). Peregangan O-H diselidiki oleh pita serapan pada  $672 \text{ cm}^{-1}$ . Setelah impregnasi logam (Fe, Cu, Ti) dan dilanjutkan dengan proses kalsinasi, pita serapan pada  $3436 \text{ cm}^{-1}$  yang terindikasi sebagai O–H regangan menurun drastis.



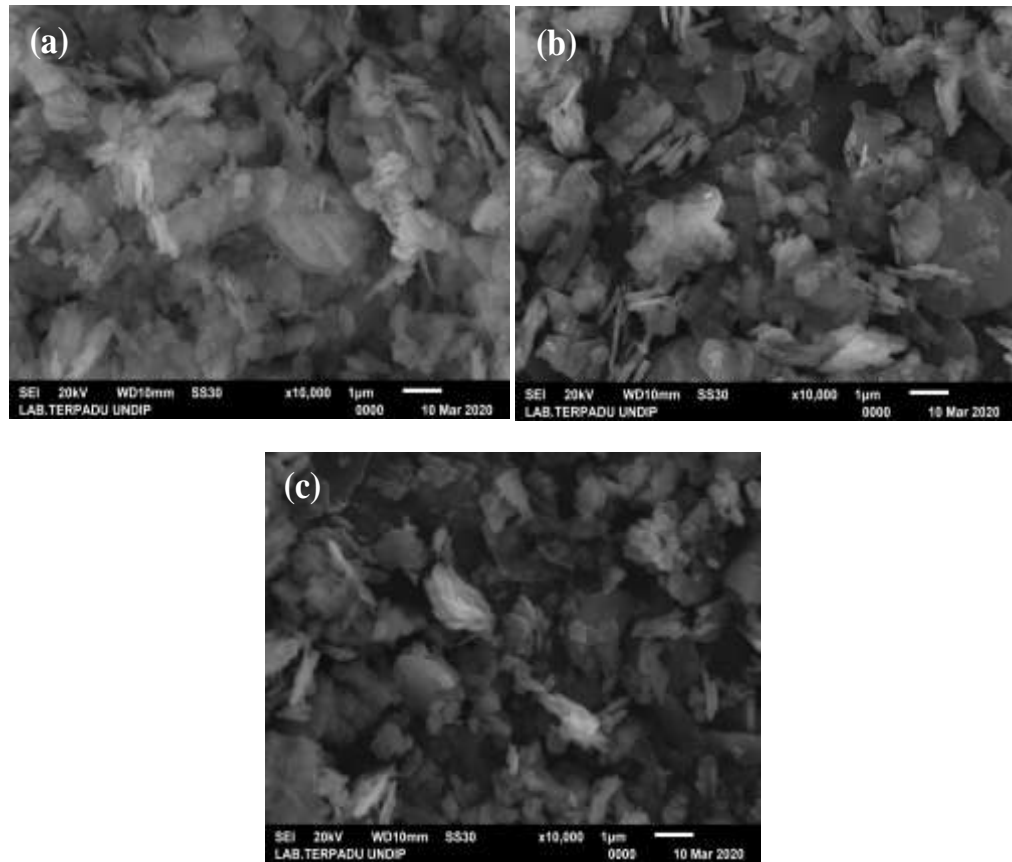
**Gambar. 1.** FTIR spectra dari (a) CFB, (b)  $\text{Fe}_2\text{O}_3/\text{CFB}$ , (c)  $\text{CuO}/\text{CFB}$  and (d)  $\text{TiO}_2/\text{CFB}$

Pola XRD pada Gambar 2 menggambarkan kristalinitas katalis CFB,  $\text{Fe}_2\text{O}_3/\text{CFB}$ ,  $\text{CuO}/\text{CFB}$ , dan  $\text{TiO}_2/\text{CFB}$ . CFB menunjukkan kristalinitas rendah, tetapi sebaliknya kristalinitas tinggi ditunjukkan oleh katalis  $\text{Fe}_2\text{O}_3/\text{CFB}$ ,  $\text{CuO}/\text{CFB}$  dan  $\text{TiO}_2/\text{CFB}$ . Berdasarkan JCPDS 0760694, semua katalis mengandung hidroksiapatit, dibuktikan dengan puncak difraksi pada  $2\theta = 25,9, 31,8, 46,8, 49,6$ , dan  $53,4$ . Berdasarkan JCPDS nomor 00-004-0477, struktur kristal puncak dominan  $\text{Fe}_2\text{O}_3$ ,  $\text{CuO}$  dan  $\text{TiO}_2$  masing-masing harus muncul pada  $25,4^\circ$ ,  $39,0^\circ$ , dan  $36,0^\circ$ , tetapi tidak muncul pada Gambar 2 (b-d) karena jumlahnya sangat kecil (500 mol).



**Gambar 2.** XRD pattern dari (a) CFB, (b)  $\text{Fe}_2\text{O}_3$ /CFB, (c)  $\text{CuO}$ /CFB and (d)  $\text{TiO}_2$ /CFB

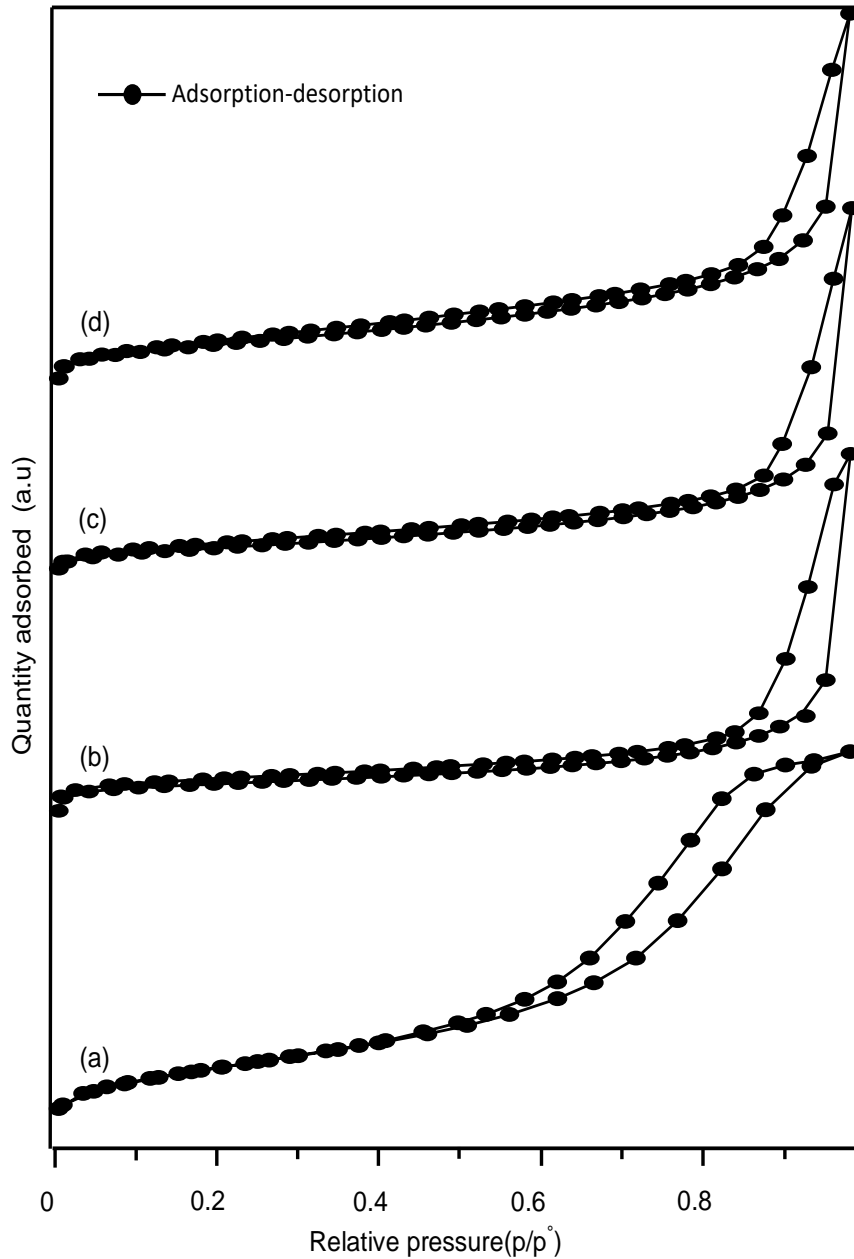
Gambar SEM katalis  $\text{Fe}_2\text{O}_3$ /CFB,  $\text{CuO}$ /CFB, dan  $\text{TiO}_2$ /CFB ditunjukkan pada Gambar 3. Semua katalis memiliki morfologi permukaan yang kasar. Hasil EDX (Tabel 1) menggambarkan bahwa semua katalis didominasi oleh banyak unsur seperti C, O, S, dan Ca. Kehadiran Fe, Ti, dan Cu terlihat jelas pada hasil EDX.



**Fig. 3.** SEM images of (a)  $\text{Fe}_2\text{O}_3/\text{CFB}$ , (b)  $\text{CuO}/\text{CFB}$  and (c)  $\text{TiO}_2/\text{CFB}$

**Table 1** Physical properties of SEM EDX of the catalysts

Element	Wt%		
	$\text{Fe}_2\text{O}_3/\text{CFB}$	$\text{CuO}/\text{CFB}$	$\text{TiO}_2/\text{CFB}$
C	11.55	39.39	51.58
O	52.99	45.26	40.76
S	16.06	5.80	3.16
Ca	17.08	6.07	3.47
Ti	-	-	0.42
Fe	1.43	0.02	0.02
Cu	0.85	2.23	0.59
Zn	-	0.67	-
Zr	-	0.54	-



**Gambar 4.** Isotherms fisisorpsi dari (a) CFB, (b) Fe<sub>2</sub>O<sub>3</sub>/CFB, (c) CuO/CFB and (d) TiO<sub>2</sub>/CFB

Gambar 4 menunjukkan isoterm adsorpsi-desorpsi nitrogen dari CFB, Fe<sub>2</sub>O<sub>3</sub>/CFB, CuO/CFB dan TiO<sub>2</sub>/CFB. Semua isoterm katalis adalah Tipe IV dalam klasifikasi IUPAC, yang merupakan isoterm khas untuk bahan mesopori. Isoterm dari semua katalis menunjukkan loop histeresis yang jelas. Luas permukaan BET, volume pori, dan ukuran pori rata-rata CFB, Fe<sub>2</sub>O<sub>3</sub>/CFB, CuO/CFB, dan TiO<sub>2</sub>/CFB diperoleh dari analisis adsorpsi-desorpsi nitrogen. Data selengkapnya disajikan pada Tabel 2. Distribusi ukuran pori CFB, Fe<sub>2</sub>O<sub>3</sub>/CFB, CuO/CFB, dan

$\text{TiO}_2/\text{CFB}$  menunjukkan adanya mesopori yang seragam masing-masing seperti 4,4, 10,2, 10,4, dan 7,7 nm. Luas permukaan BET dan volume pori menunjukkan nilai berikut;  $158,8 \text{ m}^2\text{g}^{-1}$ ,  $0,350 \text{ cm}^3\text{g}^{-1}$  untuk CFB;  $7,610 \text{ m}^2\text{g}^{-1}$ ,  $0,039 \text{ cm}^3\text{g}^{-1}$  untuk  $\text{Fe}_2\text{O}_3/\text{CFB}$ ;  $7,337 \text{ m}^2\text{g}^{-1}$ ,  $0,038 \text{ cm}^3\text{g}^{-1}$  untuk  $\text{CuO}/\text{CFB}$  dan  $13,790 \text{ m}^2\text{g}^{-1}$ ,  $0,053 \text{ cm}^3\text{g}^{-1}$  untuk  $\text{TiO}_2/\text{CFB}$ , masing-masing. Data lengkapnya ditunjukkan pada Tabel 2. Dapat dilihat bahwa luas permukaan BET dan volume pori menurun drastis ketika CFB dimodifikasi menjadi katalis melalui proses impregnasi.

**Table 2** Physical properties of CFB,  $\text{Fe}_2\text{O}_3/\text{CFB}$ ,  $\text{CuO}/\text{CFB}$  and  $\text{TiO}_2/\text{CFB}$  catalysts

Samples	BET surface area ( $\text{m}^2/\text{g}$ )	Pore Volume ( $\text{cm}^3/\text{g}$ )	Mean pore size (nm)
CFB	158.8	0.3500	4.41
$\text{Fe}_2\text{O}_3/\text{CFB}$	7.610	0.0386	10.16
$\text{CuO}/\text{CFB}$	7.337	0.0381	10.39
$\text{TiO}_2/\text{CFB}$	13.790	0.0532	7.70

#### 4. 2.2. Aktivitas Katalitik

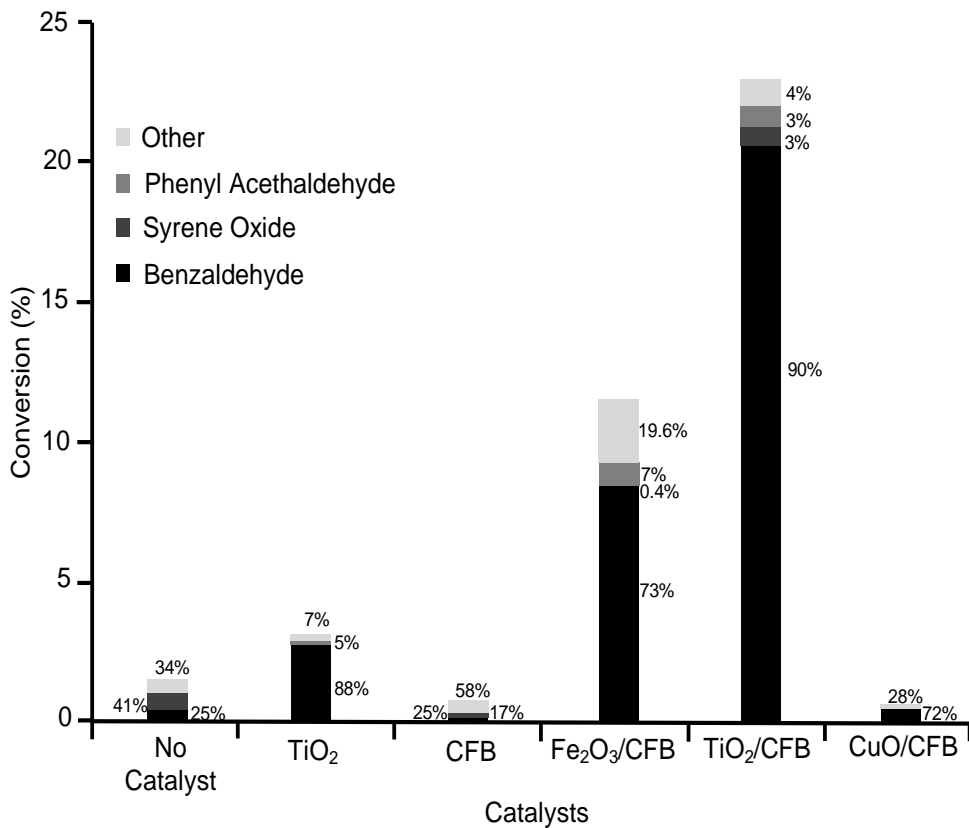
Histogram hasil oksidasi stirene dengan katalis  $\text{H}_2\text{O}_2$  sebagai oksidan yang dikatalisis oleh katalis  $\text{TiO}_2$ , CFB,  $\text{Fe}_2\text{O}_3/\text{CFB}$ ,  $\text{CuO}/\text{CFB}$ , dan  $\text{TiO}_2/\text{CFB}$  ditunjukkan pada Gambar 5. Konversi stirene pada blanko (tanpa katalis),  $\text{TiO}_2$ , CFB , katalis  $\text{Fe}_2\text{O}_3/\text{CFB}$ ,  $\text{CuO}/\text{CFB}$  dan  $\text{TiO}_2/\text{CFB}$  adalah 1,43; 3.16; 0,41; 11.59; 0,49 dan 22,99%, masing-masing. Jika dibandingkan dengan katalis  $\text{TiO}_2$  dan CFB, kinerja katalitik katalis  $\text{Fe}_2\text{O}_3/\text{CFB}$  ( $\text{TON} = 23,18$ ) dan  $\text{TiO}_2/\text{CFB}$  ( $\text{TON} = 45,98$ ) lebih baik dari yang lain.

Titania dan oksida besi pada permukaan CFB ditemukan sebagai situs aktif katalitik yang cocok untuk oksidasi stirena dengan  $\text{H}_2\text{O}_2$  berair sebagai oksidan. Sebaliknya, kinerja katalitik  $\text{CuO}/\text{CFB}$  lebih rendah dari  $\text{TiO}_2$  dan hampir sama dengan dukungan katalis CFB. Hal ini membuktikan bahwa oksida tembaga tidak aktif dalam oksidasi stirena dengan  $\text{H}_2\text{O}_2$  sebagai oksidator. Hal ini mungkin karena  $\text{H}_2\text{O}_2$  telah teradsorpsi ke permukaan katalitik  $\text{CuO}/\text{CFB}$  tetapi lambat dalam dekomposisi  $\text{H}_2\text{O}_2$  membentuk  $\bullet\text{OH}$  radikal[18-20] Hal ini menunjukkan bahwa, berdasarkan konversi produk, katalis  $\text{TiO}_2/\text{CFB}$  adalah yang terbaik dibandingkan kepada yang lain. Seseorang menganggap bahwa  $\text{Ti}^{4+}$  dalam katalis  $\text{TiO}_2/\text{CFB}$  memiliki jumlah

kekosongan elektron yang lebih tinggi di orbital d dibandingkan dengan  $\text{Fe}^{3+}$  dan  $\text{Cu}^{2+}$ . Jadi, ion  $\text{Ti}^{4+}$  dalam katalis  $\text{TiO}_2/\text{CFB}$  dapat memberikan konsentrasi yang besar pada keadaan elektronik energi rendah dan keadaan kekosongan elektron, sehingga dapat memfasilitasi oksidasi stirena dengan  $\text{H}_2\text{O}_2$  [17]. Dilaporkan juga bahwa pembentukan kompleks titanium peroxyo memainkan peran penting dalam aktivitas katalitik  $\text{TiO}_2/\text{CFB}$  yang lebih tinggi. Kompleks perokso mungkin mengalami pembelahan homolitik pada O-OH untuk membentuk radikal  $\cdot\text{OH}$ , yang selanjutnya dapat bereaksi dengan  $\text{H}_2\text{O}_2$  lain untuk membentuk radikal  $\text{O}_2\cdot-$  dan  $\cdot\text{OOH}$ . Dengan demikian,  $\text{TiO}_2/\text{CFB}$  lebih reaktif dalam oksidasi stirena menggunakan  $\text{H}_2\text{O}_2$  [21].

Luas permukaan merupakan salah satu faktor penting yang harus dipertimbangkan untuk aktivitas katalitik  $\text{TiO}_2/\text{CFB}$  yang lebih tinggi. Terlihat jelas bahwa katalis  $\text{TiO}_2/\text{CFB}$  memiliki luas permukaan paling tinggi dibandingkan dengan katalis  $\text{Fe}_2\text{O}_3/\text{CFB}$  dan  $\text{CuO}/\text{CFB}$ . Meskipun demikian, luas permukaan CFB sangat berkurang setelah impregnasi  $\text{TiO}_2$ ,  $\text{CuO}$  dan  $\text{Fe}_2\text{O}_3$  masing-masing. Hal ini dikarenakan ukuran partikel ketiga oksida logam tersebut terlalu besar dan hampir menutupi permukaan dan volume pori CFB, dibuktikan dengan rata-rata ukuran pori pada Tabel 2. Tabel 2 menunjukkan ukuran pori rata-rata  $\text{Fe}_2\text{O}_3/\text{CFB}$  adalah 10,16 nm,  $\text{CuO}/\text{CFB}$  10,39 nm dan  $\text{TiO}_2/\text{CFB}$  7,70 nm, lebih besar dari ukuran pori rata-rata CFB. Dengan mempertimbangkan bahwa  $\text{TiO}_2/\text{CFB}$  memiliki luas permukaan tertinggi dibandingkan dengan oksida logam/CFB, dapat disimpulkan bahwa kinerja katalitik  $\text{TiO}_2/\text{CFB}$  membuktikan fungsi penting dari situs aktif dan luas permukaan katalis. Dari histogram terlihat bahwa konversi stirena  $\text{TiO}_2$  (3,16%) dan CFB (0,41%) meningkat drastis menjadi ~12% dan ~23% bila digunakan katalis  $\text{Fe}_2\text{O}_3/\text{CFB}$  dan  $\text{TiO}_2/\text{CFB}$ .

Benzaldehida, fenil asetaldehida, dan stirena oksida merupakan produk utama dari oksidasi stirena dengan menggunakan  $\text{H}_2\text{O}_2$  sebagai oksidan. Ini mengungkapkan bahwa produk selektif terhadap pembentukan benzaldehida. Selektivitas benzaldehida pada katalis blanko (tanpa katalis), CFB,  $\text{TiO}_2$ ,  $\text{Fe}_2\text{O}_3/\text{CFB}$ ,  $\text{CuO}/\text{CFB}$ , dan  $\text{TiO}_2/\text{CFB}$  adalah 25,2; 17.4; 88.3; 73.2; 72,4 dan 90,1%, masing-masing

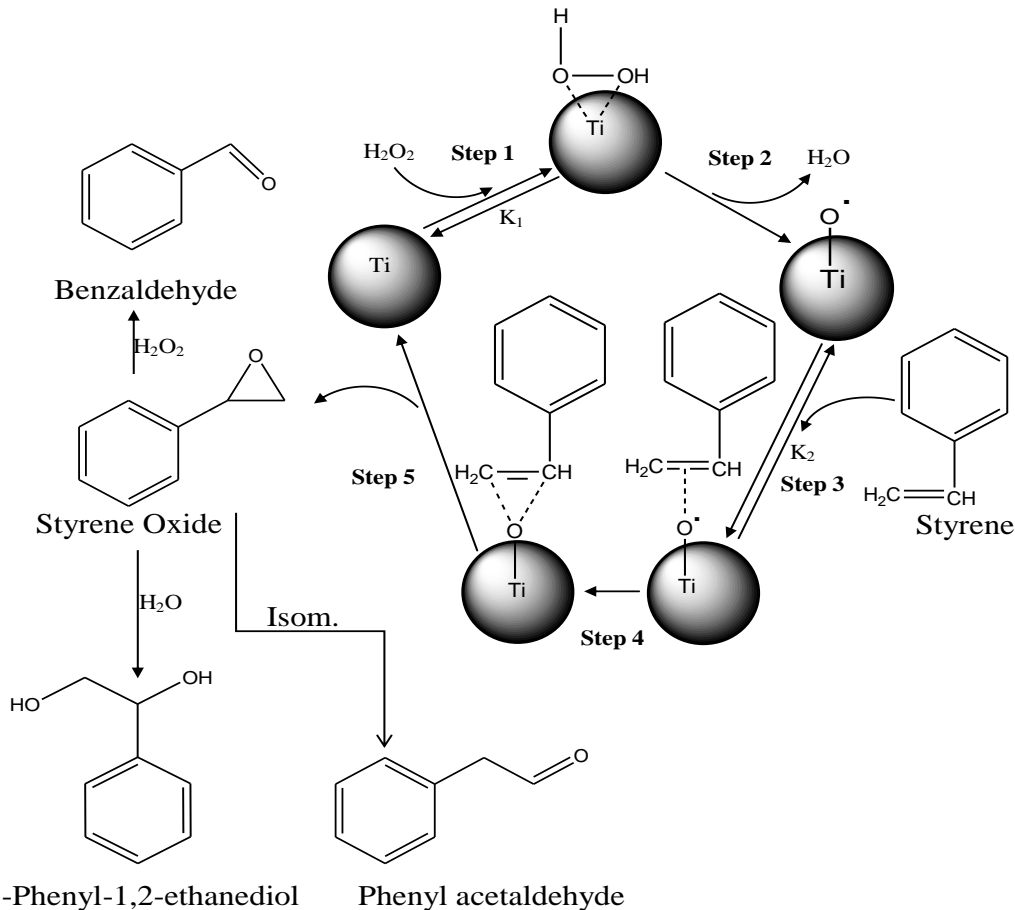


**Gambar 5.** Perbandingan aktivitas katalis dari tanpa katalis, TiO<sub>2</sub>, CFB, Fe<sub>2</sub>O<sub>3</sub>/CFB, TiO<sub>2</sub>/CFB dan CuO/CFB.

#### 4. 2.3.Kinetic Model: the power-rate law

Percobaan kinetika seri oksidasi stirena oleh H<sub>2</sub>O<sub>2</sub> dilakukan pada suhu kamar dengan pelarut asetonitril. Skema mekanisme reaksi stirena dengan H<sub>2</sub>O<sub>2</sub>, untuk menghasilkan benzaldehida sebagai produk utama, diilustrasikan pada Gambar. 6. Reaksi konversi katalitik ini melibatkan lima langkah: (1) Pada tahap pra-kesetimbangan, TiO<sub>2</sub>/CFB bereaksi dengan H<sub>2</sub>O<sub>2</sub> untuk menghasilkan titanium (IV) spesies hidroperoksi; (2) Spesies hidroperoksi titanium(IV) tidak stabil, sehingga menyusun kembali diri mereka sendiri untuk membentuk radikal okso titanium(IV) dengan melepaskan molekul air sebagai produk sampingan; (3) Radikal okso titanium(IV) yang sangat aktif bertabrakan dengan stirena pada keadaan pra-kesetimbangan kedua untuk menghasilkan spesies transien terikat-; (4) Radikal okso Titanium(IV) mentransfer oksigennya ke stirena dengan memberikan spesies antara metaloepoksi; (5) Spesies Titanium(IV) dalam TiO<sub>2</sub>/CFB mendapatkan kembali strukturnya dengan pembentukan stirena oksida. Karena stirena oksida adalah zat antara aktif, ia dapat berubah menjadi beberapa produk, seperti

benzaldehyda (produk utama), 1-fenil-1,2-etanadiol dan fenil asetaldehyda[22, 23]. Mekanisme yang diusulkan untuk oksidasi stirena konsisten dengan pengamatan yang dilakukan dalam kinetika.



**Gambar 6.** Reaction scheme of the styrene oxidation with H<sub>2</sub>O<sub>2</sub> as oxidant.

Model kinetik seperti hukum tingkat daya digunakan agar sesuai dengan hasil. Hukum tingkat daya dapat direpresentasikan sebagai[24, 25]:

$$r_i = -\frac{dc_i}{dt} = k K_1 K_2 [\text{catalyst}][\text{Styrene}][H_2O_2]^{1/2} \quad (1)$$

$$r_i = -\frac{d[c_0-x]}{dt} = k K_1 K_2 [\text{catalyst}][\text{Styrene}][H_2O_2]^{1/2} \quad (2)$$

$$r_i = \frac{dx}{dt} = k K_1 K_2 [\text{catalyst}][\text{Styrene}][H_2O_2]^{1/2} \quad (3)$$

dimana  $r_i$  adalah laju reaksi dari oksidasi stirena ( $\text{mol cm}^{-3}\text{s}^{-1}$ );  $k$  adalah konstanta laju reaksi ( $\text{min}^{-1}$ );  $C_i$  adalah konsentrasi stirena setelah waktu oksidasi  $t$  ( $\text{mol cm}^{-3}$ );  $[\text{catalyst}]$  adalah

konsentrasi katalis dari katalis TiO<sub>2</sub>/CFB dan  $K_1$  dan  $K_2$  adalah konstanta kesetimbangan dari setiap tahap dalam skema ini.

Jika konsentrasi total katalis dinyatakan sebagai  $[catalyst]_T$  dan mempertimbangkan pendekatan keadaan tunak, yang mencakup konsentrasi semua spesies katalis antara, hukum laju daya dapat diberikan sebagai:

$$r_i = \frac{kK_1K_2[catalyst][Styrene][H_2O_2]^{1/2}}{1+K_1[H_2O_2]^{1/2}+K_1K_2[Styrene][H_2O_2]^{1/2}} \quad (4)$$

$$\frac{[Catalyst]_T}{r_i} = \frac{1+K_1[H_2O_2]^{1/2}+K_1K_2[Styrene][H_2O_2]^{1/2}}{kK_1K_2[Styrene][H_2O_2]^{1/2}} \quad (5)$$

$$\frac{[Catalyst]_T}{r_i} = \frac{1}{[Styrene]} \left\{ \frac{1}{kK_1K_2[H_2O_2]^{1/2}} + \frac{1}{kK_2} \right\} + \frac{1}{k} \quad (6)$$

Harga konstanta laju k ditentukan dari intersep dari plot dari  $[catalyst]_T/r_i$  vs  $1/[Styrene]$ .

Data kinetika yang diperoleh dari oksidasi stirena dengan H<sub>2</sub>O<sub>2</sub> sebagai oksidan pada TiO<sub>2</sub>/CFB disajikan pada Tabel 3. Berdasarkan hasil percobaan, oksidasi stirena pada katalis TiO<sub>2</sub>/CFB pada suhu kamar mengikuti model reaksi orde satu dengan koefisien korelasi R<sup>2</sup> ~ 0,9002 dan nilai konstanta laju k = 0,00081 menit<sup>-1</sup>.

**Table 3** First order kinetics of styrene oxidation onto TiO<sub>2</sub>/CFB catalysts

Catalyst	Time (min)					First order	
	0	60	120	240	360	R <sup>2</sup>	k <sub>1</sub> (min <sup>-1</sup> )
TiO <sub>2</sub> /CFB	x	0	0.0159	0.0201	0.0386	0.0465	0.9002
	C <sub>i</sub>	0.8944	0.8785	0.8743	0.8558	0.8479	
	$\frac{\partial x}{\partial t}$	0	2.65 x 10 <sup>-4</sup>	1.675 x 10 <sup>-4</sup>	1.608 x 10 <sup>-4</sup>	1.291 x 10 <sup>-4</sup>	

(condition: 5mmol styrene = 0.5806 mL; 5mmol H<sub>2</sub>O<sub>2</sub> = 0.5107 mL; Acetonitrile = 4.5 mL and catalyst = 50 mg)

### 4.3. Kesimpulan

Penggunaan tulang ikan yang diturunkan dari karbon (CFB) sebagai pendukung katalis telah ditunjukkan dalam oksidasi stirena dengan H<sub>2</sub>O<sub>2</sub> berair dalam penelitian ini. Ditemukan bahwa kombinasi titania (TiO<sub>2</sub>) dan tulang ikan yang diturunkan karbon memberikan aktivitas katalitik tertinggi dibandingkan dengan Fe<sub>2</sub>O<sub>3</sub>/CFB dan CuO/CFB. Konversi dan selektivitas stirena dan benzaldehida terhadap TiO<sub>2</sub> adalah 3,16% dan 88,3%; CFB adalah 0,41% dan 17,4%; Fe<sub>2</sub>O<sub>3</sub>/CFB adalah 11,59% dan 73,15%; CuO/CFB adalah 0,49% dan 72,42%; dan TiO<sub>2</sub>/CFB adalah 22,99% dan 90,1%. Aktivitas katalitik TiO<sub>2</sub>/CFB tertinggi dipengaruhi oleh sifat elektronik Ti<sup>4+</sup> dan luas permukaan katalis yang tinggi. Kinetika oksidasi stirena oleh H<sub>2</sub>O<sub>2</sub> memenuhi orde pertama dengan konstanta laju  $k = 8,1 \times 10^{-4}$  menit<sup>-1</sup>.

### Pustaka

- [1] Ito, S., Kon, Y., Nakashima, T., Hong, D., Konno, H., Ino, D., Sato, K. (2019). Titania-Catalyzed H<sub>2</sub>O<sub>2</sub> Thermal Oxidation of Styrenes to Aldehydes. *Molecules*, 24[27], 1-9. doi:10.3390/molecules24142520
- [2] Zhang, L.-X., Hua, Z.-L., Dong, X.-P., Li, L., Chen, H.-R., Shi, J.-L. (2007). Preparation of highly ordered Fe-SBA-15 by physical-vapor-infiltration and their application to liquid phase selective oxidation of styrene. *J Molecular Catalysis A: Chemical*, 268, 155-162. doi: <https://doi.org/10.1016/j.molcata.2006.12.027>
- [3] Wang, H., Qian, W., Chen, J., Wu, Y., Xu, X., Wang, J., Kong, Y. (2014). Spherical V-MCM-48: the synthesis, characterization and catalytic performance in styrene oxidation. *RSC Advances*, 4, 50832–50839. doi: DOI: 10.1039/c4ra08333d
- [4] Yang, Y., Zhang, Y., Hao, S., Guan, J., Ding, H., Shang, F., Kan, Q. (2010). Heterogenization of functionalized Cu(II) and VO(IV) Schiff base complexes by direct immobilization onto amino-modified SBA-15: Styrene oxidation catalysts with enhanced reactivity. *Applied Catalysis A: General*, 381, 274-281. doi:10.1016/j.apcata.2010.04.018
- [5] Li, B., Zhu, Y., Jin, X. (2015). Synthesis of cobalt-containing mesoporous catalysts using the ultrasonic-assisted “pH-adjusting” method: Importance of cobalt species in styrene oxidation. *Journal of Solid State Chemistry*, 221, 230-239. doi: <http://dx.doi.org/10.1016/j.jssc.2014.10.008>

- [6] Zhan, W., Guo, Y., Wang, Y., Guo, Y., Liu, X., Wang, Y., Lu, G. (2009). Study of Higher Selectivity to Styrene Oxide in the Epoxidation of Styrene with Hydrogen Peroxide over La-Doped MCM-48 Catalyst. *J. Phys. Chem. C*, 113(17), 7181-7185.  
doi: 10.1021/jp8101095
- [7] Zou, H., Xiao, G., Chen, K., Peng, X. (2018). Noble metal free V<sub>2</sub>O<sub>5</sub>/g-C<sub>3</sub>N<sub>4</sub> composite for selective oxidation of olefins using hydrogen peroxide as oxidant. *Dalton Transactions*, 47, 13565–13572. DOI: 10.1039/C8DT02765J
- [8] Zou, H., Hu, C., Chen, K., Xiao, G., Peng, X. (2018). Cobalt Vanadium Oxide Supported on Reduced Graphene Oxide for the Oxidation of Styrene Derivatives to Aldehydes with Hydrogen Peroxide as Oxidant. *Synlett*, 29, 2181-2184.  
DOI: 10.1055/s-0037-1610630
- [9] Shi, F., Tse, M. K., Pohl, M.-M., Br\_ckner, A., Zhang, S., Beller, M. (2007). Tuning Catalytic Activity between Homogeneous and Heterogeneous Catalysis: Improved Activity and Selectivity of Free Nano-Fe<sub>2</sub>O<sub>3</sub> in Selective Oxidations. *Angew. Chem. Int. Ed*, 46, 8866-8868. doi: DOI: 10.1002/anie.200703418
- [10] Xie, L., Wang, H., Lu, B., Zhao, J., Cai, Q. (2018). Highly selective oxidation of styrene to benzaldehyde over Fe<sub>3</sub>O<sub>4</sub> using H<sub>2</sub>O<sub>2</sub> aqueous solution as oxidant. *Reac Kinet Mech Cat*, 125, 743–756. doi: <https://doi.org/10.1007/s11144-018-1429-6>
- [11] Milovac, D., Weigand, I., Kovačić, M., Ivanković, M., Ivanković, H. (2018). Highly porous hydroxyapatite derived from cuttle fish bone as TiO<sub>2</sub> catalyst support. *Processing and Application of Ceramics*, 12(2), 136-142.  
doi: <https://doi.org/10.2298/PAC1802136M>
- [12] Puma, G. L., Bono, A., Krishnaiah, D., Collin, J. G. (2008). Preparation of titanium dioxide photocatalyst loaded onto activated carbon support using chemical vapor deposition: A review paper. *Journal of Hazardous Materials*, 157, 209-219.  
Doi:10.1016/j.jhazmat.2008.01.040

- [13] Nurhadi, M., Chandren, S., Yuan, L. S., Ho, C. S., Mahlia, T. M. I., Nur, H. (2017). Titania-Loaded Coal Char as Catalyst in Oxidation of Styrene with Aqueous Hydrogen Peroxide. *International Journal of Chemical Reactor Engineering*. doi: 10.1515/ijcre-2016-0088
- [14] Nurhadi, M. (2017). Modification of Coal Char-loaded TiO<sub>2</sub> by Sulfonation and Alkylsilylation to Enhance Catalytic Activity in Styrene Oxidation with Hydrogen Peroxide as Oxidant. *Bulletin of Chemical Reaction Engineering and Catalysis*, 12(1), 55-61. doi: org/10.9767/bcrec.12.1.501.55-61
- [15] Kusumawardani, R., Nurhadi, M., Wirhanuddin, Gunawan, R., Nur, H. (2019). Carbon-containing Hydroxyapatite Obtained from Fish Bone as Low-cost Mesoporous Material for Methylene Blue Adsorption. *Bulletin of Chemical Reaction Engineering & Catalysis*, 14(3), 660-671.
- [16] Nurhadi, M. (2017). utilization Low Rank Coal Bottom Ash as TiO<sub>2</sub> Suport for Oxidation Catalyst of Styrene with Hydrogen Peroxide Aqueous. *Key Engineering Materials*, 733, 12-16. doi: doi:10.4028/www.scientific.net/KEM.733.12
- [17] Nurhadi, M. (2017). utilization Low Rank Coal Bottom Ash as TiO<sub>2</sub> Suport for Oxidation Catalyst of Styrene with Hydrogen Peroxide Aqueous. *Key Engineering Materials*, 733, 12-16. doi:10.4028/www.scientific.net/KEM.733.12
- [18] Zhang, L., Yuan, F., Zhang, X., Yang, L. (2011). Facile synthesis of flower like copper oxide and their application to hydrogen peroxide and nitrite sensing. *Chemistry Central Journal*, 5, 75. doi: <http://journal.chemistrycentral.com/content/5/1/75>
- [19] Lousada, C. M., Yang, M., Nilsson, K., Jonsson, M. (2013). Catalytic decomposition of hydrogen peroxide on transition metal and lanthanide oxides. *Journal of Molecular Catalysis A: Chemical*, 379, 178– 184. doi: <http://dx.doi.org/10.1016/j.molcata.2013.08.017>
- [20] Liou, R.-M., Chen, S.-H. (2009). CuO impregnated activated carbon for catalytic wet peroxide oxidation of phenol. *Journal of Hazardous Materials*, 172, 498–506. doi:10.1016/j.jhazmat.2009.07.012.

- [21] Lousada, C. u. M., Johansson, A. J., Brinck, T., Jonsson, M. (2012). Mechanism of H<sub>2</sub>O<sub>2</sub> Decomposition on Transition Metal Oxide Surfaces. *The Journal of Physical Chemistry C*, 116, 9533–9543. doi: dx.doi.org/10.1021/jp300255h
- [22] Lubis, S., Yuliati, L., Lee, S. L., Sumpono, I., Nur, H. (2012). Improvement of catalytic activity in styrene oxidation of carbon-coated titania by formation of porous carbon layer. *Chem. Eng. J.*, 209, 468-493.  
DOI:<http://dx.doi.org/10.1016/j.cej.2012.08.041>
- [23] Indira, V., Halligudi, S. B., Gopinathan, S., Gopinathan, C. (2001). Kinetics and Mechanism of Styrene Oxidation Using Transition Metal Substituted Dodecatungstophosphate. *React.Kinet.Catal.Lett.*, 73(1), 99-107.  
DOI: <https://doi.org/10.1023/A:1013985123468>
- [24] Pei, J., Han, X., Lu, Y. (2015). Performance and kinetics of catalytic oxidation of formaldehyde over copper manganese oxide catalyst. *Building and Environment*, 84, 134-141. doi: <http://dx.doi.org/10.1016/j.buildenv.2014.11.002>
- [25] Tseng, T. K., Chu, H. (2001). The kinetics of catalytic incineration of styrene over a MnO<sub>x</sub>-Fe O catalyst. *The Science of the Total Environment*, 275 83-93.

## BAB V

### STUDI KINETIK OKSIDASI STIRENA YANG DIKATALISIS OLEH TITANIA-KARBON TERSULFONASI TURUNAN TULANG IKAN

#### 5.1 Pendahuluan

Dalam penelitian akademis dan sintesis bahan kimia halus industri, oksidasi stirena merupakan reaksi yang sangat diperlukan karena produk komersialnya, termasuk stirena oksida, benzaldehida atau fenilasetaldehida. Benzaldehida merupakan produk utama oksidasi stirena yang banyak diproduksi di berbagai produk komersial, seperti bahan parfum, obat cacing, resin epoksi, plasticizer, obat-obatan, pemanis, farmasi kiral, pestisida, dan cat epoksi [1-3]. Karena komoditas komersial ini, banyak peneliti telah melakukan upaya besar untuk menemukan katalis yang dapat meningkatkan hasil produk benzaldehida yang dihasilkan dari oksidasi stirena. Salah satu katalis yang banyak digunakan adalah katalis berbasis titania [4-8].

Titanium dioksida ( $TiO_2$ ) atau titania adalah bahan yang diteliti dengan sangat baik yang menunjukkan efisiensi tinggi dalam reaksi oksidasi karena stabilitas struktural, biokompatibilitas, sifat optik dan listriknya. Di alam, titania dapat ditemukan dalam empat polimorf bentuk mineral seperti rutil, anatase, dan brookite dan titanium dioksida (B) atau  $TiO_2(B)$  [9, 10]. Anatase dan rutil umumnya digunakan dalam reaksi oksidasi karena ketersediaan komersial, sejumlah besar spesies oksigen reaktif seperti radikal hidroksil ( $\cdot OH$ ), radikal hidroperoksi ( $\cdot OOH$ ) dan anion radikal superoksida ( $\cdot O^{2-}$ ) ke permukaan  $TiO_2$  [11]. Namun, oksidasi stirena menggunakan titania hanya dapat memberikan hasil produk yang rendah jika digunakan tanpa dukungan katalis [12, 13].

Pembuatan titania dengan impregnasi ke berbagai penyangga telah diselidiki dalam oksidasi stirena. Katalis tersebut adalah titania berlapis karbon [14],  $TiO_2$  bermuatan arang batubara [7],  $TiO_2$  bermuatan arang batubara dengan sulfonasi dan alkilsiliasi [8], zeolit TS-1 [15], Ti-MCM-41 [16], Ti-LHMS-3 [17], V-Ti-MCM-41 dan Nb-Ti-MCM-4 [18], Titanium Dioxide-Supported Sulfonated Low Rank Coal[19]. Meskipun aktivitas katalitik dan selektivitasnya tinggi, katalis ini biasanya melibatkan metode preparasi yang rumit dan secara ekonomis tidak layak untuk aplikasi yang luas.

Indonesia merupakan negara kepulauan terbesar di dunia dengan luas laut 5,8 juta km<sup>2</sup> [20] dan potensi perikanan terbesar di dunia dengan potensi 67 juta ton/tahun [21]. Pada

tahun 2014, Indonesia merupakan produsen perikanan budidaya terbesar kedua di dunia, hanya di bawah China [22]. Terlepas dari perikanan dan budidaya telah berkembang pesat, produksi limbah ikan yang besar dapat menyebabkan masalah lingkungan. Dengan mempertimbangkan hal ini, valorisasi limbah ikan menjadi komoditas bernilai tambah, seperti peptida bioaktif, kolagen, enzim, kitosan, dan sebagainya, telah dianjurkan [23]. Dalam beberapa tahun terakhir, limbah ikan telah digunakan sebagai katalis dalam produksi biodiesel [24-26].

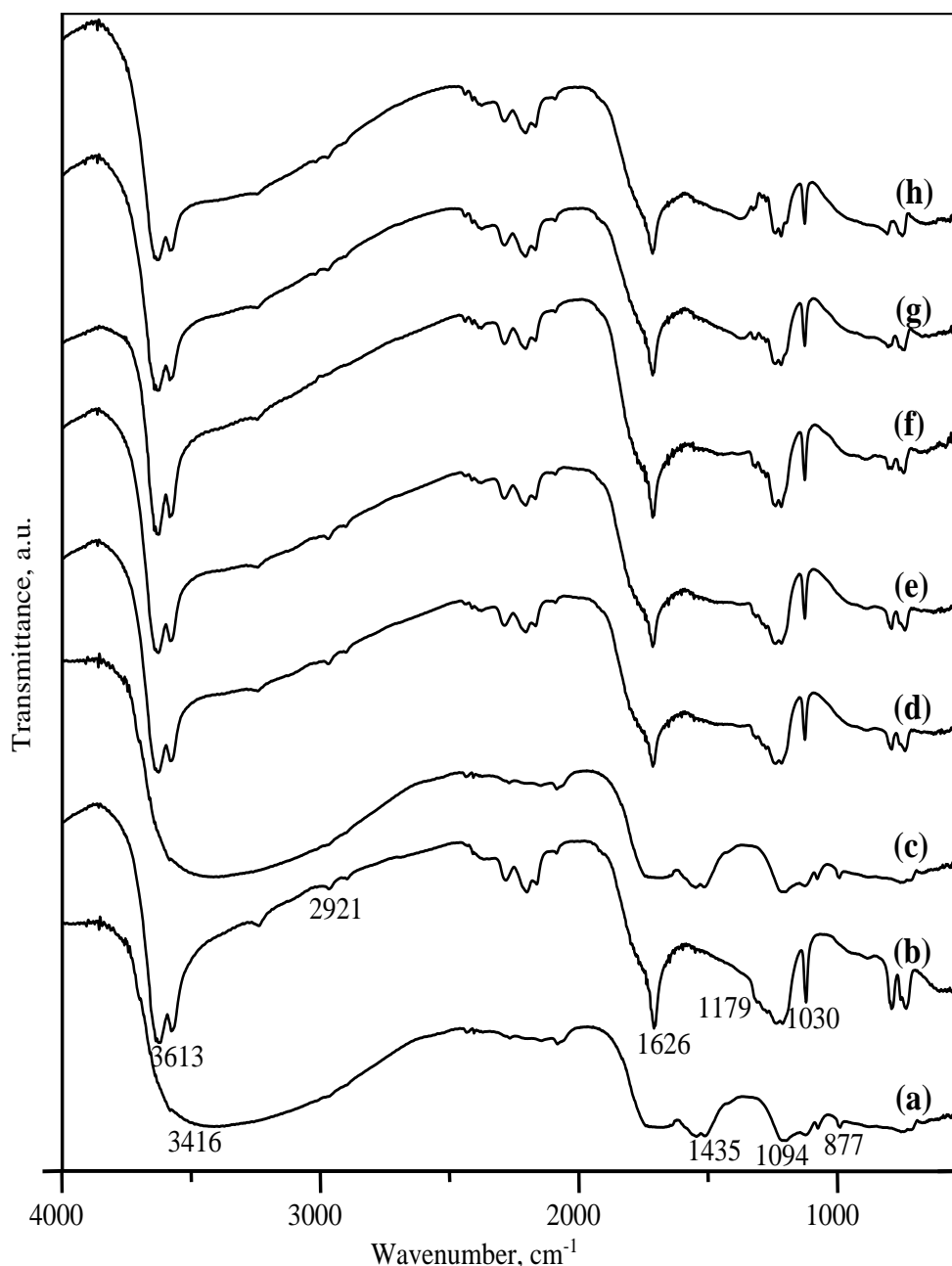
Didorong oleh metode persiapan sederhana dan bahan baku yang hemat biaya, tim peneliti kami pertama-tama mengadopsi sintesis impregnasi yang mudah menggunakan limbah tulang ikan berkarbonisasi sebagai pendukung logam ( $\text{Fe}_2\text{O}_3/\text{CFB}$ ,  $\text{CuO}/\text{CFB}$ , dan  $\text{TiO}_2/\text{CFB}$ , CFB = tulang ikan yang diturunkan dari karbon) dalam oksidasi stirena [4]. Dalam penelitian ini, kami menggunakan pendekatan yang sama untuk mensintesis katalis, dengan lebih fokus pada parameter, yang terdiri dari suhu karbonisasi, dengan dan tanpa penambahan  $\text{H}_2\text{SO}_4$ , dan konsentrasi titania. Secara rinci, penopang tulang ikan dibuat dengan cara karbonasi selama 2 jam pada suhu yang bervariasi, 500, 600 dan 700 °C; Selanjutnya, sulfonasi (1M  $\text{H}_2\text{SO}_4$ ) menjadi serbuk terkarbonisasi selama 24 jam; Terakhir, impregnasi titania (500, 1000 dan 1500 mol) dengan hidroksiapit yang mengandung karbon yang berasal dari tulang ikan. Efek karbonisasi, sulfonasi dan konsentrasi titania dipelajari untuk memahami hubungan struktur-sifat katalis. Karena katalis dapat membuka jalur reaksi baru dengan energi aktivasi yang lebih rendah, kinerja kinetik katalis dievaluasi melalui oksidasi stirena dengan adanya oksidan  $\text{H}_2\text{O}_2$  berair.

## 5.2. Hasil dan Pembahasan

### 5.2.1. Sifat-sifat fisika

Spektrum FTIR dari (a) CFB500, (b) SCFB500, (c)  $\text{TiO}_2(500)/\text{CFB500}$ , (d)  $\text{TiO}_2(500)/\text{SCFB500}$ , (e)  $\text{TiO}_2(500)/\text{SCFB600}$ , (f)  $\text{TiO}_2(500)/\text{SCFB700}$ , (g)  $\text{TiO}_2(1000)/\text{SCFB500}$  dan (h)  $\text{TiO}_2(1500)/\text{SCFB500}$  diukur dalam  $400\text{--}4000\text{ cm}^{-1}$  dan ditunjukkan pada Gambar 1. Semua spektrum menunjukkan puncak serapan sekitar  $3200\text{--}3600\text{ cm}^{-1}$  dan  $1626\text{ cm}^{-1}$  diberi peregangan O-H yang mungkin dikaitkan dengan molekul air yang teradsorpsi. Puncak serapan pada  $2921\text{ cm}^{-1}$  dikaitkan dengan mode peregangan simetris dan asimetris dari C-H aromatik dan alifatik. Adanya hidroksiapit pada semua sampel dibuktikan dengan munculnya gugus ion karbonat ( $\text{CO}_3^{2-}$ ) dan ion fosfat ( $\text{PO}_4^{3-}$ ). Ion

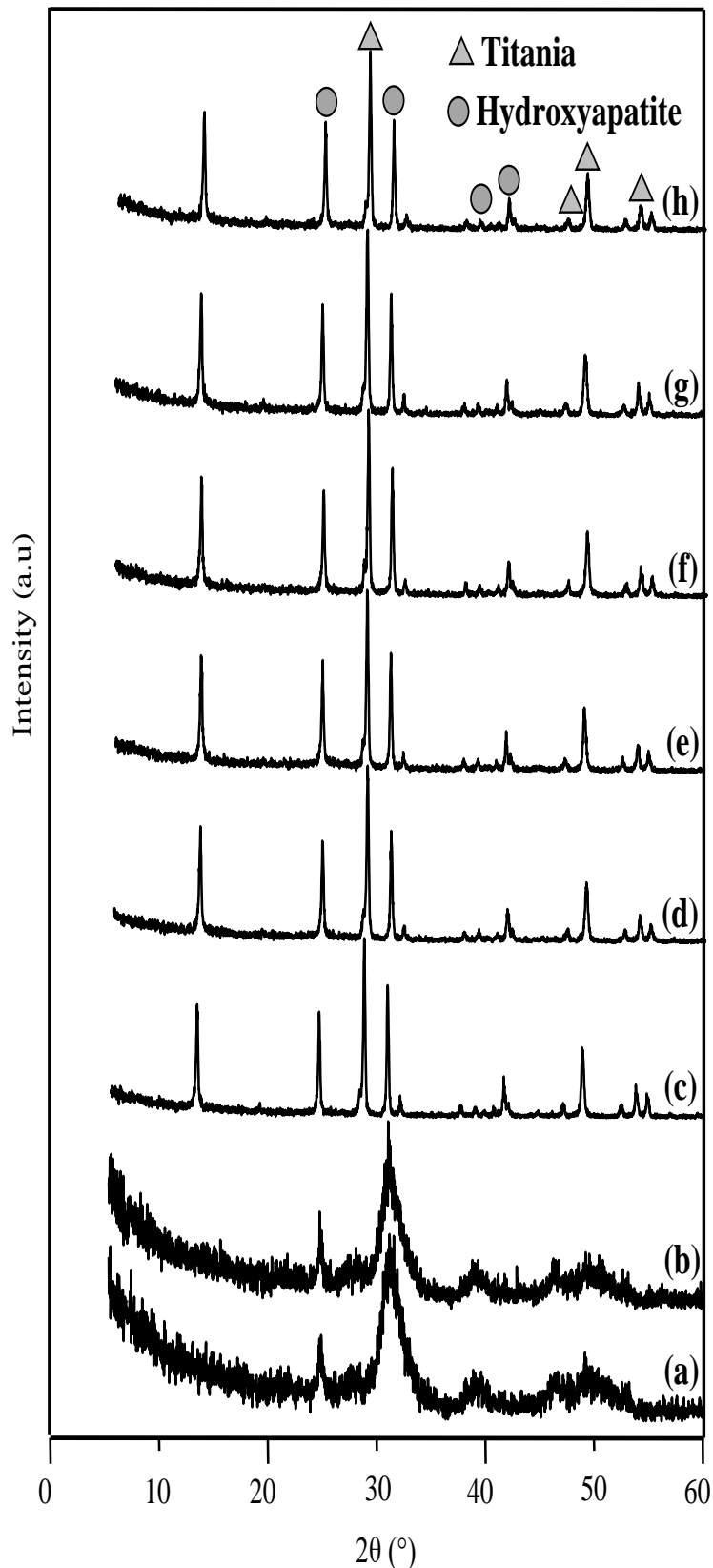
karbonat ( $\text{CO}_3^{2-}$ ) yang terdiri dari regangan C–O, menunjukkan pita serapan pada kisaran  $1050\text{--}1300\text{ cm}^{-1}$  dan  $877\text{ cm}^{-1}$ . Gugus ion fosfat ( $\text{PO}_4^{3-}$ ) yang berkorelasi dengan vibrasi ulur P–O dibuktikan dengan adanya pita serapan pada  $1094\text{ cm}^{-1}$ . Gugus fungsi yang dihasilkan dari proses sulfonasi diilustrasikan pada Gambar 1 (b, d–h) puncak serapan ditunjukkan pada  $1179$  dan  $1030\text{ cm}^{-1}$ . Pita serapan di dekat  $1179\text{ cm}^{-1}$  disebabkan oleh getaran simetris jembatan S–O–Si [27]. Puncak serapan mendekati  $1030\text{ cm}^{-1}$  merepresentasikan mode regangan simetris S=O dan frekuensi deformasi  $\text{SO}_2$  yang menunjukkan adanya perlekatan gugus  $\text{SO}_3\text{H}$  pada permukaan [12, 28]. Puncak penyerapan impregnasi titania dapat diamati pada Gambar 1 (c–h). Kehadiran titania dalam sampel katalis dapat dibuktikan dengan adanya puncak serapan sekitar  $900\text{--}1000\text{ cm}^{-1}$ , yang menunjukkan mode regangan lokal  $[\text{TiO}_4]$  dan/atau  $[\text{O}_3\text{TiOH}]$  dan titanil  $[\text{Ti} = \text{O}]$  vibrasi. Tetapi pita serapan Ti–O dalam spektrum FTIR ini tidak jelas, yang dikaitkan dengan sejumlah kecil titania yang diresapi ke tulang ikan yang diturunkan dari karbon tersulfonasi.



**Gambar 1.** FTIR spectra of (a) CFB500, (b) SCFB500, (c) TiO<sub>2</sub> (500)/CFB500, (d) TiO<sub>2</sub>(500)/SCFB500, (e) TiO<sub>2</sub>(500)/SCFB600, (f) TiO<sub>2</sub>(500)/SCFB700, (g) TiO<sub>2</sub>(1000)/SCFB500 and (h) TiO<sub>2</sub>(1500)/SCFB500

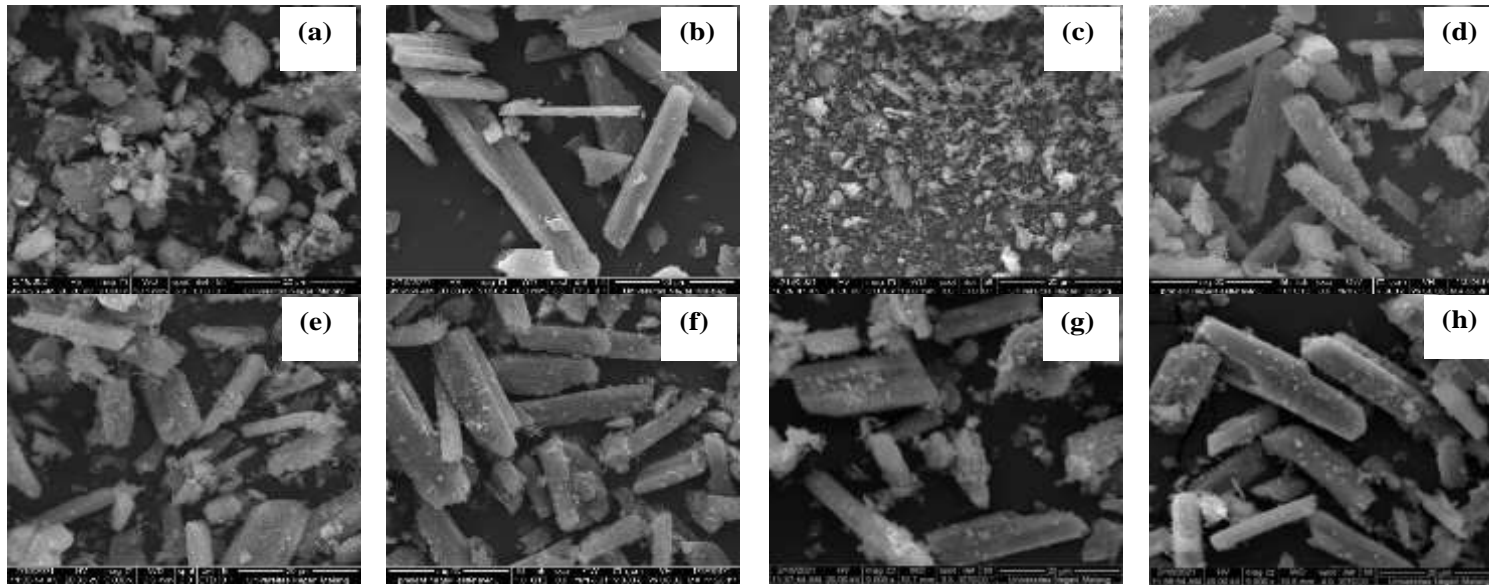
Gambar 2 menunjukkan pola kristalinitas XRD (a) CFB500, (b) SCFB500, (c) TiO<sub>2</sub>(500)/CFB500, (d) TiO<sub>2</sub>(500)/SCFB500, (e) TiO<sub>2</sub>(500)/SCFB600, (f) TiO<sub>2</sub>(500)/SCFB700, (g) TiO<sub>2</sub>(1000)/SCFB500 dan (h) TiO<sub>2</sub>(1500)/SCFB500 katalis. Gambar 2 (a) dan (b) menunjukkan bahwa katalis CFB500 dan SCFB500 terdiri dari hidroksiapatit yang diselidiki oleh puncak difraksi pada  $2\theta = 25,8, 32,0$ , dan  $39,5$ . Kedua pola

XRD membuktikan bahwa proses sulfonasi tidak mempengaruhi kristalinitas kedua katalis. Gambar 2 (c) dan (d) digunakan untuk menyelidiki pengaruh impregnasi titania pada CFB500 dan SCFB500 terhadap sifat kristalinitas. Kedua pola XRD menunjukkan bahwa katalis  $\text{TiO}_2(500)/\text{CFB}500$  dan  $\text{TiO}_2(500)/\text{SCFB}500$  memiliki kristalinitas yang sama. Pengaruh variasi temperatur karbonasi tulang ikan sebagai pendukung katalis titania dapat dilihat pada Gambar 2(d), (e) dan (f). Pengaruh jumlah titania saat proses impregnasi terhadap sifat kristalinitas diselidiki dari Gambar 2(d), (g) dan (h). Semua pola XRD (c) – (h) menunjukkan sifat kristalinitas yang sama yang didominasi oleh puncak difraksi pada  $2\theta = 29,5, 31,7, 32,9, 42,3,$  dan  $52,8$  yang berkorelasi dengan hidroksiapatit dan pada  $2\theta = 25,6, 38,5, 47,7, 49,2,$   $54,0$  dan  $55,2$  yang ditugaskan ke titania.



**Gambar 2.** XRD pattern of (a) CFB500, (b) SCFB500, (c)  $\text{TiO}_2$  (500)/CFB500, (d)  $\text{TiO}_2$ (500)/SCFB500, (e)  $\text{TiO}_2$ (500)/SCFB600, (f)  $\text{TiO}_2$ (500)/SCFB700, (g)  $\text{TiO}_2$ (1000)/SCFB500 and (h)  $\text{TiO}_2$ (1500)/SCFB500

Gambar SEM dari (a) CFB500, (b) SCFB500, (c)  $\text{TiO}_2(500)/\text{CFB}500$ , (d)  $\text{TiO}_2(500)/\text{SCFB}500$ , (e)  $\text{TiO}_2(500)/\text{SCFB}600$ , (f)  $\text{TiO}_2(500)/\text{SCFB}700$ , (g)  $\text{TiO}_2(1000)/\text{SCFB}500$  dan (h)  $\text{TiO}_2(1500)/\text{SCFB}500$  diperlihatkan pada Gambar 3. Menarik untuk dicatat bahwa efek dari proses sulfonasi diilustrasikan pada Gambar 3 (a) dan B). Bentuk tidak beraturan dari (a) CFB500 dapat diubah menjadi bentuk kubus setelah sulfonasi, yang diberi label sebagai (b) SCFB500. Gambar 3 (a) dan (c) menggambarkan perbedaan impregnasi dengan dan tanpa titania pada CFB500. Permukaan yang kasar oleh deposisi titania dapat dilihat pada Gambar 3 (c), tetapi tingkat kekasaran yang lebih rendah ditemukan pada Gambar 3 (a). Titania yang diendapkan pada SCFB500 berbentuk kubus menunjukkan kekokohan proses impregnasi dalam preparasi  $\text{TiO}_2/\text{SCFB}$ , yang ditunjukkan pada Gambar 3 (b) dan (d) – (h). Adanya S dan Ti pada data EDX (Tabel 3) membuktikan bahwa telah dilaksanakan proses sulfonasi dan impregnasi titania. Ini menunjukkan perbedaan antara CFB500 dan SCFB500, dimana SCFB500 tidak menunjukkan deteksi unsur Na, Mg, P dan Si. Hal ini mungkin disebabkan oleh proses sulfonasi yang menyebabkan pelindian unsur Na, Mg, P dan Si. Selain itu, data EDX juga menunjukkan fenomena leaching serupa pada  $\text{TiO}_2(500)/\text{CFB}500$ , dimana proses impregnasi dapat menyebabkan leaching unsur Na, Ma dan Si.

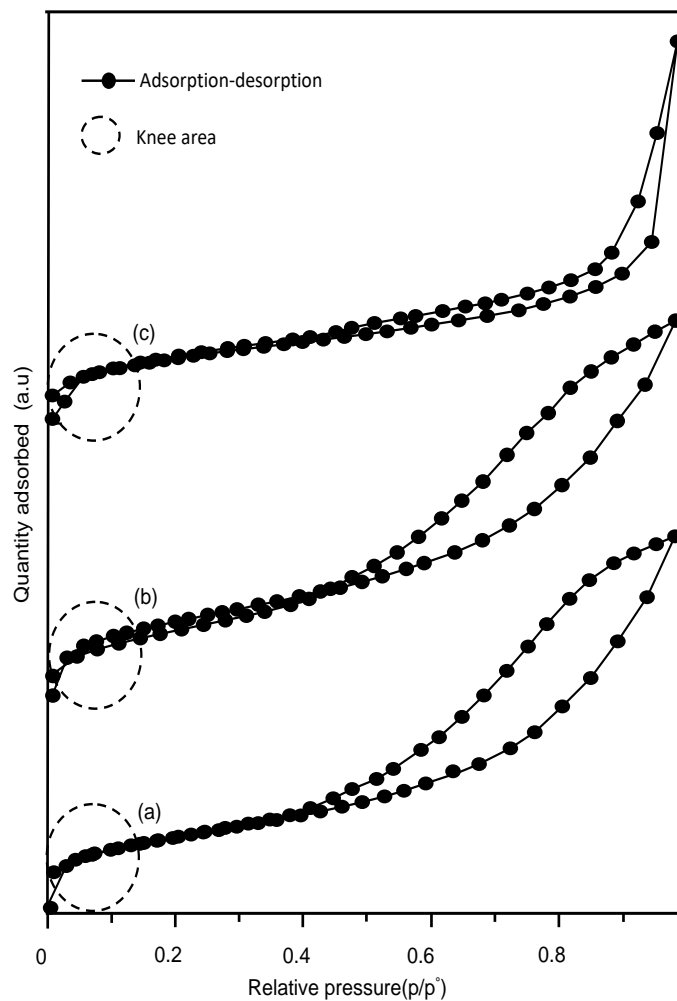


**Gambar 3.** SEM Image of (a) CFB500, (b) SCFB500, (c) TiO<sub>2</sub> (500)/CFB500, (d) TiO<sub>2</sub>(500)/SCFB500, (e) TiO<sub>2</sub>(500)/SCFB600, (f) TiO<sub>2</sub>(500)/SCFB700, (g) TiO<sub>2</sub>(1000)/SCFB500 and (h) TiO<sub>2</sub>(1500)/SCFB500

**Table 1.** Kandungan unsur dalam katalis menggunakan SEM-EDX.

Catalysts	Element concentration (wt. %)									
	C	O	Na	Mg	Si	P	Ca	Ti	S	
CFB500	20.55	34.34	1.71	0.63	0.44	12.91	28.91	0.52	-	
SCFB500	10.31	33.45	-	-	-	-	30.96	0.31	24.97	
TiO <sub>2</sub> (500)/CFB500	38.82	37.28	-	-	-	6.82	13.61	2.98	-	
TiO <sub>2</sub> (500)/SCFB500	32.39	33.72	-	-	-	-	17.61	1.65	14.63	
TiO <sub>2</sub> (500)/SCFB600	24.50	34.98	-	-	-	-	22.41	0.98	17.14	
TiO <sub>2</sub> (500)/SCFB700	30.95	36.28	-	-	-	-	17.47	0.98	14.32	
TiO <sub>2</sub> (1000)/SCFB500	41.52	33.32	-	-	-	-	13.73	1.31	10.12	
TiO <sub>2</sub> (1500)/SCFB500	35.37	34.33	-	-	-	-	16.15	2.00	12.15	

Gambar 4 menunjukkan isoterm adsorpsi-desorpsi nitrogen dari (a) CFB500, (b)  $\text{TiO}_2(500)/\text{CFB}500$ , dan (c)  $\text{TiO}_2(500)/\text{SCFB}500$ . Semua isoterm sampel adalah Tipe IV dalam klasifikasi IUPAC. Isoterm yang khas adalah material mesopori yang dibuktikan dengan luas lutut. Proses sulfonasi dan impregnasi titania tidak mempengaruhi jenis sifat mesopori. Proses sulfonasi hanya mempengaruhi histeresis loops yang menyempit. Ini berkorelasi dengan penurunan. Selengkapnya data sifat fisika; luas permukaan, volume pori dan ukuran poro dapat dilihat pada Tabel 2.



**Gambar 4.** The physisorption isotherms of (a) CFB500, (b)  $\text{TiO}_2(500)/\text{CFB}500$ , and (c)  $\text{TiO}_2(500)/\text{SCFB}500$

**Table 2** Sifat fisika dari katalis

Samples	BET surface area (m <sup>2</sup> /g)	Pore Volume (cm <sup>3</sup> /g)	Mean pore size (nm)
CFB500	106.4	0.249	4.7
SCFB500	6.8	0.0147	4.3
TiO <sub>2</sub> (500)/CFB500	1347.1	2.5	3.7
TiO <sub>2</sub> (500)/SCFB500	13.9	0.0350	5.0
TiO <sub>2</sub> (500)/SCFB600	15.4	0.0339	4.4
TiO <sub>2</sub> (500)/SCFB700	19.6	0.0389	4.0
TiO <sub>2</sub> (1000)/SCFB500	23.3	0.0352	3.0
TiO <sub>2</sub> (1500)/SCFB500	33.1	0.0540	3.3

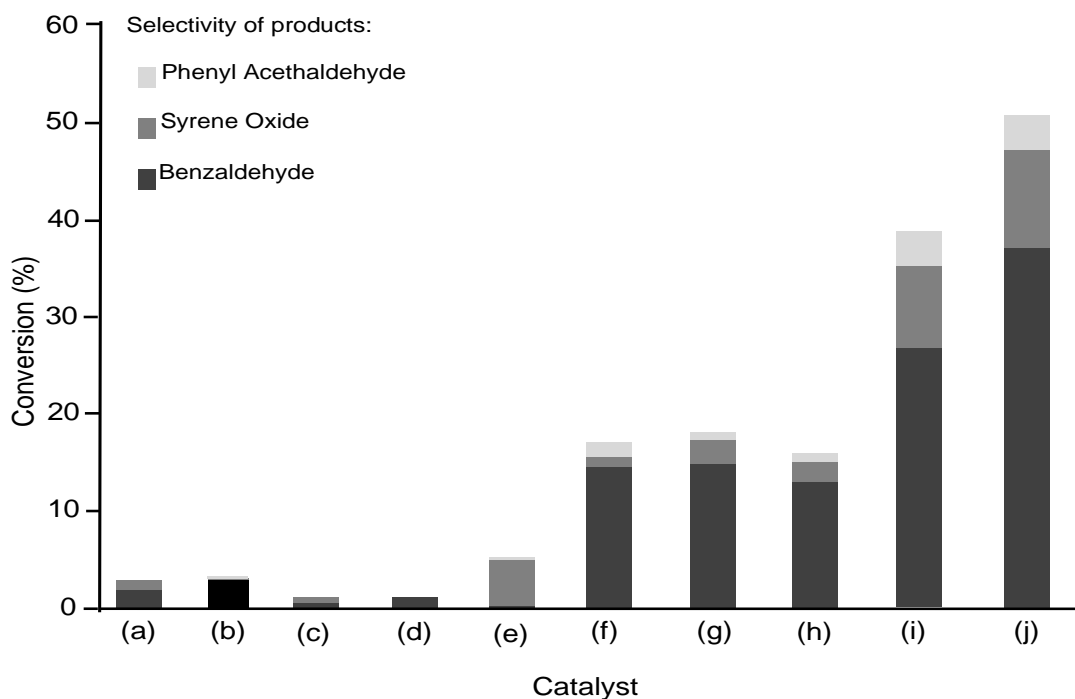
### 5. 3.2. Aktivitas Katalisis

Hasil oksidasi stirena dengan H<sub>2</sub>O<sub>2</sub> sebagai oksidan yang dikatalisis oleh TiO<sub>2</sub>, CFB500, SCFB500, TiO<sub>2</sub>(500)/CFB500, TiO<sub>2</sub>(500)/SCFB500, TiO<sub>2</sub>(500)/SCFB600, TiO<sub>2</sub>(500)/SCFB700, TiO<sub>2</sub>(1000)/ SCFB500 dan TiO<sub>2</sub>(1500)/SCFB500 dapat dilihat pada histogram Gambar 5 dan Tabel 3. Konversi styrene tanpa katalis, TiO<sub>2</sub>, CFB500, SCFB500, TiO<sub>2</sub>(500)/CFB500, TiO<sub>2</sub>(500)/SCFB500, TiO<sub>2</sub>(500)/SCFB600, TiO<sub>2</sub>(500)/SCFB700, TiO<sub>2</sub>(1000)/ SCFB500 dan TiO<sub>2</sub>(1500)/SCFB500 adalah 2,9; 3.2; 0,3; 0,2; 5,3; 17,1; 18,5; 16,0; 38,9 dan 51,1%, masing-masing. Peran pendukung katalis dapat dibuktikan dengan konversi stirena TiO<sub>2</sub>, CFB500, SCFB500, TiO<sub>2</sub>(500)/CFB500, dan TiO<sub>2</sub>(500)/SCFB500 sebagai katalis. Konversi stirena dari katalis logam (TiO<sub>2</sub>) dan katalis pendukung (CFB500, dan SCFB500) dalam oksidasi stirena menunjukkan aktivitas yang lebih rendah daripada titania yang didukung karbon tulang ikan (TiO<sub>2</sub>(500)/CFB500, dan TiO<sub>2</sub>(500)/SCFB500). Pengaruh proses sulfonasi pada pendukung katalis dapat ditunjukkan ketika TiO<sub>2</sub>(500)/CFB500, dan TiO<sub>2</sub>(500)/SCFB500 digunakan sebagai katalis. Proses sulfonasi menjadi pendukung katalis dapat meningkatkan konversi dan selektivitas stirena, yang dibuktikan dengan konversi stirena dan selektivitas terhadap TiO<sub>2</sub>(500)/SCFB500 masing-masing adalah 17,1% dan 86,0%; sedangkan TiO<sub>2</sub>(500)/CFB500 masing-masing hanya memberikan 5,3% dan 3,0%. Gugus sulfonat adalah gugus polar untuk adsorpsi H<sub>2</sub>O<sub>2</sub> sedangkan hidroksiapatit terkarbonisasi adalah gugus nonpolar untuk adsorpsi stirena. Dengan menurunkan resistensi perpindahan massa, titania (situs aktif katalitik) dapat

mengubah stirena menjadi benzaldehida setelah stirena dan H<sub>2</sub>O<sub>2</sub> teradsorpsi di dekatnya. Variasi temperatur karbonisasi pendukung katalis menunjukkan konversi katalitik yang serupa dalam penelitian ini, dibuktikan oleh TiO<sub>2</sub> (500)/SCFB500, TiO<sub>2</sub>(500)/SCFB600, dan TiO<sub>2</sub>(500)/SCFB700 masing-masing memberikan 17,1%, 18,5% dan 16%. Peningkatan luas permukaan yang tidak signifikan menghasilkan lebih sedikit impregnasi situs aktif titania ke permukaan pendukung. Pengaruh berbagai jumlah logam titanium yang diimpregnasi ke pendukung katalis dapat diselidiki berdasarkan konversi stirena ketika TiO<sub>2</sub>(500)/SCFB500, TiO<sub>2</sub>(1000)/SCFB500 dan TiO<sub>2</sub>(1500)/SCFB500 digunakan sebagai katalis. Peningkatan jumlah logam titanium sebagai situs aktif dari 500 menjadi 1500 mol dalam katalis dapat meningkatkan konversi stirena dari 17,1 menjadi 51,1%. Hasil ini sesuai dengan penelitian sebelumnya ketika oksidasi stirena dengan H<sub>2</sub>O<sub>2</sub> sebagai oksidan dikatalisis dengan batubara peringkat rendah tersulfonasi yang didukung titanium dioksida [19].

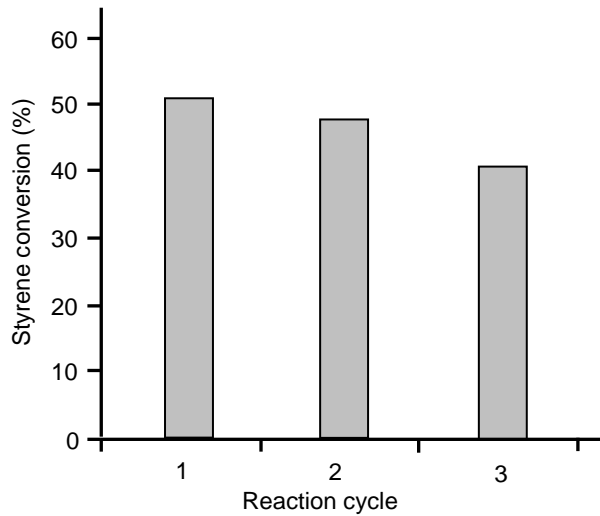
**Table 3** Aktivitas katalisis dari katalis dalam oksidasi stirena dengan 30% H<sub>2</sub>O<sub>2</sub> sebagai oksidant

Catalyst	Conversion <sup>a</sup> (%)	Selectivity <sup>b</sup> (%)			TON <sup>c</sup>
		Benzaldehyde	Phenyl acetaldehyde	Styrene oxide	
No catalyst	2.9	76	-	24	-
TiO <sub>2</sub>	3.2	88	5	7	0.320
CFB500	0.3	47	-	53	-
SCFB500	0.2	100	-	-	-
TiO <sub>2</sub> (500)/CFB500	5.3	3	5	92	0.530
TiO <sub>2</sub> (500)/SCFB500	17.1	86	10	4	1.710
TiO <sub>2</sub> (500)/SCFB600	18.5	82	5	13	1.820
TiO <sub>2</sub> (500)/SCFB700	16.0	81	5	14	1.600
TiO <sub>2</sub> (1000)/SCFB500	38.9	70	10	20	1.945
TiO <sub>2</sub> (1500)/SCFB500	51.1	73	20	7	1.703



**Gambar 5.** Comparison of catalytic performance of (a) no catalyst, (b)  $\text{TiO}_2$ , (c) CFB500, (d) SCFB500, (e)  $\text{TiO}_2(500)/\text{CFB}500$ , (f)  $\text{TiO}_2(500)/\text{SCFB}500$ , (g)  $\text{TiO}_2(500)/\text{SCFB}600$ , (h)  $\text{TiO}_2(500)/\text{SCFB}700$ , (i)  $\text{TiO}_2(1000)/\text{SCFB}500$  and (j)  $\text{TiO}_2(1500)/\text{SCFB}500$  catalysts in the oxidation of styrene (5 mmol), 30%  $\text{H}_2\text{O}_2$  (5 mmol) and catalyst (50 mg) at room temperature for 24 h.

Untuk memeriksa usabilitas dan stabilitas katalis yang telah dibuat, katalis  $\text{TiO}_2(1500)/\text{SCFB}500$  dipilih untuk penilaian. Katalis  $\text{TiO}_2(1500)/\text{SCFB}500$  diperoleh kembali dan didaur ulang untuk reaksi lebih lanjut. Katalis bekas dicuci dengan etanol dan kemudian disentrifugasi tiga kali dan dikeringkan pada suhu 110 °C dalam oven vakum semalam. Konversi stirena digunakan sebagai dasar untuk membandingkan setiap siklus reaksi. Seperti yang ditunjukkan pada Gambar 6, kita dapat melihat bahwa penurunan konversi stirena untuk masing-masing siklus reaksi pertama, kedua dan ketiga, yaitu 51,1, 48,4 dan 40,8%. Penurunan konversi stirena mungkin karena pelepasan fisik beberapa bubuk katalis selama pengadukan mekanis. Selain itu, penjelasan lain yang mungkin untuk penurunan aktivitas adalah melarutkan situs aktif titania ke dalam pelarut etanol selama proses pencucian. Selektivitas benzaldehida untuk siklus pertama, kedua, dan ketiga hampir sama, yaitu masing-masing 70,8, 70,1, dan 75,6%. Hal ini dikarenakan gugus sulfonat dari  $\text{TiO}_2(1500)/\text{SCFB}500$  masih dapat diakses untuk selektivitas benzaldehida yang tinggi.



**Gambar 6.** The reuse of TiO<sub>2</sub>(1500)/SCFB500 catalysts in the oxidation of styrene (5 mmol), 30% H<sub>2</sub>O<sub>2</sub> (5 mmol) and catalyst (100 mg) at room temperature for 24 h.

### 5. 3.3.Kinetic Model: the power-rate law

Percobaan kinetika seri oksidasi stirena oleh H<sub>2</sub>O<sub>2</sub> dilakukan pada beberapa variasi suhu (303, 313 and 323 K) dengan pelarut asetonitril. Model kinetic seperti hukum kekuatan laju digunakan untuk menjelaskan hasil ini. Hukum kekuatan laju dirumuskan [29, 30]:

$$r_i = -\frac{dc_i}{dt} = kK_1K_2[catalyst][Styrene][H_2O_2]^{1/2} \quad (1)$$

$$r_i = -\frac{d[c_0-x]}{dt} = kK_1K_2[catalyst][Styrene][H_2O_2]^{1/2} \quad (2)$$

$$r_i = \frac{dx}{dt} = kK_1K_2[catalyst][Styrene][H_2O_2]^{1/2} \quad (3)$$

dimana  $r_i$  adalah laju reaksi dari oksidasi stirena ( $\text{mol cm}^{-3}\text{s}^{-1}$ ),  $k$  adalah konstanta laju reaksi ( $\text{min}^{-1}$ );  $C_i$  adalah konsentrasi stirena setelah waktu oksidasi  $t$  ( $\text{mol cm}^{-3}$ );  $[\text{catalyst}]$  adalah konsentrasi katalis dari katalis TiO<sub>2</sub>(1500)/SCFB500 dan  $K_1$  dan  $K_2$  adalah konstanta kesetimbangan dari setiap tahap dalam skema ini.

Jika konsentrasi total katalis dinyatakan sebagai  $[\text{catalyst}]_T$  dan mempertimbangkan pendekatan keadaan tunak, yang mencakup konsentrasi semua spesies katalis antara, hukum laju daya dapat diberikan sebagai:

$$r_i = \frac{kK_1K_2[catalyst][Styrene][H_2O_2]^{1/2}}{1+K_1[H_2O_2]^{1/2}+K_1K_2[Styrene][H_2O_2]^{1/2}} \quad (4)$$

$$\frac{[Catalyst]_T}{r_i} = \frac{1+K_1[H_2O_2]^{1/2}+K_1K_2[Styrene][H_2O_2]^{1/2}}{kK_1K_2[Styrene][H_2O_2]^{1/2}} \quad (5)$$

$$\frac{[Catalyst]_T}{r_i} = \frac{1}{[Styrene]} \left\{ \frac{1}{kK_1K_2[H_2O_2]^{1/2}} + \frac{1}{kK_2} \right\} + \frac{1}{k} \quad (6)$$

Nilai konstanta laju k ditentukan dari intersep dari plot  $[catalyst]_T/r_i$  vs  $1/[styrene]$ .

Data kinetika yang diperoleh dari oksidasi stirena dengan  $H_2O_2$  sebagai oksidan pada  $TiO_2(1500)/SCFB500$  ditunjukkan pada Tabel 3. Berdasarkan hasil percobaan, oksidasi stirena pada katalis  $TiO_2(1500)/SCFB500$  mengikuti model reaksi orde satu dengan nilai konstanta laju (k) pada berbagai percobaan suhu 303, 313 dan 323 K berturut-turut adalah 0,000512, 0,00299 dan 0,00339 menit-1. Nilai konstanta laju dapat digunakan untuk memprediksi laju reaksi. Jika konstanta lajunya tinggi maka reaksi berlangsung cepat. Berdasarkan nilai konstanta laju dapat disimpulkan bahwa ketika suhu reaksi meningkat maka laju reaksi oksidasi stirena juga meningkat.

**Table 3** Kinetik orde satu dari reaksi oksidasi stirena dengan katalis TiO<sub>2</sub>(1500)/SCFB500

Temperatur (K)	x	Time (min)						Rate constant of First Order k (min <sup>-1</sup> )	Activation Energy Ea (kJ)
		0	30	60	120	180	240		
303	x	0	0.0063	0.0465	0.0083	01100	0.1118		
	C <sub>i</sub>	0.8944	0.8882	0.8479	0.8211	0.7844	0.7826	5.12 x 10 <sup>-4</sup>	
	$\frac{\partial x}{\partial t}$	0	2.08 x 10 <sup>-4</sup>	7.75 x 10 <sup>-4</sup>	6.93 x 10 <sup>-5</sup>	6.11 x 10 <sup>-4</sup>	4.66 x 10 <sup>-4</sup>		
313	x	0	0.0152	0.0814	0.1091	0.1368	0.1583		
	C <sub>i</sub>	0.8944	0.8792	0.8131	0.7853	0.7576	0.7361	2.99 x 10 <sup>-3</sup>	63.485
	$\frac{\partial x}{\partial t}$	0	5.07 x 10 <sup>-4</sup>	1.36 x 10 <sup>-3</sup>	9.09 x 10 <sup>-4</sup>	7.60 x 10 <sup>-4</sup>	6.59 x 10 <sup>-4</sup>		
323	x	0	0.0465	0.0733	0.0787	0.1234	0.1816		
	C <sub>i</sub>	0.8944	0.8479	0.8211	0.8157	0.7710	0.7129	3.39 x 10 <sup>-3</sup>	
	$\frac{\partial x}{\partial t}$	0	1.55 x 10 <sup>-3</sup>	1.22 x 10 <sup>-3</sup>	6.56 x 10 <sup>-4</sup>	6.86 x 10 <sup>-4</sup>	7.56 x 10 <sup>-4</sup>		

(condition: 5mmol styrene = 0.5806 mL; 5mmol H<sub>2</sub>O<sub>2</sub> = 0.5107 mL; Acetonitrile = 4.5 mL and catalyst = 100 mg)

Energi aktivasi (E) oksidasi stirena dengan H<sub>2</sub>O<sub>2</sub> sebagai oksidator pada TiO<sub>2</sub>(1500)/SCFB500 diselidiki dengan hukum Arrhenius yang persamaannya dapat ditulis sebagai [31]:

$$k = A e^{-\frac{E}{RT}} \quad (7)$$

dimana k, A dan  $e^{-\frac{E}{RT}}$  adalah konstanta laju, faktor frekuensi dan pernyataan Boltzmann untuk bagian dari sistem yang mempunyai energi E. Persamaan (7) dapat ditulis ulang menjadi:

$$\ln k = \ln A - \frac{E}{RT} \quad (8)$$

Plot antara  $\ln k$  terhadap  $1/T$  dengan kemiringan adalah  $-E/R$ , maka energi aktivasi dapat dihitung. Energi aktivasi dari reaksi oksidasi stirena dengan H<sub>2</sub>O<sub>2</sub> sebagai oksidan pada katalis TiO<sub>2</sub>(1500)/SCFB500 adalah 63.5 kJ.

Sangat menarik untuk membandingkan energi aktivasi tulang ikan turunan karbon titania tersulfonasi dengan hasil penelitian lain. Secara umum, energi aktivasi reaksi kimia dengan adanya katalis padat dalam oksidasi fase cair stirena dengan hidrogen peroksida berada pada kisaran 20-80 kJ [32]. Hasil yang diperoleh dalam pekerjaan penelitian ini sesuai dengan hasil ini, menunjukkan bahwa bahan tulang ikan yang diturunkan dari karbon berbiaya rendah dapat digunakan sebagai katalis.

### 5. 3. Kesimpulan

Tulang ikan turunan karbon Titania sebagai katalis dalam oksidasi stirena dengan hidrogen peroksida berair sebagai oksidan telah ditunjukkan dalam penelitian ini. Sulfonasi dengan H<sub>2</sub>SO<sub>4</sub> (1 M) dapat mengubah bentuk partikulat CFB500 menjadi bentuk kubus SCFB500. Terlepas dari luas permukaan TiO<sub>2</sub>/SCBF yang lebih kecil, proses sulfonasi meningkatkan konversi stirena dan memberikan selektivitas yang tinggi terhadap benzaldehida. Hal ini menunjukkan bahwa luas permukaan bukan merupakan penentu dalam reaksi katalitik ini. Impregnasi titania (TiO<sub>2</sub>) ke tulang ikan yang diturunkan karbon dapat mengubah sifat fisik dan aktivitas katalitik. Perubahan sifat fisis terutama dapat dilihat dari karakterisasi XRD. Produk oksidasi stirena dengan H<sub>2</sub>O<sub>2</sub> sebagai oksidan didominasi oleh benzaldehida. Aktivitas

katalitik tidak dipengaruhi oleh karbon yang dihasilkan pada variasi temperatur 500, 600 dan 700 C sebagai pendukung katalis titania. Hal ini dibuktikan dengan konversi styrene seperti 17,1; 18,5 dan 16% ketika  $\text{TiO}_2(500)/\text{SCFB}500$ ,  $\text{TiO}_2(500)/\text{SCFB}600$  dan  $\text{TiO}_2(500)/\text{SCFB}700$  digunakan sebagai katalis. Banyaknya titania yang terimpregnasi pada karbon dapat mempengaruhi aktivitas katalitik pada oksidasi stirena dengan  $\text{H}_2\text{O}_2$  sebagai oksidator. Pengaruh jumlah titania dapat dibuktikan dengan peningkatan konversi stirena dari 17,1 menjadi 51,1% ketika  $\text{TiO}_2(500)/\text{SCFB}500$ ,  $\text{TiO}_2(1000)/\text{SCFB}500$  dan  $\text{TiO}_2(1500)/\text{SCFB}500$  digunakan sebagai katalis. Kinetika oksidasi stirena oleh  $\text{H}_2\text{O}_2$  sebagai oksidator mengikuti orde pertama dengan konstanta laju 0,000512, 0,00299 dan 0,00339 menit<sup>-1</sup>. Kenaikan suhu reaksi dapat menyebabkan laju reaksi meningkat, terbukti ketika suhu reaksi meningkat dari 303 menjadi 323 K, nilai konstanta laju berubah dari 0,000512 dan 0,00339 menit<sup>-1</sup>. Energi aktivasi yang menyertai reaksi oksidasi stirena pada  $\text{TiO}_2(1500)/\text{SCFB}500$  adalah 63,5 kJ.

## Pustaka

1. A. Aberkouks, Ayoub Abdelkader Mekkaoui , B. Boualy, et al., *Selective oxidation of styrene to benzaldehyde by Co-Ag codoped ZnO catalyst and H<sub>2</sub>O<sub>2</sub> as oxidant*. Advances in Materials Science and Engineering, 2018. **2018**: p. 7.
2. B. Qi, X.H. Lu, D. Zhou, et al., *Catalytic epoxidation of alkenes with 30% H<sub>2</sub>O<sub>2</sub> over Mn<sup>2+</sup>-exchanged zeolites*. J. Mol.Catal. A: Chem., 2010. **322**(1–2): p. 73-79.
3. W. Zhan, Y. Guo, Y. Wang, et al., *Study of higher selectivity to styrene oxide in the epoxidation of styrene with hydrogen peroxide over La-doped MCM-48 catalyst*. J. Phys.Chem.C, 2009. **113**(17): p. 7181-7185.
4. M. Nurhadi, R. Kusumawardani, T. Wirawan, et al., *Catalytic performance of TiO<sub>2</sub>-carbon mesoporous-derived from fish bones in styrene oxidation with aqueous hydrogen peroxide as an oxidant*. Bulletin of Chemical Reaction Engineering & Catalysis, 2021. **16**(1): p. 88-96.
5. L. Liu, W. He, Z. Fang, et al., *From core-shell to yolk-shell: Improved catalytic performance toward CoFe<sub>2</sub>O<sub>4</sub>@ hollow@ mesoporous TiO<sub>2</sub> toward selective oxidation of styrene*. Industrial & Engineering Chemistry Research, 2020. **59**(45): p. 19938-19951.

6. B. Sakthivel, D.S.R. Josephine, K. Sethuraman, et al., *Oxidation of styrene using TiO<sub>2</sub>-graphene oxide composite as solid heterogeneous catalyst with hydroperoxide as oxidant*. Catalysis Communications, 2018. **108**: p. 41-45.
7. M. Nurhadi, S. Chandren, L.S. Yuan, et al., *Titania-loaded coal char as catalyst in oxidation of styrene with aqueous hydrogen peroxide*. International Journal of Chemical Reactor Engineering, 2017: p. 1-11.
8. M. Nurhadi, *Modification of coal char-loaded TiO<sub>2</sub> by sulfonation and alkylsilylation to enhance catalytic activity in styrene oxidation with hydrogen peroxide as oxidant*. Bulletin of Chemical Reaction Engineering & Catalysis, 2017. **12**(1): p. 55-61.
9. D. Milovac, I. Weigand, M. Kovačić, et al., *Highly porous hydroxyapatite derived from cuttlefish bone as TiO<sub>2</sub> catalyst support*. Processing and Application of Ceramics 2018. **12**(2): p. 136-142.
10. G.L. Puma, A. Bono, D. Krishnaiah, et al., *Preparation of titanium dioxide photocatalyst loaded onto activated carbon support using chemical vapor deposition: A review paper*. Journal of Hazardous Materials, 2008. **157**: p. 209-219.
11. S. Ito, Y. Kon, T. Nakashima, et al., *Titania-Catalyzed H<sub>2</sub>O<sub>2</sub> thermal oxidation of styrenes to aldehydes*. Molecules 2019. **24**(2520): p. 1-9.
12. M. Nurhadi, S. Chandren, L.S. Yuan, et al., *Titania-loaded coal char as catalyst in oxidation of styrene with aqueous hydrogen peroxide*. International Journal of Chemical Reactor Engineering, 2017. **15**(1): p. 45-55.
13. M. Nurhadi, *Modification of coal char-loaded TiO<sub>2</sub> by sulfonation and alkylsilylation to enhance catalytic activity in styrene oxidation with hydrogen peroxide as oxidant*. Bulletin of Chemical Reaction Engineering and Catalysis, 2017. **12**(1): p. 55-61.
14. S. Lubis, *Porous carbon-coated titania prepared by in-situ polymerization of styrene and its catalytic and photocatalytic activities oxidation of alkenes*, in *Doctor Philosophy*. 2013, Universiti Teknologi Malaysia: Skudai.
15. J. Zhuang, G. Yang, D. Ma, et al., *In situ magnetic resonance investigation of styrene oxidation over TS-1 zeolite*. Angewandte Chemie International Edition, 2004. **43**(46): p. 6377-6381.
16. K. Lin, P.P. Pescarmona, K. Houthoofd, et al., *Direct room-temperature synthesis of methyl-functionalized Ti-MCM-41 nanoparticles and their catalytic performance in epoxidation*. Journal of Catalysis, 2009. **263**(1): p. 75-82.

17. A. Modak, M. Nandi, and A. Bhaumik, *Titanium containing periodic mesoporous organosilica as an efficient catalyst for the epoxidation of alkenes*. Catalysis Today, 2012. **198**(1): p. 45-51.
18. V. Parvulescu, C. Anastasescu, C. Constantin, et al., *Mono (V, Nb) or bimetallic (V–Ti, Nb–Ti) ions modified MCM-41 catalysts: synthesis, characterization and catalysis in oxidation of hydrocarbons (aromatics and alcohols)*. Catalysis Today, 2003. **78**(1–4): p. 477-485.
19. M. Nurhadi, J. Efendi, L.S. Ling, et al., *Titanium dioxide-supported sulfonated low rank coal as catalysts in the oxidation of styrene with aqueous hydrogen peroxide*. Jurnal Teknologi, 2014. **69**(5): p. 71-79.
20. Pep-Mat, *Indonesia is maritime country with the world's largest islands*, in *Jabarprov*. 2017: Bandung, Indonesia.
21. *Fishery and aquaculture country profiles: The Republic of Indonesia*. 2014.
22. D. Halim and Juanri, *Indonesia's aquaculture industry: Key sectors for future growth*. 2016. p. 1-11.
23. D. Coppola, C. Lauritano, F.P. Esposito, et al., *Fish waste: From problem to valuable resource*. Marine Drugs, 2021. **19**: p. 116.
24. C. Chinglenthoba, A. Das, and S. Vandana, *Enhanced biodiesel production from waste cooking palm oil, with NaOH-loaded Calcined fish bones as the catalyst*. Environmental Science and Pollution Research, 2020. **27**(13): p. 15925-15930.
25. I.S.A. Manaf, C.J. Yi, M.H.A. Rahim, et al., *Utilization of waste fish bone as catalyst in transesterification of RBD palm oil*. Materials Today: Proceedings, 2019. **19**: p. 1294–1302.
26. P.A. Jeremiah, A.A. Jalil, and M.A. Olutoye, *Heterogeneous catalyst application in biodiesel production: Needs to focus on cost effective and reusable catalysts*. IOP Conf. Series: Materials Science and Engineering, 2019. **808**: p. 012013.
27. N.E. Poh, H. Nur, M.N.M. Muhid, et al., *Sulphated AlMCM-41: Mesoporous solid Brønsted acid catalyst for dibenzoylation of biphenyl*. Catal. Today, 2006. **114**(2–3): p. 257-262.
28. L. Peng, A. Philippaerts, X. Ke, et al., *Preparation of sulfonated ordered mesoporous carbon and its use for the esterification of fatty acids*. Catal. Today, 2010. **150**(1–2): p. 140-146.

29. J. Pei, X. Han, and Y. Lu, *Performance and kinetics of catalytic oxidation of formaldehyde over copper manganese oxide catalyst*. Building and Environment 2015. **84**: p. 134-141.
30. T.K. Tseng and H. Chu, *The kinetics of catalytic incineration of styrene over a MnO/Fe<sub>2</sub>O<sub>3</sub> catalyst*. The Science of the Total Environment, 2001. **275** p. 83-93.
31. K.J. Laidler, *Chemical kinetics*. Second Edition ed. 1988, New Delhi: Tata McGraw-Hill Publishing Company Ltd.
32. H.M. Alimardanov, F.M. Veliyeva, N.I. Garibov, E.S. Musayeva, Kinetic relationships of liquid-phase oxidation of styrene with hydrogen peroxide in the presence of polyoxotungstate modified with cerium cations, Russian Journal of Applied Chemistry, 2020. **93** p. 729–740.



## Research Article

# Catalytic Performance of TiO<sub>2</sub>-Carbon Mesoporous-Derived from Fish Bones in Styrene Oxidation with Aqueous Hydrogen Peroxide as an Oxidant

Mukhamad Nurhadi<sup>1,\*), Ratna Kusumawardani<sup>1</sup>, Teguh Wirawan<sup>2</sup>, S. Sumari<sup>3</sup>, Sin Yuan Lai<sup>4</sup>, Hadi Nur<sup>5,6</sup></sup>

<sup>1</sup>Department of Chemical Education, Universitas Mulawarman, Kampus Gunung Kelua, Samarinda, 75119, East Kalimantan, Indonesia.

<sup>2</sup>Chemistry Department, Universitas Mulawarman, Kampus Gunung Kelua, Samarinda, 75119, East Kalimantan, Indonesia.

<sup>3</sup>Chemistry Department, Universitas Negeri Malang, Jl Semarang 5, Malang, 65145, Indonesia.

<sup>4</sup>School of Energy and Chemical Engineering, Xiamen University Malaysia, Selangor Darul Ehsan 43900, Malaysia and College of Chemistry and Chemical Engineering, Xiamen University, Xiamen 361005, China.

<sup>5</sup>Center for Sustainable Nanomaterials, Ibnu Sina Institute for Scientific and Industrial Research, Universiti Teknologi Malaysia, Johor Bahru, 81310, Malaysia.

<sup>6</sup>Central Laboratory of Minerals and Advanced Materials, Faculty of Mathematics and Natural Sciences, State University of Malang, Indonesia.

Received: 10<sup>th</sup> December 2020; Revised: 3<sup>rd</sup> February 2021; Accepted: 4<sup>th</sup> February 2021

Available online: 25<sup>th</sup> February 2021; Published regularly: March 2021



## Abstract

The catalytic performance of titania-supported carbon mesoporous-derived from fish bones (TiO<sub>2</sub>/CFB) has been investigated in styrene oxidation with aqueous H<sub>2</sub>O<sub>2</sub>. The preparation steps of (TiO<sub>2</sub>/CFB) catalyst involved the carbonization of fish bones powder at 500 °C for 2 h. followed by impregnation of titania using titanium(IV) iso-propoxide (500 µmol) precursor, and calcined at 350 °C for 3 h. The physical properties of the adsorbents were characterized using Fourier transform infrared, X-ray diffraction (XRD), Scanning electron microscopy with energy dispersive X-ray (SEM-EDX), and nitrogen adsorption-desorption studies. The catalytic test was carried out using styrene oxidation with H<sub>2</sub>O<sub>2</sub> as an oxidant at room temperature for 24 h. Its catalytic activity was compared with Fe<sub>2</sub>O<sub>3</sub>/CFB, CuO/CFB, TiO<sub>2</sub>, and CFB catalysts. It is demonstrated that the catalytic activity of TiO<sub>2</sub>/CFB catalyst has the highest compared to Fe<sub>2</sub>O<sub>3</sub>/CFB, CuO/CFB, TiO<sub>2</sub>, and CFB catalysts in the oxidation of styrene with styrene conversion ~23% and benzaldehyde selectivity ~90%. Kinetics of TiO<sub>2</sub>/CFB catalyzed oxidation of styrene has been investigated and mechanism for oxidation of styrene has been proposed.

Copyright © 2021 by Authors, Published by BCREC Group. This is an open access article under the CC BY-SA License (<https://creativecommons.org/licenses/by-sa/4.0>).

**Keywords:** Titania; Fish bones; Carbon; Oxidation; Styrene; Hydrogen peroxide

**How to Cite:** M. Nurhadi, R. Kusumawardani, T. Wirawan, S. Sumari, S.Y. Lai, H. Nur (2021). Catalytic Performance of TiO<sub>2</sub>-Carbon Mesoporous-Derived from Fish Bones in Styrene Oxidation with Aqueous Hydrogen Peroxide as an Oxidant. *Bulletin of Chemical Reaction Engineering & Catalysis*, 16(1), 88-96  
(doi:10.9767/bcrec.16.1.9729.88-96)

**Permalink/DOI:** <https://doi.org/10.9767/bcrec.16.1.9729.88-96>

## 1. Introduction

Styrene oxidation is one of the vital reactions in the oxidation of olefin for the production of

various fine chemicals, such as: benzaldehyde, phenyl acetaldehyde, and styrene epoxide. Benzaldehyde produced in this reaction has attracted interest due to this compound is used for the production of perfumes, pharmaceuticals, and agrochemicals [1]. Oxidation styrene with hydrogen peroxide as an oxidant is highly

\* Corresponding Author.

Email: nurhadi1969@yahoo.co.id (M. Nurhadi);  
Telp.: +62 81346482251; Fax: +62 541 743929

advocated, because it is bestowed with advantages, such as: an environmentally friendly, high atom economy, and only water as the by-product. Many heterogeneous catalysts have been developed to increase yield product in styrene oxidation with H<sub>2</sub>O<sub>2</sub>. Multifarious efforts have been taken, including metal-supported mesoporous materials [2–6], metal-supported carbon material [7,8] and single-component metal oxides such as Fe<sub>2</sub>O<sub>3</sub> [9] and Fe<sub>3</sub>O<sub>4</sub> [10]. However, those catalysts, in general, involve complicated preparation methods, high production costs, and environmentally unfriendly.

Titanium dioxide (TiO<sub>2</sub>) or titania is a very well-researched materials catalysts that exhibit high efficiency in the oxidation reaction due to the stability of its chemical structure, biocompatibility, physical, optical and electrical properties. In nature, titania can be found in four polymorphs minerals form such as rutile, anatase, and brookite and titanium dioxide (B) or TiO<sub>2</sub>(B) [11,12]. Anatase and rutile were commonly used in the oxidation reaction due to commercial availability, large amounts of reactive oxygen species like hydroxyl (·OH) radicals, hydroperoxy radicals (·OOH) and superoxide (·O<sub>2</sub><sup>-</sup>) radical anion onto TiO<sub>2</sub> surface [1]. However, titania has low product yields if it is used without supported by catalyst support [13,14].

A support or a carrier is the inert substance that spreading out an expensive catalyst ingredient for its most effective use, expressly, the supports allow catalysts deposition or distribution homogeneously onto their surface, thus maximizing the number of catalytic active sites for reactions. Carbon can be considered as the potential catalyst supports, which can be used for catalyst reaction, but the support itself is nonreactive [6]. Waste from fish bones can be used as a particular alternative precursor for producing mesoporous carbon with a straightforward method [15].

Herein, we have developed a heterogeneous oxidation catalyst, a combination of titania as an active catalytic site and carbon mesoporous-derived fishbone as catalyst support. This catalyst system, titania supported carbon mesoporous-derived fishbone, has advantages such as cheaper, non-toxic, and environmentally friendly. The catalytic performance of this system was compared to the other transition metals supported carbon derived fish bones such as iron (Fe<sub>2</sub>O<sub>3</sub>) and copper. The oxidation styrene with aqueous H<sub>2</sub>O<sub>2</sub> as an oxidant was used as a model reaction.

## 2. Materials and Methods

### 2.1 Carbonization Process

The waste of fish bones was collected from many food companies around Samarinda, East Kalimantan, Indonesia. The fish bone was washed with boiling water to remove impurities. Then, it was dried in the oven at 110 °C overnight. The dried fish bone was crushed to powder and carbonized in a furnace at 500 °C for 2 h. The carbon-derived from fish bone is labeled as CFB.

### 2.2 Titania Impregnation

One gram CFB was immersed in 10 mL toluene (Merck) that containing titanium(IV) isopropoxide (500 µmol, Sigma Aldrich) and stirred until all of the toluene solvent completely evaporated. The sample was washed with ethanol (Merck) to remove the residual toluene and subsequently dried at 110 °C overnight. Then the sample was calcined at 350 °C for 2 h. The carbon of fish bone, which has been impregnated was labeled as TiO<sub>2</sub>/CFB. As a comparison, 1 g samples were impregnated by copper nitrate trihydrate (500 µmol, 10 mL, Merck) and Iron (III) nitrate nonahydrate (500 µmol, 10 mL, Sigma Aldrich). Furthermore, both samples were calcined at 350 °C for 2 h, and the catalysts were notated as CuO/CFB and Fe<sub>2</sub>O<sub>3</sub>/CFB.

### 2.3 Catalysts Characterizations

The functional groups in the catalyst were identified by using the FTIR spectrometer (IR-Prestige-21 Shimadzu). The XRD (Phillips PANalytical X'Pert PRO type was used to investigate the crystallinity and phase content of the catalyst with the Cu K<sub>a</sub> ( $\lambda = 1.5406 \text{ \AA}$ ) radiation and range of 2θ (°) from 7 to 60. The surface morphology of the catalyst was investigated by using SEM images obtained from a FEI Inspect S50 instrument. The surface area, pore-volume, and pore size distribution were determined by nitrogen adsorption-desorption isotherms that were created from the data collected from a Quantachrome nova 1200e instrument.

### 2.4 Catalytic Activity Test

Catalytic activity of the catalysts was carried by styrene (Merck) oxidation reaction with aqueous hydrogen peroxide (H<sub>2</sub>O<sub>2</sub> 30%, Merck) as an oxidant. The catalytic reactions were carried out with a similar procedure reported pre-

viously [13,14,16]. All reactions were performed with mixing styrene (5 mmol), 30 % aqueous H<sub>2</sub>O<sub>2</sub> (5 mmol), acetonitrile (4.5 mL), and catalyst (50 mg) with stirring for 24 h at room temperature. The GC-2014 Shimadzu was used to analyze the product of the reaction.

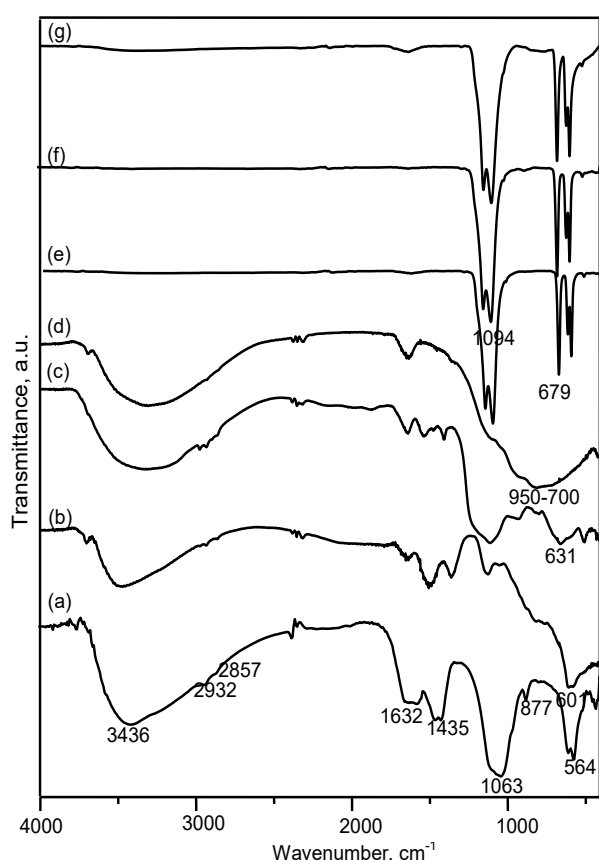
### 3. Results and Discussions

#### 3.1 Physical Properties of Catalysts

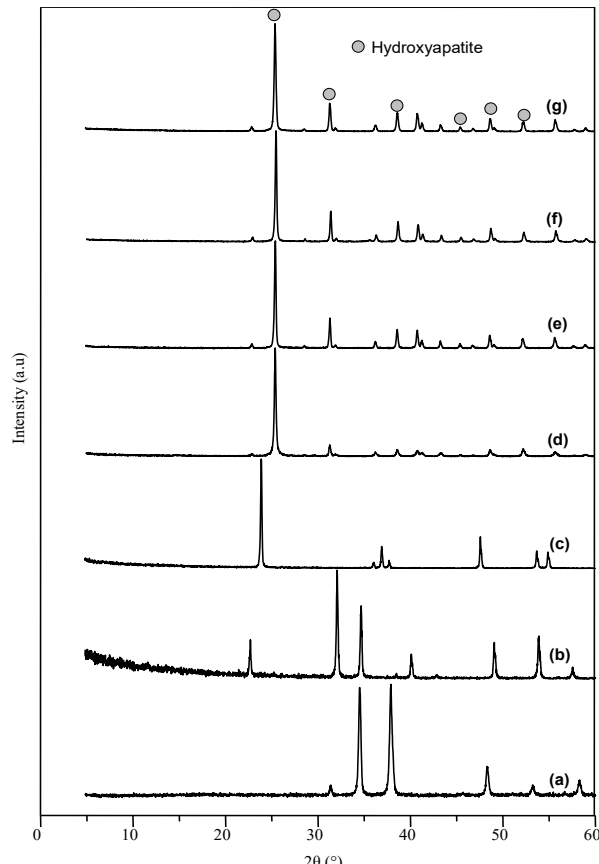
Figure 1 shows the FTIR spectra of (a) CFB, (b) CuO, (c) Fe<sub>2</sub>O<sub>3</sub>, (d) TiO<sub>2</sub>, (e) Fe<sub>2</sub>O<sub>3</sub>/CFB, (f) CuO/CFB and (g) TiO<sub>2</sub>/CFB. The IR spectra of CFB show the absorption peaks at 3436 cm<sup>-1</sup>, and 1632 cm<sup>-1</sup> which indicating the O-H stretching. The C-O stretching vibration, which correlated to carbonate ion (CO<sub>3</sub><sup>2-</sup>) substitution in the crystal lattice, was investigated by the absorption bands at 1435 cm<sup>-1</sup> and 877 cm<sup>-1</sup> [17,18]. The absorption bands at 1063 cm<sup>-1</sup> and 564 cm<sup>-1</sup> are assigned to the P-O stretching vibration in phosphate ion (PO<sub>4</sub><sup>3-</sup>) groups [17,18]. The appearance of carbonate ion (CO<sub>3</sub><sup>2-</sup>) and phosphate ion (PO<sub>4</sub><sup>3-</sup>) groups are the evidence of the presence of hydroxyapatite.

In the Fe<sub>2</sub>O<sub>3</sub>/CFB, CuO/CFB, and TiO<sub>2</sub>/CFB catalysts, hydroxyapatite was assigned by the absorption band 1094 cm<sup>-1</sup> and 591 cm<sup>-1</sup>, which indicated the P-O stretching vibration in phosphate ion (PO<sub>4</sub><sup>3-</sup>) groups. The O-H stretching was investigated by the absorption band at 672 cm<sup>-1</sup>. After the impregnation of metal (Fe, Cu, Ti) and followed by the calcination process, the absorption band at 3436 cm<sup>-1</sup> [17,18], which indicated as O-H stretching, was drastically decreasing. The IR spectra of (b) CuO, (c) Fe<sub>2</sub>O<sub>3</sub> and (d) TiO<sub>2</sub> were used to identify Cu, Fe and Ti in the samples. The metals of Cu and Fe can be identified by Cu-O and Fe-O vibration with absorption peaks at 601 and 631 cm<sup>-1</sup>, respectively. The existence of Ti framework was investigated by Ti-O vibration with an absorption broad peak at 700–950 cm<sup>-1</sup>. The metals of Cu, Fe, and Ti are no detected in the IR spectra 1 (e-g) due to the amount of metal that impregnated so small.

The XRD pattern in Figure 2 illustrates that the crystallinity of (a) CuO, (b) Fe<sub>2</sub>O<sub>3</sub>, (c) TiO<sub>2</sub>, (d) CFB, (e) Fe<sub>2</sub>O<sub>3</sub>/CFB, (f) CuO/CFB,



**Figure 1.** FTIR spectra of (a) CFB, (b) CuO, (c) Fe<sub>2</sub>O<sub>3</sub>, (d) TiO<sub>2</sub>, (e) Fe<sub>2</sub>O<sub>3</sub>/CFB, (f) CuO/CFB and (g) TiO<sub>2</sub>/CFB.

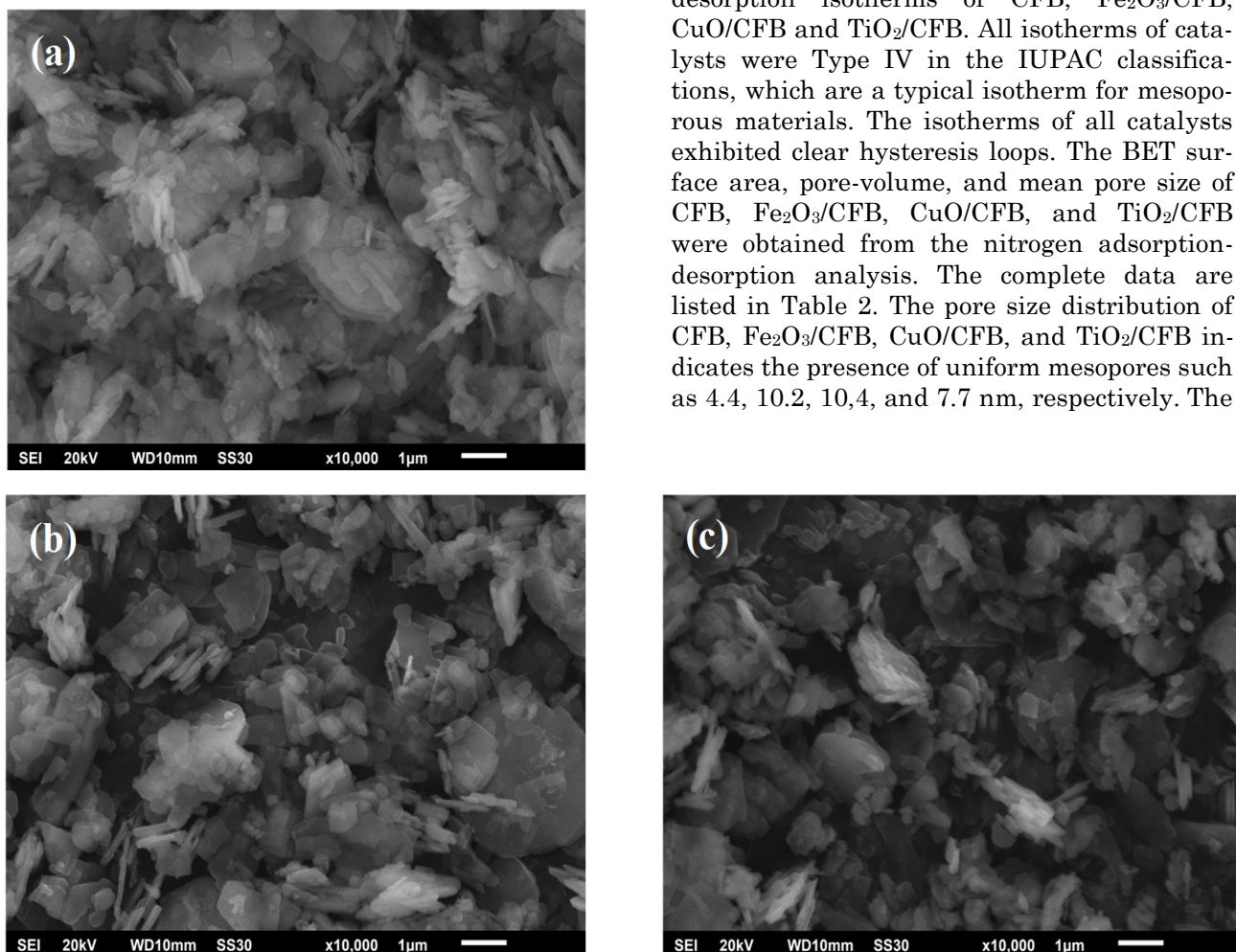


**Figure 2.** XRD pattern of (a) CuO, (b) Fe<sub>2</sub>O<sub>3</sub>, (c) TiO<sub>2</sub>, (d) CFB, (e) Fe<sub>2</sub>O<sub>3</sub>/CFB, (f) CuO/CFB and (g) TiO<sub>2</sub>/CFB.

and (g)  $\text{TiO}_2/\text{CFB}$  catalysts. The CFB shows the low crystallinity, but otherwise, the high crystallinity was shown by  $\text{Fe}_2\text{O}_3/\text{CFB}$ ,  $\text{CuO}/\text{CFB}$  and  $\text{TiO}_2/\text{CFB}$  catalysts. Based on JCPDS 0760694, all catalysts contain hydroxyapatite, which proven by the diffraction peaks at  $2\theta = 25.9$ , 31.8, 46.8, 49.6, and 53.4. Based on JCPDS number 00-004-0477, the dominant diffraction peaks should be appeared at  $2\theta = 33.5$  and 35.6 for  $\text{Fe}_2\text{O}_3$ ; 35.5 and 38.9 for  $\text{CuO}$  and

25.2, 37.7 and 47.9 for  $\text{TiO}_2$ , but it did not appear in Figure 2 (e-g) due to its amount was very small (500  $\mu\text{mol}$ ).

The SEM images of  $\text{Fe}_2\text{O}_3/\text{CFB}$ ,  $\text{CuO}/\text{CFB}$ , and  $\text{TiO}_2/\text{CFB}$  catalysts are exhibited in Figure 3. All the catalysts have rough surface morphology. The EDX results (Table 1) depict that all catalysts were dominated by many elements such as C, O, S, and Ca. The presence of Fe, Ti, and Cu are clearly observed in the EDX results. Figure 4 shows nitrogen adsorption-desorption isotherms of CFB,  $\text{Fe}_2\text{O}_3/\text{CFB}$ ,  $\text{CuO}/\text{CFB}$  and  $\text{TiO}_2/\text{CFB}$ . All isotherms of catalysts were Type IV in the IUPAC classifications, which are a typical isotherm for mesoporous materials. The isotherms of all catalysts exhibited clear hysteresis loops. The BET surface area, pore-volume, and mean pore size of CFB,  $\text{Fe}_2\text{O}_3/\text{CFB}$ ,  $\text{CuO}/\text{CFB}$ , and  $\text{TiO}_2/\text{CFB}$  were obtained from the nitrogen adsorption-desorption analysis. The complete data are listed in Table 2. The pore size distribution of CFB,  $\text{Fe}_2\text{O}_3/\text{CFB}$ ,  $\text{CuO}/\text{CFB}$ , and  $\text{TiO}_2/\text{CFB}$  indicates the presence of uniform mesopores such as 4.4, 10.2, 10.4, and 7.7 nm, respectively. The



**Figure 3.** SEM images of (a)  $\text{Fe}_2\text{O}_3/\text{CFB}$ , (b)  $\text{CuO}/\text{CFB}$  and (c)  $\text{TiO}_2/\text{CFB}$ .

**Table 1.** Physical properties of SEM EDX of the catalysts.

Element	Wt%		
	$\text{Fe}_2\text{O}_3/\text{CFB}$	$\text{CuO}/\text{CFB}$	$\text{TiO}_2/\text{CFB}$
C	11.55	39.39	51.58
O	52.99	45.26	40.76
S	16.06	5.80	3.16
Ca	17.08	6.07	3.47
Ti	-	-	0.42
Fe	1.43	0.02	0.02
Cu	0.85	2.23	0.59
Zn	-	0.67	-
Zr	-	0.54	-

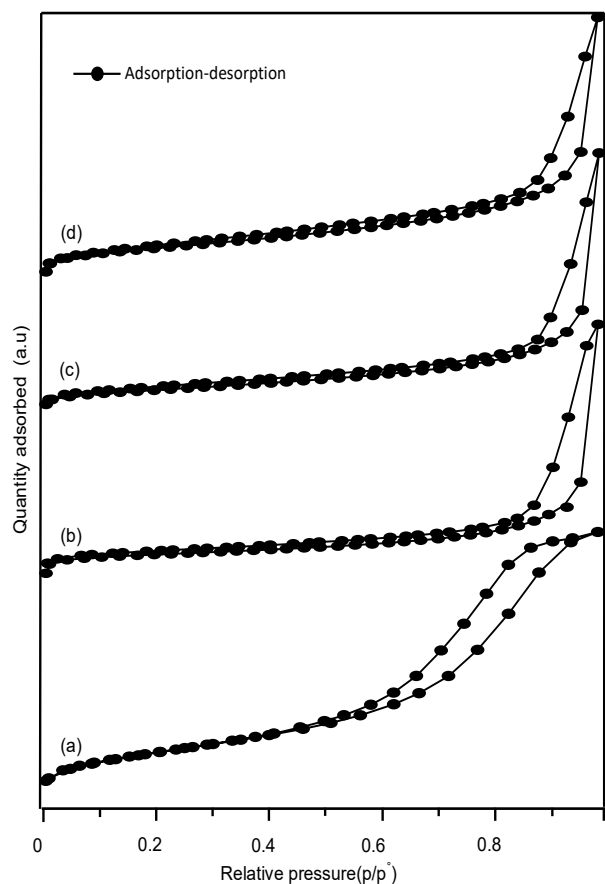
BET surface area and pore volume showed the following values:  $158.8 \text{ m}^2\cdot\text{g}^{-1}$ ,  $0.350 \text{ cm}^3\cdot\text{g}^{-1}$  for CFB;  $7.610 \text{ m}^2\cdot\text{g}^{-1}$ ,  $0.039 \text{ cm}^3\cdot\text{g}^{-1}$  for  $\text{Fe}_2\text{O}_3/\text{CFB}$ ;  $7.337 \text{ m}^2\cdot\text{g}^{-1}$ ,  $0.038 \text{ cm}^3\cdot\text{g}^{-1}$  for  $\text{CuO}/\text{CFB}$  and  $13.790 \text{ m}^2\cdot\text{g}^{-1}$ ,  $0.053 \text{ cm}^3\cdot\text{g}^{-1}$  for  $\text{TiO}_2/\text{CFB}$ , respectively. The complete data were shown in Table 2. It can be seen that the BET surface area and pore volume drastically decrease when CFB was modified to be catalysts by the impregnation process.

### 3.2. Catalytic Activity of Catalysts

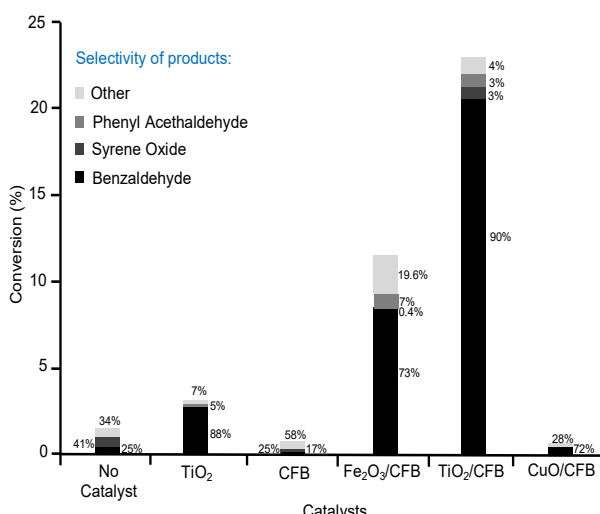
The histogram of product yields from styrene oxidation with  $\text{H}_2\text{O}_2$  as oxidant catalyzed by  $\text{TiO}_2$ , CFB,  $\text{Fe}_2\text{O}_3/\text{CFB}$ ,  $\text{CuO}/\text{CFB}$ , and  $\text{TiO}_2/\text{CFB}$  catalysts are shown in Figure 5. The styrene conversion over blank (without cata-

lyst),  $\text{TiO}_2$ , CFB,  $\text{Fe}_2\text{O}_3/\text{CFB}$ ,  $\text{CuO}/\text{CFB}$  and  $\text{TiO}_2/\text{CFB}$  catalysts are 1.43; 3.16; 0.41; 11.59; 0.49 and 22.99%, respectively. If compared to  $\text{TiO}_2$  and CFB catalysts, the catalytic performance of  $\text{Fe}_2\text{O}_3/\text{CFB}$  ( $\text{TON} = 23.18$ ) and  $\text{TiO}_2/\text{CFB}$  ( $\text{TON} = 45.98$ ) catalysts are better than the others.

Titania and iron oxide on the surface of CFB was found as a suitable catalytic active site for the oxidation of styrene with aqueous  $\text{H}_2\text{O}_2$  as an oxidant. Otherwise, the catalytic performance of  $\text{CuO}/\text{CFB}$  is lower than  $\text{TiO}_2$  and almost the same with CFB catalyst support. It proves that the copper oxide was not active in the styrene oxidation with  $\text{H}_2\text{O}_2$  as an oxidant. This might due to the  $\text{H}_2\text{O}_2$  has adsorbed onto the catalytic surface of  $\text{CuO}/\text{CFB}$  but slow in  $\text{H}_2\text{O}_2$  decomposition to form  $\cdot\text{OH}$  radicals [19–21]. It is demonstrated that, based on product conversion, the  $\text{TiO}_2/\text{CFB}$  catalyst is the best compared to the others. One considers that the  $\text{Ti}^{4+}$  in  $\text{TiO}_2/\text{CFB}$  catalyst has a higher amount of the electron vacancies in  $d$  orbital compared to  $\text{Fe}^{3+}$  and  $\text{Cu}^{2+}$ . So,  $\text{Ti}^{4+}$  ions in  $\text{TiO}_2/\text{CFB}$  catalyst can provide a large concentration of low energy electronic states and elec-



**Figure 4.** The physisorption isotherms of (a) CFB, (b)  $\text{Fe}_2\text{O}_3/\text{CFB}$ , (c)  $\text{CuO}/\text{CFB}$  and (d)  $\text{TiO}_2/\text{CFB}$ .



**Figure 5.** Comparison of catalytic performance of no catalyst,  $\text{TiO}_2$ , CFB,  $\text{Fe}_2\text{O}_3/\text{CFB}$ ,  $\text{TiO}_2/\text{CFB}$  and  $\text{CuO}/\text{CFB}$  catalysts in the oxidation of styrene (5 mmol), 30%  $\text{H}_2\text{O}_2$  (5 mmol) and catalyst (50 mg) at room temperature for 24 h.

**Table 2.** Physical properties of CFB,  $\text{Fe}_2\text{O}_3/\text{CFB}$ ,  $\text{CuO}/\text{CFB}$  and  $\text{TiO}_2/\text{CFB}$  catalysts.

Samples	BET surface area ( $\text{m}^2/\text{g}$ )	Pore Volume ( $\text{cm}^3/\text{g}$ )	Mean pore size (nm)
CFB	158.8	0.3500	4.41
$\text{Fe}_2\text{O}_3/\text{CFB}$	7.610	0.0386	10.16
$\text{CuO}/\text{CFB}$	7.337	0.0381	10.39
$\text{TiO}_2/\text{CFB}$	13.790	0.0532	7.70

tron vacancies states, so that it can facilitate the oxidation of styrene with  $\text{H}_2\text{O}_2$  [17]. It is also reported that the formation of the titanium peroxy complex plays a vital role in the higher catalytic activity of  $\text{TiO}_2/\text{CFB}$ . The peroxy complexes might undergo homolytic cleavage on O-OH to form  $\cdot\text{OH}$  radicals, which could further react with other  $\text{H}_2\text{O}_2$  to form  $\text{O}_2^{\bullet-}$  and  $\cdot\text{OOH}$  radicals. Thus,  $\text{TiO}_2/\text{CFB}$  is more reactive in the oxidation of styrene using  $\text{H}_2\text{O}_2$  [22]. By comparing  $\text{Fe}_2\text{O}_3/\text{CFB}$  and  $\text{CuO}/\text{CFB}$ , it is found that  $\text{Fe}_2\text{O}_3/\text{CFB}$  came before  $\text{CuO}/\text{CFB}$  because of  $\text{CuO}/\text{CFB}$  displays higher electronic configuration state and almost occupied electron vacancy state. The electronic configuration of  $\text{Cu}^{2+}$  is  $[\text{Ar}] 3d^9$ ; whereas  $\text{Fe}^{3+}$  is  $[\text{Ar}] 3d^5$ , which indicates that  $\text{Fe}^{3+}$  has more empty orbitals for substrate accommodation in conjunction of its half-filled orbital is more stable for catalyzing a reaction.

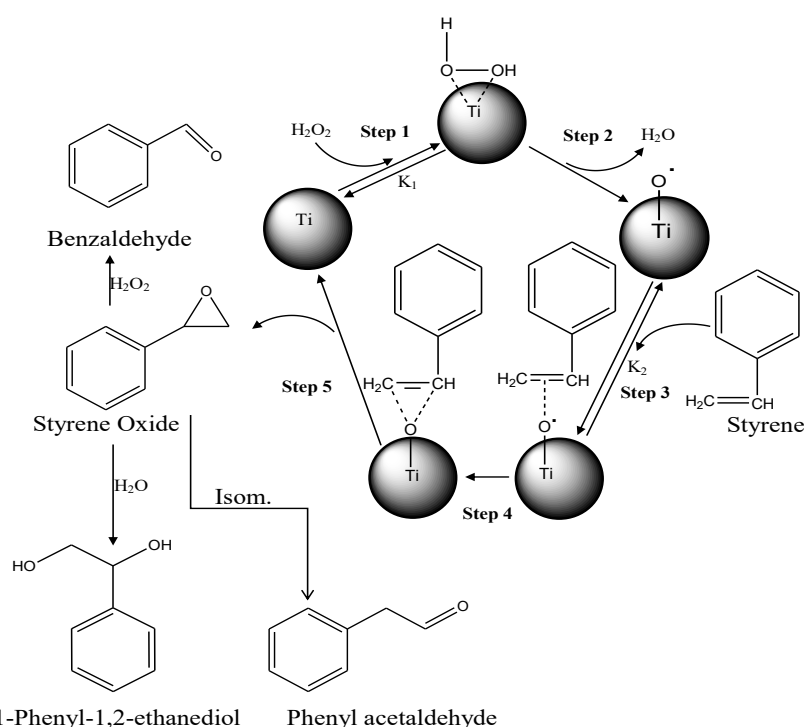
The surface area is one of the essential factors to be considered for the higher catalytic activity of  $\text{TiO}_2/\text{CFB}$ . It is clearly observed that the  $\text{TiO}_2/\text{CFB}$  catalyst has the highest surface area compared to  $\text{Fe}_2\text{O}_3/\text{CFB}$  and  $\text{CuO}/\text{CFB}$  catalysts. Nonetheless, the surface area of CFB reduced tremendously after the impregnation of  $\text{TiO}_2$ ,  $\text{CuO}$  and  $\text{Fe}_2\text{O}_3$  respectively. It is owing to the particles size of those three metal oxides are too large and almost cover the surface and pore volume of CFB, proven by the mean pore size shown in Table 2. Table 2 shows the mean pore sizes of  $\text{Fe}_2\text{O}_3/\text{CFB}$  is 10.16 nm,  $\text{CuO}/\text{CFB}$

is 10.39 nm and  $\text{TiO}_2/\text{CFB}$  is 7.70 nm, are larger than mean pore size of CFB. By considering  $\text{TiO}_2/\text{CFB}$  has the highest surface area compared to metal oxides/CFB, it can be summarized that the catalytic performance of  $\text{TiO}_2/\text{CFB}$  evidences the important function of the active site and surface area of the catalyst. From the histogram, it can be seen that the styrene conversion of  $\text{TiO}_2$  (3.16%) and CFB (0.41%) increase drastically to be ~12% and ~23% when  $\text{Fe}_2\text{O}_3/\text{CFB}$  and  $\text{TiO}_2/\text{CFB}$  catalysts were used.

Benzaldehyde, phenyl acetaldehyde, and styrene oxide were the main products of styrene oxidation using  $\text{H}_2\text{O}_2$  as an oxidant. It reveals that the products are selective to the formation of benzaldehyde. The benzaldehyde selectivity of blank (no catalyst), CFB,  $\text{TiO}_2$ ,  $\text{Fe}_2\text{O}_3/\text{CFB}$ ,  $\text{CuO}/\text{CFB}$ , and  $\text{TiO}_2/\text{CFB}$  catalysts was 25.2; 17.4; 88.3; 73.2; 72.4 and 90.1%, respectively.

### 3.3 Kinetic Model: the Power-Rate Law

A series kinetic experiment of styrene oxidation by  $\text{H}_2\text{O}_2$  was carried out at room temperature with acetonitrile as solvent. The reaction mechanism scheme of styrene with  $\text{H}_2\text{O}_2$ , to produce benzaldehyde as the main product, is illustrated in Figure 6. This catalytic conversion reaction involves five steps: (1) At pre-equilibrium step,  $\text{TiO}_2/\text{CFB}$  reacts with  $\text{H}_2\text{O}_2$  to generate titanium(IV) hydroperoxy species; (2)



**Figure 6.** Reaction scheme of the styrene oxidation with  $\text{H}_2\text{O}_2$  as oxidant [23,24].

Titanium(IV) hydroperoxy species are unstable, thus re-arranging themselves to form titanium(IV) oxo radicals by releasing water molecules as the by-product; (3) The highly active titanium(IV) oxo radicals collide with styrene at the second pre-equilibrium state to give  $\pi$ -bonded transient species; (4) Titanium(IV) oxo radicals transfer its oxygen to styrene by giving metalloepoxy intermediate species; (5) Titanium(IV) species in  $\text{TiO}_2/\text{CFB}$  regains its structure with the generation of styrene oxide. Since styrene oxide is an active intermediate, it can transform into several products, such as benzaldehyde (main product), 1-phenyl-1,2-ethanediol and phenyl acetaldehyde [23,24]. The proposed mechanism for the oxidation of styrene is consistent with the observation made in kinetic.

The kinetic model, such as: the power-rate law was used to best fit the results. The power-rate law can be represented as [25,26]:

$$r_i = -\frac{dC_i}{dt} = kK_1K_2 [\text{catalyst}][\text{Styrene}][H_2O_2]^{\frac{1}{2}} \quad (1)$$

$$r_i = -\frac{d[C_0 - x]}{dt} = kK_1K_2 [\text{catalyst}][\text{Styrene}][H_2O_2]^{\frac{1}{2}} \quad (2)$$

$$r_i = \frac{dx}{dt} = kK_1K_2 [\text{catalyst}][\text{Styrene}][H_2O_2]^{\frac{1}{2}} \quad (3)$$

where  $r_i$  is the reaction rate of the styrene oxidation ( $\text{mol.cm}^{-3}.\text{s}^{-1}$ );  $k$  is the reaction rate constant ( $\text{min}^{-1}$ );  $C_i$  is styrene concentration after oxidation time  $t$  ( $\text{mol.cm}^{-3}$ );  $[\text{catalyst}]$  is concentration of  $\text{TiO}_2/\text{CFB}$  catalyst and  $K_1$  and  $K_2$  are preequilibrium constants of the step in the Scheme. If the total catalyst concentration is expressed as  $[\text{catalyst}]_T$  and considering the steady state approach, which includes the concentration of all the intermediate catalyst species, the power-rate law can be given as:

$$r_i = \frac{kK_1K_2 [\text{catalyst}][\text{Styrene}][H_2O_2]^{\frac{1}{2}}}{1 + K_1[H_2O_2]^{\frac{1}{2}} + K_1K_2 [\text{Styrene}][H_2O_2]^{\frac{1}{2}}} \quad (4)$$

$$\frac{[\text{catalyst}]}{r_i} = \frac{1 + K_1[H_2O_2]^{\frac{1}{2}} + K_1K_2 [\text{Styrene}][H_2O_2]^{\frac{1}{2}}}{kK_1K_2 [\text{Styrene}][H_2O_2]^{\frac{1}{2}}} \quad (5)$$

$$\frac{[\text{catalyst}]}{r_i} = \frac{1}{[\text{Styrene}]} \left\{ \frac{1}{kK_1K_2 [H_2O_2]^{\frac{1}{2}}} + \frac{1}{kK_2} \right\} + \frac{1}{k} \quad (6)$$

The value of rate constant  $k$  was determined of the intercept from the plot of  $[\text{catalyst}]_T/r_i$  vs  $1/[\text{styrene}]$ . The kinetics data obtained from styrene oxidation with  $\text{H}_2\text{O}_2$  as oxidant onto  $\text{TiO}_2/\text{CFB}$  are recorded in Table 3. Base on the experiment results, the styrene oxidation onto  $\text{TiO}_2/\text{CFB}$  catalyst at room temperature obeys a first-order reaction model with the correlation coefficients  $R^2 \sim 0.9002$  and the value of rate constant  $k = 0.00081 \text{ min}^{-1}$ .

#### 4. Conclusions

The use of carbon-derived fish bones (CFB) as catalyst support has been demonstrated in the styrene oxidation with aqueous  $\text{H}_2\text{O}_2$  in this research. It is found that the combination of titania ( $\text{TiO}_2$ ) and carbon-derived fish bones gave the highest catalytic activity compared to  $\text{Fe}_2\text{O}_3/\text{CFB}$  and  $\text{CuO}/\text{CFB}$ . The conversion and selectivity of styrene and benzaldehyde over  $\text{TiO}_2$  was 3.16% and 88.3%; CFB is 0.41% and 17.4%;  $\text{Fe}_2\text{O}_3/\text{CFB}$  is 11.59% and 73.15%;  $\text{CuO}/\text{CFB}$  is 0.49% and 72.42%; and  $\text{TiO}_2/\text{CFB}$  is 22.99% and 90.1%. The highest catalytic activity of  $\text{TiO}_2/\text{CFB}$  was influenced by the electronic properties of  $\text{Ti}^{4+}$  and the high surface area of the catalyst. The kinetic of styrene oxidation by  $\text{H}_2\text{O}_2$  fitted the first order with the rate constant  $k = 8.1 \times 10^{-4} \text{ min}^{-1}$ .

#### Acknowledgements

The authors gratefully acknowledge research grant from Kemenristek/BRIN Year 2020 and Islamic development bank (IsDB) contract number: 303/UN17.11/PL/2020, Universitas Mulawarman, East Kalimantan Province, Indonesia.

**Table 3.** First order kinetics of styrene oxidation onto  $\text{TiO}_2/\text{CFB}$  catalysts.

Catalyst	Time (min)					First order	
	0	60	120	240	360	$R^2$	$k_1 (\text{min}^{-1})$
$\text{TiO}_2/\text{CFB}$	$x$	0	0.0159	0.0201	0.0386	0.9002	0.00081
	$C_i$	0.8944	0.8785	0.8743	0.8558	0.8479	
	$\frac{\partial x}{\partial t}$	0	$2.65 \times 10^{-4}$	$1.675 \times 10^{-4}$	$1.608 \times 10^{-4}$	$1.291 \times 10^{-4}$	

(condition: 5mmol styrene = 0.5806 mL; 5mmol  $\text{H}_2\text{O}_2$  = 0.5107 mL; Acetonitrile = 4.5 mL and catalyst = 50 mg)

## References

- [1] Ito, S., Kon, Y., Nakashima, T., Hong, D., Konno, H., Ino, D., Sato, K. (2019). Titania-Catalyzed  $H_2O_2$  Thermal Oxidation of Styrenes to Aldehydes. *Molecules*, 24(1), 1–9, doi: 10.3390/molecules24142520
- [2] Zhang, L.-X., Hua, Z.-L., Dong, X.-P., Li, L., Chen, H.-R., Shi, J.-L. (2007). Preparation of highly ordered Fe-SBA-15 by physical-vapor-infiltration and their application to liquid phase selective oxidation of styrene. *J. Mol. Catal. A Chem.*, 268, 155–162, doi: 10.1016/j.molcata.2006.12.027
- [3] Wang, H., Qian, W., Chen, J., Wu, Y., Xu, X., Wang, J., Kong, Y. (2014). Spherical V-MCM-48: the synthesis, characterization and catalytic performance in styrene oxidation. *RSC Advances*, 4, 50832–50839. doi: 10.1039/c4ra0833d
- [4] Yang, Y., Zhang, Y., Hao, S., Guan, J., Ding, H., Shang, F., Kan, Q. (2010). Heterogenization of functionalized Cu(II) and VO(IV) Schiff base complexes by direct immobilization onto amino-modified SBA-15: Styrene oxidation catalysts with enhanced reactivity. *Appl. Catal. A: General*, 381, 274–281, doi: 10.1016/j.apcata.2010.04.018
- [5] Li, B., Zhu, Y., Jin, X. (2015). Synthesis of cobalt-containing mesoporous catalysts using the ultrasonic-assisted “pH-adjusting” method: Importance of cobalt species in styrene oxidation. *J. Solid State Chem.*, 221, 230–239, doi: 10.1016/j.jssc.2014.10.008
- [6] Zhan, W., Guo, Y., Wang, Y., Guo, Y., Liu, X., Wang, Y., Lu, G. (2009). Study of Higher Selectivity to Styrene Oxide in the Epoxidation of Styrene with Hydrogen Peroxide over La-Doped MCM-48 Catalyst. *J. Phys. Chem. C*, 113(17), 7181–7185, doi:10.1021/jp8101095
- [7] Zou, H., Xiao, G., Chen, K., Peng, X. (2018). Noble metal free  $V_2O_5/g\text{-}C_3N_4$  composite for selective oxidation of olefins using hydrogen peroxide as oxidant. *Dalton Transactions*, 47, 13565–13572, doi: 10.1039/C8DT02765J
- [8] Zou, H., Hu, C., Chen, K., Xiao, G., Peng, X. (2018). Cobalt Vanadium Oxide Supported on Reduced Graphene Oxide for the Oxidation of Styrene Derivatives to Aldehydes with Hydrogen Peroxide as Oxidant. *Synlett*, 29, 2181–2184, doi: 10.1055/s-0037-1610630
- [9] Shi, F., Tse, M. K., Pohl, M.-M., Brückner, A., Zhang, S., Beller, M. (2007). Tuning Catalytic Activity between Homogeneous and Heterogeneous Catalysis: Improved Activity and Selectivity of Free Nano- $Fe_2O_3$  in Selective Oxidations. *Angew. Chem. Int. Ed.*, 46, 8866–8868, doi: 10.1002/anie.200703418
- [10] Xie, L., Wang, H., Lu, B., Zhao, J., Cai, Q. (2018). Highly selective oxidation of styrene to benzaldehyde over  $Fe_3O_4$  using  $H_2O_2$  aqueous solution as oxidant. *Reac. Kinet. Mech. Catal.*, 125, 743–756, doi: 10.1007/s11144-018-1429-6
- [11] Milovac, D., Weigand, I., Kovačić, M., Ivanković, M., Ivanković, H. (2018). Highly porous hydroxyapatite derived from cuttle fish bone as  $TiO_2$  catalyst support. *Proc. Appl. Ceram.*, 12(2), 136–142, doi: 10.2298/PAC1802136M
- [12] Puma, G.L., Bono, A., Krishnaiah, D., Collin, J.G. (2008). Preparation of titanium dioxide photocatalyst loaded onto activated carbon support using chemical vapor deposition: A review paper. *J. Hazard. Mater.*, 157, 209–219, doi: 10.1016/j.jhazmat.2008.01.040
- [13] Nurhadi, M., Chandren, S., Yuan, L.S., Ho, C.S., Mahlia, T.M.I., Nur, H. (2017). Titania-Loaded Coal Char as Catalyst in Oxidation of Styrene with Aqueous Hydrogen Peroxide. *Int. J. Chem. Reactor Eng.*, 15(1), 1–11, doi: 10.1515/ijcre-2016-0088
- [14] Nurhadi, M. (2017). Modification of Coal Char-loaded  $TiO_2$  by Sulfonation and Alkylation to Enhance Catalytic Activity in Styrene Oxidation with Hydrogen Peroxide as Oxidant. *Bull. Chem. React. Eng. Catal.*, 12(1), 55–61, doi: 10.9767/bcrec.12.1.501.55-61
- [15] Kusumawardani, R., Nurhadi, M., Wirhanuddin, Gunawan, R., Nur, H. (2019). Carbon-containing Hydroxyapatite Obtained from Fish Bone as Low-cost Mesoporous Material for Methylene Blue Adsorption. *Bull. Chem. React. Eng. Catal.*, 14(3), 660–671, doi: 10.9767/bcrec.14.3.5365.660-671
- [16] Nurhadi, M. (2017). utilization Low Rank Coal Bottom Ash as  $TiO_2$  Suport for Oxidation Catalyst of Styrene with Hydrogen Peroxide Aqueous. *Key Eng. Mater.*, 733, 12–16, doi: 10.4028/www.scientific.net/KEM.733.12
- [17] Gheisari, H., Karamian, E., Abdellahi, M. (2015). A novel hydroxyapatite –Hardystonite nanocomposite ceramic. *Ceram. Int.*, 41(41), 5967–5975, doi: 10.1016/j.ceramint.2015.01.033
- [18] Słośarczyk, A., Paszkiewicz, Z., Paluszkiwicz, C. (2005). FTIR and XRD evaluation of carbonated hydroxyapatite powders synthesized by wet methods. *J. Mol. Struct.*, 744–747, 657–661, doi: 10.1016/j.molstruc.2004.11.078
- [19] Zhang, L., Yuan, F., Zhang, X., Yang, L. (2011). Facile synthesis of flower like copper oxide and their application to hydrogen peroxide and nitrite sensing. *Chem. Central J.*, 5, 75, doi: 10.1186/1752-153X-5-75

- [20] Lousada, C.M., Yang, M., Nilsson, K., Jansson, M. (2013). Catalytic decomposition of hydrogen peroxide on transition metal and lanthanide oxides. *J. Mol. Catal. A Chem.*, 379, 178–184, doi: 10.1016/j.molcata.2013.08.017
- [21] Liou, R.-M., Chen, S.-H. (2009). CuO impregnated activated carbon for catalytic wet peroxide oxidation of phenol. *J. Hazard. Mater.*, 172, 498–506, doi: 10.1016/j.jhazmat.2009.07.012.
- [22] Lousada, C.U.M., Johansson, A.J., Brinck, T., Jonsson, M. (2012). Mechanism of H<sub>2</sub>O<sub>2</sub> Decomposition on Transition Metal Oxide Surfaces. *J. Physic. Chem. C*, 116, 9533–9543, doi: 10.1021/jp300255h
- [23] Lubis, S., Yuliati, L., Lee, S. L., Sumpono, I., Nur, H. (2012). Improvement of catalytic activity in styrene oxidation of carbon-coated titania by formation of porous carbon layer. *Chem. Eng. J.*, 209, 468–493, doi: 10.1016/j.cej.2012.08.041
- [24] Indira, V., Halligudi, S.B., Gopinathan, S., Gopinathan, C. (2001). Kinetics and Mechanism of Styrene Oxidation Using Transition Metal Substituted Dodecatungstophosphate. *React. Kinet. Catal. Lett.*, 73(1), 99–107, doi: 10.1023/A:1013985123468
- [25] Pei, J., Han, X., Lu, Y. (2015). Performance and kinetics of catalytic oxidation of formaldehyde over copper manganese oxide catalyst. *Build. Environ.*, 84, 134–141, doi: 10.1016/j.buildenv.2014.11.002
- [26] Tseng, T.K., Chu, H. (2001). The kinetics of catalytic incineration of styrene over a MnO<sub>x</sub>FeO catalyst. *Scienc. Total Environ.*, 275, 83–93, doi: 10.1016/S0048-9697(00)00856-1

Anak-anak Rumah yang dijadikan X Kinetic Study of Styrene Oxidation X (218) WhatsApp X +

ejournal2.undip.ac.id/index.php/bcrec/article/view/13133

# BCREC

# Bulletin of Chemical Reaction Engineering & Catalysis

e-ISSN: 1978-2993

An international Journal. Available online at: <http://ejournal2.undip.ac.id/index.php/bcrec>

# Home About People Submissions Issue Announcements Old Website Undip's Journals Search contents Register Login

Home > Archives > 2022 > Kusumawardani

DOI: <https://doi.org/10.9767/borec.0.0.13133.xxx-xxx17> Check for updates

## Kinetic Study of Styrene Oxidation over Titania Catalyst Supported on Sulfonated Fish bone-derived Carbon

Reta Kusumawardani<sup>1</sup>, Muhammad Nurhadi<sup>1</sup>, Teguh Wirawan<sup>2</sup>, Anton Prasetyo<sup>3</sup>, Nohila Nur Agusti<sup>3</sup>, Sri Yunit Lai<sup>4,5</sup>, Hadi Nur<sup>6,7</sup>

<sup>1</sup>Department of Chemical Education, Universitas Mulawarman, Kampus Gunung Kelua, Samarinda, 75119, East Kalimantan, Indonesia  
<sup>2</sup>Chemistry Department, Universitas Mulawarman, Kampus Gunung Kelua, Samarinda, 75119, East Kalimantan, Indonesia  
<sup>3</sup>Chemistry Department, Faculty Science and Technology, Universitas Islam Negeri Maulana Malik Ibrahim Malang, Jalur Gajayana 50 Malang, 65144, Indonesia

View all affiliations

Number of publications over time

20 10 0 1057 AM 1/29/2022

Anak-anak Rumah yang dijadikan X Kinetic Study of Styrene Oxidation X (218) WhatsApp X [162 belum dibaca] - nurhadi1% X +

mail.yahoo.com/d/folders/1/messages/21029?nt=1&lang=id-ID

AWAL MAIL BERITA KEUANGAN OLAHRAGA SELEB LIFESTYLE LAUNNYA... yahoo!mail Tambahkan Sekarang

Temukan pesan, dokumen, foto, atau orang

Tulis

Email Masuk 162 Belum Dibaca Berbintang Draft Tekrim v Lainnya Tam... Sembunyikan Foto Dokumen Langganan Promo Folder Sembunyikan + Folder Baru beasiswa K...

[BCREC] Final Decision of Your Manuscript (Accepted) [Ms ID: BCREC-2021-13133]

Prof. Dr. Istadi Istadi <borec@live.undip.ac.id>

Kepada: Prof. Dr. Muhammad Nurhadi  
Cc: Hadi Nur

Sen, 24 Jan jam 08:38

Journal Name: Bulletin of Chemical Reaction Engineering & Catalysis  
Article Title: Kinetic studies of styrene oxidation catalyzed by sulfonated titania carbon-derived fish bone  
Ms ID: BCREC-2021-13133

Dear Prof. Dr. Muhammad Nurhadi,

I am pleased to confirm that your manuscript submitted to Bulletin of Chemical Reaction Engineering & Catalysis entitled: "Kinetic studies of styrene oxidation catalyzed by sulfonated titania carbon-derived fish bone" has been accepted for publication. Your accepted manuscript will be pre-published soon in the Just Accepted Manuscript and Article In Press (URL): <https://ejournal2.undip.ac.id/index.php/borec/article/view/81>.

We will send you the galley PDF proof correction soon, as we will ask you for some correction of typesetting.

If you did not send the Copyright Transfer Agreement, please fill and signed originally/electronically the Copyright Transfer Agreement (downloadable at: <http://bit.ly/bcrec-cta-2020>) and then scan and send to the Editorial Office email ([borec@live.undip.ac.id](mailto:borec@live.undip.ac.id)).

IMPORTANT NOTE: A GRAPHICAL ABSTRACT of each article is mandatory for this journal. Please read detail guidelines here: <https://ejournal2.undip.ac.id/index.php/borec/pages/view/graphicalabstract>

This graphic should capture the reader's attention and, in conjunction with the manuscript title, should give the reader a quick visual impression of the essence of the manuscript without providing specific results.

Gunakan satu aplikasi untuk semua email dapatkan penyimpanan GRATIS 1000 GB di yahoo Mail baru



## Deskripsi

### **KATALIS SELEKTIF SENYAWA STYRENA DARI TULANG IKAN BELLIDA DAN METODE PEMBUATANNYA**

5

#### **Bidang Teknik Invensi**

Invensi ini berhubungan dengan metode pembuatan katalis 10 dari biomassa tulang ikan Bellida untuk mengoksidasi styrena menggunakan  $H_2O_2$  sebagai pengoksidasi dan metode pembuatannya. Lebih khusus invensi ini menggunakan biomassa tulang ikan Bellida yang dikarbonasi pada suhu  $500^{\circ}C$  selama 2 jam dan terbentuk arang yang berwarna hitam, kemudian diimpregnasi 15 titanium menggunakan prekursor prekursor titanium(IV) isopropoksida (500 mol), dan dikalsinasi pada  $350^{\circ}C$  selama 3 jam. Arang aktif tulang ikan Bellida ini dapat digunakan untuk mengoksidasi styrena dengan menggunakan  $H_2O_2$  sebagai oksidator pada suhu kamar.

20

#### **Latar Belakang Invensi**

Propinsi Kalimantan Timur yang mempunyai luas wilayah 25 kurang lebih  $211.440\text{ Km}^2$  terletak di daerah khatulistiwa antara  $11344'$  bujur timur dan  $11900'$  bujur barat dan  $4241 - 225$  lintang utara. Propinsi Kalimantan Timur memiliki garis pantai  $80.290\text{ Km}$  yang membentang sebelah timur menyusuri pantai laut Sulawesi dan selat Makasar. Propinsi Kalimantan Timur khususnya Samarinda 30 adalah terkenal sebagai daerah sentra industri makanan ringan amplang. Amplang adalah salah satu jajanan berupa kerupuk yang terbuat dari ikan dan memiliki rasa yang gurih.

Umumnya amplang berbentuk lonjong dan kecil sebesar jari tangan. Bahan baku utama untuk pembuatan amplang adalah daging 35 ikan, salah satunya ikan Bellida, sedangkan bagian ikan yang lainnya seperti kepala, tulang, sisik dan kulit ikan terbuang sebagai limbah. Limbah produksi amplang belum dimanfaatkan dan

hanya dibuang langsung di laut atau di tempat sampah. Perusahaan amplang banyak ditemui pada hampir seluruh Kabupaten dan Kota di propinsi Kalimantan Timur. Khususnya di Kota Samarinda didapatkan perusahaan amplang sebanyak ±60 perusahaan. Hasil 5 wawancara dengan salah satu pengusaha amplang di Samarinda mengatakan bahwa apabila dalam satu kali produksi mengolah 300 kg ikan dalam keadaan segar, dihasilkan limbah tulang ikan ±40 kg. Apabila dikalkulasikan secara matematis, jika ada 60 pengusaha amplang, maka limbah tulang ikan yang dihasilkan dalam 10 satu kali produksi sebanyak ±2,4 ton. Dalam sebulan seorang pengusaha amplang berproduksi sebanyak 5 kali, berarti dalam satu bulan dihasilkan limbah tulang ikan sebanyak 12 ton dan dibuang tanpa dimanfaatkan lagi. Hal ini akan berdampak bagi kesehatan dan lingkungan. Limbah tulang ikan tersebut lama-lama 15 akan menumpuk dan menimbulkan bau tak sedap sehingga dapat menimbulkan gangguan kesehatan dan gangguan sanitasi lingkungan.

Tulang secara alami terdiri dari 70% mineral anorganik, 20% bahan organik, dan 10% air. Bahan organik ini sebagian besar terbuat dari kolagen tipe I, sedangkan mineral anorganik terdiri 20 dari hidroksiapatit berkarbonat (White dan Best 2007; Toppe et al. 2007). Tulang ikan merupakan limbah perikanan dengan jumlah yang mencapai 15% dari berat tubuh ikan (Toppe et al. 2007). Tulang ikan mengandung 60-70% mineral, dengan komponen penyusun berupa 30% protein kolagen dan sebagian besar bioapatit, 25 termasuk hidroksiapatit, carbonated apatite atau dahlite (Szpak 2011). Toppe et al. (2007) menyatakan bahwa komponen senyawa anorganik penyusun tulang ikan didominasi senyawa kalsium (Ca) (135-233 g/kg) dan fosfor (P) (81-113 g/kg) serta sedikit kandungan Mg, Fe, Zn, dan Cu, dengan ratio Ca/P mendekati 1,67 30 (Joschek et al. 2000). Ukuran dan orde kristal bioapatit tulang ikan dan mamalia umumnya sama (Kim et al. 1995), yang merupakan substitusi dari karbonat, biasanya fosfat dan hidroksil (Pasteris et al. 2004). Noto (2011) menyampaikan bahwa ukuran kristal bioapatit sangat kecil (~50x25x5 nm), memiliki kandungan 35 hidroksil (OH<sup>-</sup>) rendah, dan juga kristalinitas yang rendah.

Hidroksiapatit dengan rumus kimia  $\text{Ca}_{10}(\text{PO}_4)_6(\text{OH})_2$  merupakan komponen anorganik utama pada tulang dan gigi (Kehoe, 2008).

Di lain pihak, Kalimantan Timur, khususnya Samarinda, juga terkenal dengan industri di Samarinda. Salah satu limbahnya adalah berupa zat warna sisa yang masih terikut dalam limbah cairnya. Salah satu senyawa adalah styrena. Untuk mengurangi kadar styrena ini sebelum lepas ke perairan, perlu dilakukan pengolahan terlebih dahulu agar tak berdampak negative bagi lingkungan sekitar. Salah satunya adalah dengan melakukan pengolahan air secara fisik, yaitu dengan mengurangi kadar styrena tersebut menggunakan katalis. Katalis yang dapat digunakan yaitu katalis dari tulang ikan Bellida.

Tujuan dari invensi ini adalah menyediakan katalis yang digunakan untuk mengoksidasi styrena dengan bantuan  $\text{H}_2\text{O}_2$  yang diembankan ke tulang ikan Bellida, yang diimpregnasi dengan nano titania sehingga dihasilkan katalis yang memiliki kapasitas mengoksidasi yang besar, stabil secara kimia, dapat digunakan secara berulang dan ramah lingkungan sehingga dapat diaplikasikan dalam pengolahan limbah cair yang mengandung styrena.

### **Ringkasan Invensi**

Bertitik-tolak dari hal-hal tersebut di atas, dan untuk memberikan hasil yang lebih baik dan lebih sempurna, maka tujuan dari invensi ini adalah untuk menghasilkan katalis yang berasal dari tulang ikan Bellida. Invensi ini diharapkan dapat mengoksidasi styrena. Oksidasi styrena ini diharapkan dapat mengurangi dampak buruk limbah zat warna terhadap lingkungan. Invensi ini terbuat dari bahan dasar tulang ikan Bellida yang telah diaktivasi dengan asam sulfat pekat, diimpregnasi dengan titanium klorida. Metode pembuatan katalis dari tulang ikan Bellida tersebut melalui proses aktivasi, impregnasi dan karbonasi.

## **Uraian Singkat Gambar**

Gambar 1 adalah gambar katalis tulang ikan Bellida;

### **5 Uraian Lengkap Invensi**

Invensi ini berhubungan dengan komposisi dan metode pembuatan katalis selektif senyawa styrena. Katalis ini berasal dari tulang ikan Bellida melalui proses aktivasi, impregnasi dan karbonasi. Katalis ini dibuat bertujuan untuk mengurangi kadar senyawa khususnya styrena dari limbah cair industri tekstil sebelum di lepas ke perairan, sehingga dapat mengurangi dampak negative dari limbah cair industry tekstil sebelum di lepas ke perairan. Pembuatan material katalis pada invensi ini secara 15 prinsip melalui tahapan preparasi, aktivasi, impregnasi dan karbonasi, kemudian diaplikasikan.

Katalis tulang ikan Bellida ini dibuat melalui 4 tahapan khusus, yaitu tahap pertama adalah preparasi. Tahap preparasi ini adalah proses pembersihan tulang ikan Bellida dari daging 20 dan kulit yang masih menempel. Pembersihan ini menggunakan air panas dengan suhu 100°C. Tulang yang sudah bersih kemudian dikeringkan menggunakan oven pada suhu 120°C. Tulang ini kemudian digerus dan diayak dengan menggunakan ayakan 100 mesh. Tahap kedua adalah tahap aktivasi. Tahap aktivasi ini dilakukan dengan merendam serbuk tulang ikan Bellida dengan larutan asam sulfat ( $H_2SO_4$ ) pekat dengan perbandingan 1:6 (1 gram katalis dalam 6 mL larutan asam sulfat pekat). Perendaman dilakukan selama 24 jam. Setelah diaktivasi, serbuk tulang ikan yang telah diaktivasi 25 dicuci dengan akuades hingga pH larutan netral atau mendekati netral. Tahap ketiga adalah tahap impregnasi. Tahap ini dilakukan dengan merendam katalis tulang ikan Bellida dengan larutan aluminium klorida heksahidrat hingga campuran menjadi kental. Tahap ketiga adalah tahap karbonasi. Tahap karbonasi ini dilakukan dengan cara memasukkan katalis kedalam furnace selama 30 35 2 jam pada suhu 500 °C.

Katalis tersebut dikarakterisasi dengan menggunakan spektrofotometer inframerah (IR) menunjukkan bahwa pada material tersebut terdapat gugus O-H stretching dari  $\text{H}_2\text{O}$ , C-O stretching vibrasi dari  $\text{CO}_3^{2-}$ , P-O stretching vibrasi dari  $\text{PO}_4^{3-}$ . Katalis 5 juga dikarakterisasi menggunakan SEM dan XRD. Hasil karakterisasi SEM terlihat bahwa katalis memiliki permukaan yang kasar dan berpori. Hasil karakterisasi menggunakan XRD, diperoleh bahwa terdapat puncak puncak pada  $2\theta = 25.9$ ,  $31.8$ ,  $46.8$ ,  $49.6$ ,  $53.4$  and  $64.4$  yang menunjukkan identifikasi adanya 10 struktur kristal hidroksiapatit. Katalis tersebut juga dikarakterisasi menggunakan BET, diperoleh bahwa katalis tersebut memiliki radius pori sebesar  $44,1 \text{ \AA}$ , volume pori  $0,350 \text{ cc/g}$ , luas permukaan  $158,8 \text{ m}^2/\text{g}$ , dan termasuk dalam kategori mesopori. Aplikasi katalis tersebut dilakukan dengan menggunakan 15 metode Batch. Pada penggunaan katalis sebanyak  $250 \text{ mg}$  terhadap  $25 \text{ mL}$  larutan senyawa styrena dengan variasi waktu kontak, suhu, pH, dan dosis. Berdasarkan hasil penelitian diperoleh kesimpulan bahwa katalis tulang ikan Bellida sangat efektif diunakan sebagai katalis untuk menyerap senyawa styrena pada waktu kontak 20  $30 \text{ menit}$ , pada suhu  $30 \text{ }^\circ\text{C}$  dan pada kondisi pH  $6,9$ .

**Klaim**

1. Suatu katalis untuk menyerap senyawa styrena dari larutannya dalam rangka mengurangi kadar zat warna dalam limbah cair sebelum dilepas ke perairan bebas, dimana menggunakan komponen bahan sebagai berikut:
  - a. Biomassa tulang ikan Bellida yang berfungsi sebagai material awal (raw material).
  - b. Asam sulfat ( $H_2SO_4$ ) sebagai zat pengaktivasi.
  - c. Aluminium klorida hexahidrat ( $AlCl_3 \cdot 6H_2O$ ) sebagai zat nano yang diimpregnasikan.
2. Suatu katalis untuk menyerap senyawa styrena seperti pada klaim 1, dimana katalis tersebut mengandung gugus-gugus O-H stretching, C-O stretching vibration, P-O stretching vibration.
3. Suatu katalis senyawa styrena seperti pada klaim 1 dan 2, dimana memiliki karakteristik sebagai berikut:
  - a. Berbentuk padatan kristal berukuran 100 mesh, berwarna hitam, memiliki permukaan yang kasar dan berpori.
  - b. Memiliki diameter pori  $44,1\text{\AA}$ , luas permukaan  $158,8 \text{ m}^2/\text{g}$ , volume pori  $0,350 \text{ cc/g}$  termasuk dalam kategori mesopori.
  - c. Memiliki puncak-puncak pada  $2\theta = 25.9, 31.8, 46.8, 49.6, 53.4$  and  $64.4$ .
  - d. Mampu menyerap senyawa styrena sebesar pada konsentrasi  $100 \text{ ppm}$  ( $0,25 \text{ gram katalis dalam } 25 \text{ mL styrena } 100 \text{ ppm}$ ).
4. Suatu metode pembuatan katalis selektif senyawa styrena seperti pada klaim-klaim sebelumnya, dimana memiliki tahapan-tahapan sebagai berikut:

- a. Tulang ikan Bellida dicuci dengan air panas 100 °C.
- b. Tulang ikan Bellida yang telah bersih dikeringkan dengan oven pada suhu 120 °C.
- c. Tulang ikan Bellida kering digerus kemudian diayak menggunakan ayakan 100 mesh.
- 5 d. Serbuk tulang ikan Bellida diaktivasi dengan direndam menggunakan asam sulfat pekat dengan perbandingan 1:6 (1 gram katalis : 6 mL asam sulfat pekat) selama 24 jam.
- 10 e. Serbuk tulang ikan Bellida yang telah diaktivasi kemudian dicuci dengan akuades terus menerus hingga pH mendekati netral.
- f. Serbuk tulang ikan Bellida yang telah diaktivasi kemudian diimpregnasi dengan cara direndam menggunakan  $\text{AlCl}_3 \cdot 6\text{H}_2\text{O}$ .
- 15 g. Serbuk tulang ikan Bellida yang telah diimpregnasi dikarbonasi menggunakan furnace pada suhu 500°C selama 2 jam.
- h. Serbuk Arang aktif tulang ikan Bellida yang dihasilkan diaplikasikan untuk menyerap senyawa styrena 100 ppm.
- 20

25

30

## DAFTAR RINCIAN SPI-PENELITIAN/PENGABDIAN/TAHUN JAMAK/TAHUN TUNGGAL DRPM BRIN

JUDUL : Modifikasi dan Karakterisasi Katalis Titania yang Didukung Karbon Mesopori dari Tulang Ikan untuk Oksidasi Stirena dengan Hidrogen Peroksida sebagai Oksidan

TAHUN 2021

SATUAN KERJA : UNIVERSITAS MULAWARMAN

SUB SATUAN KERJA : Lembaga Penelitian dan Pengabdian Kepada Masyarakat (LP2M) Unmul

No.	MAK	BUNTI		URIAH	PENERIMA	JUMLAH (Tersebar di Projek)	RINCIAN PAJAK						DOKUMEN PENDUNDUNG		
		Tgl Transaksi	Tgl Dibukukan				PPh	PPh 21	PPh 22	PPh 23	Tgl Bayar	ID Billing	HTPN		
<b>Belanja Bahan Habis Pakai (525112)</b>															
1	525112	29 March 2021	15 September 2021	001	Pembelian Bahan Kimia	CV Sari Utama	11.294.000	1.026.777	154.009		20 November 2021	025810916883140; 025810918475137	10F5E00NIF988GEM4; 9888C87LUGAD051C1	20 November 2021	75000-91/2021/816490; 75000-91/2021/816464
2	525112	1 April 2021	15 September 2021	002	Pembelian ATK	ATK Sinar Mulia	2.385.900	238.590	64.409		20 November 2021	25810919488057; 025810919940155	E800A67LU0A30VH1; 678844ECUUB89E01R	20 November 2021	75000-91/2021/816485; 75000-91/2021/816466
3	525112	5 April 2021	15 September 2021	009	Pembelian perlengkapan Penelitian	MIII Chemical & Reagen	6.254.000	625.400	168.858		20 November 2021	25810446487124; 02581091446980044	1796400NIF988GEM4; A4E7667LU0D050NEC	20 November 2021	00281958027; 002819580523
4	525112	5 April 2021	15 September 2021	004	Pembelian ATK	ATK Sinar Mulia	1.118.200								
5	525112	9 June 2021	15 September 2021	025	Pembelian APO	MIII Chemical & Reagen	4.782.500	478.250	129.128		20 November 2021	025810921590146; 025810922060020	39BC858ME5HNE3C2; 8888C00NF988GEM4	20 November 2021	75000-91/2021/816467; 75000-91/2021/816468
6	525112	7 June 2021	15 September 2021	036	Pembelian perlengkapan Penelitian	CV Sari Utama	8.051.000	731.909	109.786		20 November 2021	025810922639142; 025810923506099	954561P1EREXQUF9; 8182560GSTLEUFIDU	20 November 2021	75000-91/2021/816469; 75000-91/2021/816470
7	525112	5 July 2021	15 September 2021	007	Pembelian ATK	ATK Sinar Mulia	600.000								
8	525112	5 July 2021	15 September 2021	008	Akuades	MIII Chemical & Reagen	1.000.000								
9	525112	8 July 2021	15 September 2021	009	Pembelian perlengkapan Penelitian	MIII Chemical & Reagen	8.703.000	781.091	237.827		06 Desember 2021	0259133M02859057; 025913384004068	8447A67MOVH3EHGT; 925057436889GUJ74	06 Desember 2021	751194-04/2021/830587; 751194-04/2021/830588
10	525112	1 September 2021	15 September 2021	010	Akuades	MIII Chemical & Reagen	1.000.000								
11	525112	9 October 2021	9 October 2021	011	Akuades	MIII Chemical & Reagen	1.000.000								
12	525112	1 November 2021	1 November 2021	012	ATK PGD	Berkat Selasayang Grosir ATK	1.917.000								
13	525112	17 November 2021	17 November 2021	013	Pembelian Perlengkapan Penelitian	cv Lantang Abadi Nusantara	1.620.000								
14	525112	17 November 2021	17 November 2021	014	Pembelian Bahan Kimia	PT Permatex Deti Tunggal Abadi (NPWP C0.134.664.B-725.000)	49.390.000	4.490.000	673.500		20 November 2021	025810924761031; 025810926399677	C9D880T4V0RS0R0U7; 007E967LU0D050LD	20 November 2021	75000-91/2021/816471; 75000-91/2021/816472
<b>Belanja Bering dan Jasa Layanan (525118)</b>															
15	525118	25 March 2021	15 September 2021	015	Biaya Karakterisasi XRF-Helium 1 sampel	Lab Mineral dan Material Maju, UM (NPWP. 001734672620200)	175.000			3.500	20 November 2021	25810927688068	1PC97743DQ2SM27BC	20 November 2021	75000-91/2021/816473
16	525118	31 March 2021	15 September 2021	016	Biaya Publikasi Paper JCTM	FPIIP UNS	6.500.000								
17	525118	2 April 2021	15 September 2021	017	Paket Data Internet Kuota 25gb	Sasa Cell	1.280.000								
18	525118	5 April 2021	15 September 2021	018	Konsumsi Pengumpulan Data	Nasi Ketuli Emak Ruk	3.150.000		94.500		06 Desember 2021	25913370617146	1527588H54UJE998	06 Desember 2021	75119-04/2021/830589
19	525118	10 April 2021	15 September 2021	019	Sewa Furnace dan Sentrifuge	Cathelier Chemical	8.000.000	800.000		288.000	20 November 2021	025810941595139; 025810942119002	780D880GTLFFN1G3; A20501P1EREXPCDQ	20 November 2021	75000-91/2021/816474; 75000-91/2021/816475
20	525118	22 April 2021	15 September 2021	020	Pengiriman Sampel	TKI	41.000								
21	525118	3 May 2021	15 September 2021	021	Biaya Karakterisasi TEM 4 sampel	Lab TEM, UGM	4.000.000	400.000		144.000	20 November 2021	025810942943079; 02581094395042	9595880GTLGTL4P; A564E1P1ERER4H4	20 November 2021	75000-91/2021/816476; 75000-91/2021/816477
22	525118	4 May 2021	15 September 2021	022	Paket Data Internet Kuota 25gb	Sasa Cell	1.280.000								
23	525118	11 May 2021	15 September 2021	023	Biaya Karakterisasi SEM-EDX 11 sampel	Lab Mineral dan Material Maju, UM (NPWP. 001734672620200)	5.500.000	500.000		100.000	20 November 2021	025810944570106; 025810945180106	1P9885880GTC08CNQ; 71366885E0Q4EA	20 November 2021	75000-91/2021/816478; 75000-91/2021/816479
24	525118	11 May 2021	15 September 2021	024	Biaya Karakterisasi FTIR 11 sampel	Lab Mineral dan Material Maju, UM	2.200.000	200.000		40.000	20 November 2021	025810945887155; 025810946080822	730914EQLH625VCL; B028F1P1ERER50RS	20 November 2021	75000-91/2021/816480; 75000-91/2021/816481
25	525118	25 May 2021	15 September 2021	025	Seminar Internasional ICeSMEEE's	FPIIP UNS	500.000								
26	525118	31 May 2021	15 September 2021	026	Konsumsi Pengumpulan Data	Depur Pak Kumis	2.905.000		87.150		06 Desember 2021	35.913.300.958.042	5B1831PHQ99MUL2	06 Desember 2021	751194-04/2021/830590
27	525118	2 June 2021	15 September 2021	027	Paket Data Internet Kuota 25gb	Sasa Cell	1.280.000								
28	525118	14 June 2021	15 September 2021	028	Konsumsi Pengumpulan Data	Nasi Ketuli Emak Ruk	3.150.000		94.500		06 Desember 2021	23913340312183	68AA23M01LD0K8PLS	06 Desember 2021	751194-04/2021/830589
29	525118	23 June 2021	15 September 2021	029	Pengiriman Sampel	TKI	35.000								
30	525118	23 June 2021	15 September 2021	030	Biaya Karakterisasi XRD 11 sampel	Lab Mineral dan Material Maju, UM (NPWP. 001734672620200)	2.750.000	250.000		50.000	20 November 2021	025810946726008; 025810946847034	0CB257480GDT87620; 25A233DE51E5PTU0	20 November 2021	75000-91/2021/816482; 75000-91/2021/816483

REDMI NOTE 9  
AI QUAD CAMERA

N25118	28 June 2021	15 September 2021	081	Konsumsi Pengumpulan Data	Dapur Pak Kumis	2.905.000			87.150		05 Desember 2021	25913369787005	458554ERLAU7B4F		05 Desember 2021	75119A-04/2021/880592	
32	525119	3 July 2021	15 September 2021	082	Paket Data Internet Kuota 25gb	Sasa Cell	1.240.000										
33	525119	5 July 2021	15 September 2021	083	Konsumsi Pengumpulan Data	Nasi Kebuli Emak Ruk	3.150.000			94.500		05 Desember 2021	25913368613064	DBC2781DHS03NNH8		05 Desember 2021	75119A-04/2021/880591
34	525119	9 July 2021	15 September 2021	084	Bileks Karakterisasi GC 6 sampel	Lab UII (NPWP 0114054045432001)	300.000				6.000	20 November 2021	025810947851042	080685PHEBLJC062	20 November 2021	75000-91/2021/816484	
35	525119	9 July 2021	15 September 2021	085	Bileks Karakterisasi GC 13 sampel	Lab UII (NPWP 0114054045432001)	650.000				13.000	20 November 2021	025810947849019	06A20005TFLANKBJS	20 November 2021	75000-91/2021/816485	
36	525119	29 July 2021	15 September 2021	086	Bileks Karakterisasi BET 11 sampel	UNNES (NPWP. 001793511803000)	4.400.000	400.000			80.000	20 November 2021	025810948281158	F85512LVIUM1BL191	20 November 2021	75000-91/2021/816486	
37	525119	29 July 2021	15 September 2021	087	Bileks Karakterisasi GC 30 sampel	UNNES (NPWP. 001793511803000)	1.800.000				36.000	20 November 2021	025810948281111	1AE1POTRV05J340V	20 November 2021	75000-91/2021/816487	
38	525119	8 August 2021	15 September 2021	088	Paket Data Internet Kuota 25gb	Sasa Cell	1.260.000										
39	525119	8 August 2021	15 September 2021	089	Konsumsi Pengumpulan Data	Warung Sejati	2.765.000			82.950		05 Desember 2021	25913375959120	4AF4800N15MP3A20		05 Desember 2021	75119A-04/2021/880594
40	525119	1 September 2021	15 September 2021	090	Paket Data Internet Kuota 25gb	Sasa Cell	1.260.000										
41	525119	6 September 2021	15 September 2021	091	Konsumsi Pengumpulan Data	Warung Sejati	2.765.000			82.950		05 Desember 2021	25913375148022	8578E1PHQ8HMHYM		05 Desember 2021	75119A-04/2021/880595
42	525119	3 October 2021	8 October 2021	092	Paket Data Internet Kuota 25gb	Sasa Cell	1.260.000										
43	525119	11 October 2021	11 October 2021	093	Konsumsi Pengumpulan Data	Dapur Pak Kumis	2.905.000			87.150		05 Desember 2021	25913376816126	DB019588H5148EVU		05 Desember 2021	75119A-04/2021/880596
44	525119	8 November 2021	8 November 2021	094	Konsumsi PGD	Nasi Kebuli Emak Ruk	1.330.000										
45	525119	17 November 2021	17 November 2021	095	Pembuatan Laporan	Suwandi Copy	1.000.000				40.000	20 November 2021	025810949207064	2088C588ESOHOTQ	20 November 2021	75000-91/2021/816488	
		Jumlah				170.810.000	10.931.907	2.247.861	860.500								

Bendahara Pengeluaran Pembantu  
LP2M Unmul

Hj. Dini Mariani, SE., M.Si  
NIP. 19630817 200910 2 001

Ketua Tim Benefit  
Prof. Nurchi, Nurhadji, MM  
NIP. 19660415 199412 1 002

